



Universidad Autónoma del Estado de México

Centro Universitario UAEM Amecameca

Licenciatura en Medicina Veterinaria y Zootecnia

## TESIS

PARA OBTENER EL TÍTULO DE MÉDICA VETERINARIA

ZOOTECNISTA

DISEÑO DE PRIMERS PARA LA IDENTIFICACIÓN  
MOLECULAR DE ASTROVIRUS EN CONEJOS

Presenta

Gabriela López Aguado Almazán

Asesora

Dra. Linda Giuliana Bautista

Co Asesor

Dr. Camilo Romero Núñez

ÍNDICE	Página
Índice de figuras	V
Índice de tablas	VI
Dedicatorias	VII
Agradecimientos	VIII
Resumen	IX
1. Introducción	1
2. Antecedentes virus	2
2.1. Virus	2
2.1.1. Definición	2
2.1.2. Características	2
2.1.3. Estructura	3
2.1.4. Replicación y modo de infección	4
2.2 Clasificación	7
2.2.1. Virus RNA	7
2.2.2. Tipos de virus RNA	8
2.2.2.1. Virus RNA de polaridad positiva	8
2.2.2.1.1. Picornavirus	9
2.2.2.1.2. Flavivirus	10
2.2.2.1.3. Coronavirus	10
2.2.2.2. Virus RNA de polaridad negativa	12
2.2.2.2.1. Bunyavirus	12
2.2.2.2.2. Arenavirus	13
2.2.2.2.3. Orthomyxovirus	14
2.2.2.2.4. Paramixovirus	15
2.2.3. Virus DNA	15
2.2.4. Tipos de virus DNA	16
2.2.4.1. Virus ADN de cadena simple	16
2.2.4.1.1. Microvirus	16
2.2.4.1.2. Parvovirus	17
2.2.4.1.3. Circovirus	18
2.2.4.2. Virus ADN de doble cadena	19
2.2.4.2.1. Poliomavirus	19

2.2.4.2.2. Adenovirus	20
2.2.4.2.3. Herpesvirus	21
2.2.4.2.4. Poxvirus	22
2.3. Astrovirus	23
2.3.1. Características	23
2.3.2. Genoma	23
2.3.3. Virus ARN de cadena simple polaridad positiva	24
2.3.4. Diversidad	25
2.3.5. Replicación	25
2.3.6 Diagnóstico molecular de Astrovirus en conejos	27
2.4. Primers	27
2.4.1 Definición	27
2.4.2 Características	27
2.4.3 Diseño de primers	29
2.4.4 Primers degenerados	29
2.4.5 Bioinformática	30
2.4.6 Técnica de PCR	31
2.4.7 Tipos de PCR	32
3. Planteamiento del problema	36
4. Justificación	37
5. Hipótesis	38
6. Objetivos	39
6.1 General	39
6.2 Específicos	
7. Material y método	40
7.1 Obtención de secuencias	40
7.2 Identificación de regiones consenso	40
8. Resultados	41
9. Discusión	50
10. Conclusiones	51
11. Sugerencias	52

12. Bibliografía	53
13. Anexos	63
13.1 Secuencias de Astrovirus reportadas mundialmente por especie	63
13.2 Pruebas de especificidad de Astrovirus en comparación con el genoma de conejo ( <i>Oryctolagus cuniculus</i> ), virus RNA cadena sencilla, bacterias y protozoarios en BLAST	100

## ÍNDICE DE FIGURAS

	Página
Figura 1.Organización genómica de Astrovirus y representación esquemática de los 3 ORF's destacando el principal contenido de cada uno de ellos y los residuos aminoacídicos más relevantes	24
Figura 2. Procesos cílicos de la Reacción en Cadena de la polimerasa	32
Figura 3. Se muestran 180 núcletidos del genoma de Astrovirus	41
Figura 4. Posición de los primers diseñados y su sobrelapamiento	43

## ÍNDICE DE TABLAS

	Página
Tabla1. Número de acceso en Gen Bank de secuencias de genomas completos por especie de Astrovirus	40
Tabla 2. Prueba de especificidad de primers para Astrovirus en comparación con el genoma del conejo ( <i>Oryctolagus cuniculus</i> )	44
Tabla 3. Prueba de especificidad de primers para Astrovirus en comparación con virus RNA cadena sencilla	45
Tabla 4. Prueba de especificidad de primers para Astrovirus en comparación con bacterias	47
Tabla 5. Prueba de especificidad de primers para Astrovirus en comparación con protozoarios	48

## **DEDICATORIAS**

A mis papas Rosalba y Fernando, por su amor infinito, por haberme enseñado a tener la fortaleza necesaria para lograr lo que me proponga, por la educación que forjaron en mi guiándome con todo el amor incondicional que día a día me siguen brindando, por la confianza depositada en mí, por cobijarme siempre en sus vidas y apoyarme en cada sueño y decisión en mi vida. Los amo.

Al amor de mi vida Moises que siempre ha creído en mí, por su amor sincero y por ayudarme y compartir cada sendero de esta mi elección de vida y cada loquera. Gracias flakito por todo. Te amo.

A mi Abuelita Carmen †, aunque no estés físicamente, en mi corazón siempre me has cuidado y dado fuerza, aunque han pasado muchos años te cumplí mi angelito con alas.

A mis hermanos Alberto y Christopher porque son mi familia y los quiero, por sus enseñanzas compartidas.

A mi tía Geo y Olga porque siempre creyeron en que yo podía lograr este sueño.

Y a quienes se desvelaron cada noche de trabajo conmigo y me aman a pesar de todo: yuli, patricia, manchitas y para quienes no están pero me enseñaron tantas cosas: gordito hermozo, Leslie y mi sky preciosa.

## **AGRADECIMIENTOS**

A la Dra. Linda Giuliana Bautista Gómez por creer en mí, por su confianza, apoyo y conocimientos que me brinda, porque me prepara para la vida y porque me ha enseñado que lo que se quiere se puede y por el tiempo dedicado a esta tesis.

Gracias por todo Dra. Linda.

Al Dr. Camilo Romero Nuñez, por ser un pilar trascendental en mi formación y en mi vida, al enseñarme a ver más allá, al enseñarme a no conformarme y saber que siempre puedo dar más y ser mejor, por cambiar mi panorama e impulsarme académicamente para lograr cosas que no cualquiera podría y por sus críticas constructivas y tiempo dedicado a la elaboración de mi tesis.

Gracias por todo su apoyo incondicional Dr. Camilo.

A la Maestra Virginia García Rubio por compartir sus conocimientos para mejorar, su disponibilidad de tiempo y el trabajo en equipo que nos ha enseñado.

Gracias Mtra. Vicky.

Al Dr. Enrique Espinosa Ayala porque me enseño tantas cosas en el aula y en campo, otros valores como el compañerismo y el trabajo, además de seguirlo haciendo ahora con la revisión de mi tesis.

Gracias Dr. Enrique.

A la Mtra. Zamira Tapia por su disponibilidad y por sus críticas constructivas, por apoyarme en la revisión de mi tesis.

Gracias Mtra. Zamira

## RESUMEN

La economía de la cunicultura se ve afectada por diversos agentes patógenos que ocasionan a los animales enfermedades y muerte. Sin embargo son escasos los estudios que existen sobre esta especie. De las patologías con más incidencia son aquellas donde los conejos presentan signología entérica como los son: diarrea, distención abdominal e impactación cecal, ocupando Astrovirus el tercer lugar en las causas de gastroenteritis de origen vírico.

El diagnóstico molecular es una prueba que logra la identificación de Astrovirus, de manera específica ya que se basa en la extracción del material genético del virus sin que hibride en otro sitio o con cualquier otro agente patógeno.

Para lograr el diagnóstico exitoso por PCR, es necesario que el diseño de los primers o cebadores para amplificar las regiones diana sean sumamente específicos, considerándose lo más relevante de la técnica.

En el presente trabajo por medio de técnicas de Bioinformática se diseñaron siete pares de primers para la amplificación de la región ORF1a, ORF1b y ORF2 que comprenden el genoma completo de Astrovirus en conejos que mide 6678 nucleótidos, se comprobó su especificidad obteniendo un 100% al no hibridar con: 9,986 secuencias reportadas para el genoma de conejo, 1,295,078 secuencias para protozoarios, 439,488 secuencias para virus RNA cadena sencilla y 1,100,087 secuencias para bacterias, confrontando con un total de 2,844,639 de secuencias a nivel mundial.

## 1. INTRODUCCIÓN

Astrovirus son pequeños virus de tipo RNA que miden aproximadamente de 28 a 30 nanómetros de diámetro, infectan a conejos causando signología entérica y muerte por infecciones severas, lo cual genera una disminución de la producción y pérdidas económicas a los productores (Stenglein *et al.*, 2012).

Se han identificado en diferentes especies como lo son: humanos, bovinos, ovinos, porcinos, aves, mamíferos marinos, y murciélagos, su identificación se ha logrado a través de la amplificación de diferentes secciones del genoma mediante el uso de primers degenerados, a partir de secuencias genómicas reportadas para virus relacionados. En conejos no se han reportado primers que puedan utilizarse en el diagnóstico de Astrovirus, por lo que se requiere diseñar primers para poder identificar a estos virus en las unidades de producción cunícolas y poder establecer su importancia dentro de esta actividad pecuaria (Martella *et al.*, 2011).

Por lo expuesto con anterioridad en el presente trabajo se realizó el diseño de primers para la identificación de Astrovirus de conejos, a través de regiones conservadas de los genomas de Astrovirus reportados en otras especies, tomando en cuenta los tres marcos de lectura abiertos: ORF1a, 1b y 2. Los dos primeros marcos de lectura permiten codificar proteasas y ARN polimerasa dependiente, mientras que ORF 2 codifica proteínas de la cápside viral (Rivera *et al.*, 2009).

Con el desarrollo de primers para Astrovirus de conejos, se podrá identificar mediante la técnica de PCR, la presencia de este agente, a partir de la amplificación de fragmentos del genoma, obteniendo como resultado diagnósticos con un 99% de confiabilidad (Deepak *et al.*, 2007).

## **2. ANTECEDENTES**

### **2.1. VIRUS**

#### **2.1.1. DEFINICIÓN**

Un virus es definido como una entidad potencialmente patógena, que posee un solo tipo de ácido nucleico (Herrero, 2011), ya sea de tipo ADN o ARN asociados a proteínas, carecen de metabolismo y no pueden replicarse por sí mismos ya que necesitan la maquinaria de las células que infectan para su proliferación (Hunt, 2010).

Están agrupados en 60 familias de acuerdo a su estructura y organización genética (Pujol, 2006).

#### **2.1.2. CARACTERÍSTICAS**

Los virus tienen su origen en tres hipótesis: la primera es la hipótesis de escape o progresiva con la habilidad de los virus para entrar y salir de diferentes células, se conoce de esta forma porque existe salida de los componentes celulares mínimos necesarios para conformar un sistema autosuficiente y capaz de replicarse, la segunda es la de reducción o regresiva donde el virus deriva directamente de organismos, mediante una pérdida progresiva de funciones celulares y la tercera hipótesis menciona que los virus fueron primero que la célula; dado a esto surgieron diversas características que presentan los virus en la actualidad (Claverie, 2006).

Los virus son distinguidos por sus características biológicas: forma infectiva, signología que ocasionan y la forma en que se introducen a sus huéspedes (Gibbs, 2013), son más pequeños que las células procariontes o eucariontes, tienen estructura simple y estática, no tienen metabolismo propio, algunos infectan células procariontes denominados virus bacteriófagos y otros células eucariontes.

Respecto a su mecanismo infectivo algunos virus destruyen a las células y otros permanecen latentes en su interior, sus genomas codifican información mínima para asegurar la replicación de su genoma y empaquetamiento para la producción de proteínas virales y subvertir funciones celulares que permitan la producción de viriones (Carter *et al.*, 2005). Otros virus tienen genomas de ADN o ARN pero carecen de ribosomas y otros factores para la traducción de proteínas por lo tanto dependen de la célula hospedera para la producción de viriones (Zimmer, 2006).

### **2.1.3. ESTRUCTURA**

Están compuestos por un ácido nucleico ya sea de tipo DNA o RNA que es donde el virus contiene la información específica y el potencial operacional para modificar la maquinaria de la célula infectada y dirigir la producción específica de los componentes de las nuevas partículas virales (Zimmer, 2006).

Algunos virus contienen una membrana externa llamada envoltura, esta membrana por lo regular es parte de la membrana plasmática, aunque también puede ser parte del aparato de Golgi, retículo endoplasmático o de la membrana celular dependiendo del virus (Carter *et al.*, 2005).

La cápside es la encargada de proteger el genoma viral durante su transferencia de célula a célula y puede estar hecha de múltiples copias desde una sola proteína o en asociación de varias proteínas diferentes; puede tener varias formas geométricas: icosaédrica que existe de 2 tipos: desnudo como Picornavirus o envuelto como Herpesvirus, helicoidal desnudo o envuelto como virus rábico y complejos que tienen una mezcla de arreglos como el tener colas proteicas que requieren para su anclaje (Zimmer, 2006).

La nucleocápside es un ácido nucleico mas la cápside, se encuentra compuesta por proteínas estructurales que son las encargadas del empaquetamiento del ácido nucleico del genoma viral y las proteínas no estructurales que son enzimas asociadas al proceso de transcripción del genoma , por ejemplo la transcriptasa reversa de los retrovirus realiza copias de ADN a partir de un molde de ARN,

replicación y proceso de proteínas, así como lípidos que en los virus se derivan de las membranas celulares de la célula hospedera, estos son en su mayoría fosfolípidos en un 50 y 60% , colesterol y carbohidratos que están presentes como los residuos de oligosacáridos de las glicoproteínas, glicolípidos y mucopolisacáridos. La composición de los carbohidratos corresponde a aquella de la célula hospedera, los carbohidratos virales se encuentran principalmente en la envoltura. Algunos de los virus más grandes y complejos contienen glicoproteínas internas o proteínas glicosiladas en la cápside (Carter *et al.*, 2005).

#### **2.1.4. REPLICACIÓN Y MODO DE INFECCIÓN**

La interacción entre los virus y sus células hospederas está íntimamente ligada al ciclo de replicación viral. La interacción del virus con los componentes y las estructuras celulares durante el proceso de replicación influye en como el virus causa la enfermedad. La mayoría de las infecciones no causan patología celular o alteración morfológica aparente, sin embargo la replicación puede causar citopatología como: redondeamiento celular, desprendimiento, transformación maligna o lisis celular (Hunt, 2010).

La persistencia viral requiere de dos estrategias fundamentales: la primera es única de la replicación viral al no eliminar a su hospedero, el patógeno causa poco o ningún daño a la célula y la segunda el virus necesita una respuesta inmune débil de parte del individuo. Por otro lado los virus pueden alterar o interferir con el procesamiento de péptidos virales ante las células presentadoras de antígenos, evitando así la expresión del complejo mayor de histocompatibilidad, que es necesario para la activación de células T (Oldstone, 2009).

Muerte celular: a lo largo del proceso de coevolución patógeno-hospedero los virus han desarrollado una serie de estrategias diferentes para superar las defensas bioquímicas e inmunológicas del huésped, por lo tanto los virus han adquirido la capacidad de evitar la apoptosis de la célula huésped, controlar las respuestas inflamatorias y evadir reacciones inmunes. La eliminación de las células infectadas a través de la muerte celular programada es uno de los

mecanismos de defensa más ancestrales contra la infección, la desactivación de la apoptosis de la célula huésped podría representar un paso casi obligado en el ciclo viral. Por el contrario, los virus pueden tomar ventaja de estimular la apoptosis, ya sea para eliminar las células no infectadas del sistema inmunológico o para inducir la ruptura de las células infectadas, lo que favorece la difusión viral. Varios polipéptidos virales son homólogos de las proteínas reguladoras de la apoptosis derivados del huésped, tales como miembros de la familia Bcl-2 (Galluzzi *et al.*, 2008).

La muerte celular durante la replicación viral puede ser causada por diversos factores. El factor más probable es la inhibición de la síntesis celular basal de biomoléculas tales como proteínas. Durante el ciclo de replicación, el virus induce a la maquinaria celular a fabricar principalmente productos virales, más que aquellos que la célula fabricaría normalmente. Como resultado de esto, la célula sintetiza predominantemente productos virales y los productos celulares necesarios para la supervivencia de la célula, que no están presentes o lo están pero en cantidades demasiado bajas como para mantener su viabilidad. Además de la carencia de productos celulares esenciales, este evento resulta en la acumulación excesiva de productos virales (ARN, ADN, proteínas), que pueden ser tóxicos para las células. En la fase de liberación del ciclo de replicación de algunos virus se estimula la apoptosis de la célula hospedera. En otras circunstancias la inhibición de la síntesis de macromoléculas celulares causa daños a las membranas de los lisosomas y por consecuencia la liberación de enzimas hidrolíticas, provocando la muerte celular (Carter *et al.*, 2005).

La apoptosis puede ser desencadenada por dos cascadas de señalización: la vía extrínseca e intrínseca o mitocondrial. La vía extrínseca se inicia mediante la oligomerización inducida por el ligando de los receptores específicos de la superficie celular, tales como Fas/CD95 y el receptor del factor de necrosis tumoral (TNFR), induce el ensamblaje intracelular para activar la muerte del complejo de señalización (DISC). En cambio la vía intrínseca se controla por las mitocondrias, que toman e integran señales pro y antiapoptóticas entrantes de

otros organelos, así como desde el microambiente extracelular. Los estímulos pro-apoptóticos son recibidos del: ADN, retículo endoplasmático, stress lisosomal, la sobrecarga de oxígeno y calcio, son capaces de activar la vía intrínseca de apoptosis al favorecer la permeabilización de la membrana mitocondrial. En algunas células, la apoptosis mitocondrial puede sobrevenir la activación de receptores de muerte, debido a la actividad de promotores de la membrana permeable de la mitocondria (MMP) como de BH3 que es una proteína que promueve la actividad proteolítica de la caspasa 8 (Galluzi *et al.*, 2008).

Los efectos citopáticos son todos aquellos cambios morfológicos en las células provocados por la infección viral. Las células infectadas algunas veces tienen alterada su membrana celular. La membrana de la célula infectada es capaz de fusionarse con su célula vecina, esta alteración es el resultado de la inserción, durante el ciclo de replicación, de proteínas virales. El resultado de la fusión es la generación de una célula multinucleada o sincitios. La membrana celular alterada también lo está en lo que se refiere a su permeabilidad, permitiendo la entrada de varios iones, toxinas, antibióticos. Estas células multinucleadas son grandes, por lo que algunas veces son llamadas células multinucleadas gigantes (Orraca *et al.*, 2011).

El proceso de transformación maligna durante la infección viral, da como resultado células hospederas que se caracterizan por tener alteraciones en su morfología, control de crecimiento, propiedades celulares y bioquímicas. La transformación maligna y la neoplasia resultante puede ocurrir cuando el genoma viral se incorpora en el genoma del hospedero o cuando los productos virales son por sí mismo oncogénicos. Los virus que causan transformación maligna se conocen como virus tumorales (Carter *et al.*, 2005).

## **2.2. CLASIFICACIÓN**

El genoma viral está compuesto por ácido desoxirribonucleico (ADN) o ácido ribonucleico (ARN), nunca de ambos simultáneamente. El ADN puede ser de una sola cadena, por sus siglas en inglés (SS), doble cadena (DS) o parcialmente de doble cadena como Hepadnavirus. El genoma de ADN puede tener sus extremos covalentemente ligados el uno al otro el cual se le llama circular o pueden no estar unidos en sus extremos al cual se le denomina lineal. Todos los genomas virales de ARN son lineales, la mayoría de estos son de cadena sencilla y otros pocos de cadena doble. (Carter *et al.*, 2005).

Los virus con genomas de ARN de polaridad negativa de cadena simple pueden ser segmentados o no segmentados, siendo su principal característica el empaquetamiento de la replicasa transcriptasa específica del virus en las nucleocápsides víricas, mientras que en los virus ARN de polaridad positiva de simple cadena con intermediario ADN al cual pertenecen los Retrovirus su genoma construye un molde para la transcripción inversa de ADN; estos son los únicos virus con ARN de polaridad positiva cuyo genoma no funciona como ARN mensajero tras penetrar la célula hospedera (Cann, 2005).

### **2.2.1 VIRUS ARN**

Hoy en día la mayoría de los virus que infectan a animales y plantas son virus de genoma ARN, existen diversos tipos: de cadena doble, sencilla ya sea de polaridad positiva o negativa. Los virus de ARN tienen genomas pequeños que rara vez exceden los 30 Kb de tamaño y gran parte se utiliza para codificar las proteínas implicadas en la replicación del ARN viral. La síntesis del ARN viral es catalizada por ARN polimerasa que es dependiente del ARN codificado por el virus (Tao *et al.*, 2010).

Su genoma codifica proteínas virales, secuencias y estructuras reguladoras. En algunos virus, las regiones distantes del genoma de ARN pueden interactuar entre sí a través de pares de bases, lo que sugiere que algunos genomas puedan adoptar configuraciones bien definidas (Wu *et al.*, 2013).

## 2.2.2 TIPOS DE VIRUS ARN

### 2.2.2.1 VIRUS ARN DE POLARIDAD POSITIVA

Los virus ARN de polaridad positiva son un grupo muy exitoso de organismos patógenos que infectan a partir de algas unicelulares, a pesar de la adaptación a diversos huéspedes los procesos básicos de expresión y replicación del genoma son altamente conservados entre estos virus; una de las características que comparten es la asociación de la maquinaria de replicación del ARN con la membranas celulares. Se ha propuesto que el montaje de complejos de replicación en las membranas puede facilitar la infección de diversas maneras: una de ellas es aumentando la concentración de proteínas virales las cuales proporcionan andamiaje estructural para el montaje de proteínas de replicación y ocultando intermediarios de la replicación viral ARN de doble cadena, a partir de los mecanismos de inmunidad innata celular (Nchoutmboube *et al.*, 2013).

Todos los virus ARN de cadena positiva replican sus genomas en asociación con reordenamientos de membranas tales como vesículas intracelulares de acción simple o de doble membrana. Sin embargo, los sitios exactos de la síntesis de ARN y las relaciones entre membranas no están bien definidas (Kopek *et al.*, 2007).

Para algunos virus ARN de polaridad positiva, la replicación requiere de enzimas virales como helicasa, RNA polimerasa y proteínas no enzimáticas que participan en el ensamblaje del complejo de replicación viral. Proteínas de la célula huésped a menudo desempeñan un papel esencial en la replicación de estos virus (Tao *et al.*, 2010).

## **2.2.2.1.1 PICORNAVIRUS**

Picornavirus pertenece a la familia Picornaviridae, se caracteriza por tener cápside desnuda que rodea al núcleo, consta de una cadena sencilla, es de sentido positivo, su genoma es de RNA y codifican una única poliproteína. El Comité Internacional de Taxonomía para virus, aprobó la división de este virus en 17 géneros: Aftovirus, Aquamavirus, Avihepatovirus, Cardiovirus, Cosavirus, Dicivirus, Enterovirus, Erbovirus, Hepatovirus, Kobuvirus, Megrivirus, Parechovirus, Salivirus, Sapelovirus, Senecavirus, Teschovirus y Tremovirus. El genoma de los Picornavirus codifica un polipéptido VPg unido covalentemente al extremo 5 prima final del ARN viral. Una región 5 prima no traducida (UTR) precede a un largo marco de lectura abierto que codifica una poliproteína, mientras que una región corta 3 prima no traducida sigue el marco de lectura abierto. El genoma termina con una cola poli-A (Yu *et al.*, 2013).

Kobuvirus es un género de la familia Picornavirus, se conocen 3 tipos: Aichivirus, Kobovirus bovino y Kobovirus porcino, los 3 han sido descubiertos en muestras de heces y comparten la misma organización genómica; el tamaño de su genoma va desde 8210 a 8374 nt, además de tener una proteína VP0 en la cápside y tres estructuras en forma de tallo que son necesarias para su replicación y encapsidación (Greninger *et al.*, 2009).

Enterovirus tiene un sentido positivo lineal es de ARN de cadena simple, su genoma tiene aproximadamente 7,400 nucleótidos con un marco de lectura abierto que codifica 4 proteínas en la cápside (VP1-4). VP4 está localizado en la cápside viral y se encuentra conectado directamente con el genoma, las otras tres proteínas (VP1-3) que se exponen fuera de la cápside y en consecuencia, epítopos reactivos pueden residir en estas proteínas (Gao *et al.*, 2012).

### **2.2.2.1.2 FLAVIVIRUS**

Los Flavivirus son de forma esférica de 40-60 nanómetros constituido por una cápside icosaédrica, rodeado de una membrana lipoproteíca proveniente de la membrana celular, posee un solo marco abierto de lectura y en cada uno de sus extremos presenta regiones sin traducir (Vargas *et al.*, 2009), es de ARN de cadena positiva y produce en su subgenoma ARN no codificante que es derivado de la región no codificante 3 prima (gARN). El subgenoma de Flavivirus (sfRNA) es producto de una degradación incompleta de gRNA y está involucrado en la replicación viral, citotoxicidad y la patogenicidad viral que juega un rol en la modulación de respuestas antivirales en los hospederos, mediadas por vías ARN (Morais *et al.*, 2013). Su genoma viral codifica una gran poliproteína compuesta de tres proteínas estructurales, una en la cápside, otra en la envoltura y en membrana y siete proteínas no estructurales NS1, NS2A, NS2B, NS3, NS4A, NS4B y NS5 (Patel *et al.*, 2013).

El género Flavivirus pertenece a la familia Flaviviridae, consiste en más de 70 especies de virus , contiene agentes patógenos altamente infectantes como: virus de la fiebre amarilla, virus del Nilo occidental, virus de la encefalitis japonesa, virus de la encefalitis transmitida por garrapatas y virus de dengue. El análisis filogenético clasifica en 3 grupos epidemiológicos: mosquitos, garrapatas y vectores desconocidos (Patel *et al.*, 2013). Aquellos virus que son específicos para insectos conocidos no infectan a los vertebrados, este grupo final incluye agentes de fusión celular (CFAV) en Virus de río Kamiti y Culex flavivirus, un virus específico de insecto que se replica en la línea celular C6/36 pero no en otras líneas celulares de mamíferos (Huanyu *et al.*, 2012).

### **2.2.2.1.3 CORONAVIRUS**

Los Coronavirus pertenecen a la familia Coronaviridae, son virus de ARN de cadena positiva, el grupo de coronavirus se estableció inicialmente en las bases por falta de relación antigenica y la secuencia de nucleótidos que tiene siendo así como surgieron (Montassier, 2010), infectan a los vertebrados y se asocian

principalmente con enfermedades respiratorias y entéricas, han sido reconocidos como patógenos importantes en el ganado y animales de compañía, en humanos son la causa más común de infecciones en vías respiratorias (Sawicki *et al.*, 2005).

Los Coronavirus se clasifican en tres géneros: alfa, beta y épsilon. La replicación de Coronavirus se produce en el citoplasma, lo que lleva a las especies de doble cadena de RNA a desencadenar la respuesta antiviral en el hospedero. Para superar estas defensas los coronavirus han desarrollado diversas estrategias; un mecanismo en general que tienen es la inducción de estructuras en células infectadas que pueden ocultar a los ARN virales de los sensores celulares, algunos otros bajan la regulación de la expresión genética en el hospedero. Se ha propuesto que el género beta no estructura proteínas, solo tiene una que es promotora de la degradación del ARN mensajero con el fin de suprimir la respuesta inmune innata del hospedero. El síndrome respiratorio agudo severo (NSP1) también ha estado involucrado en la inhibición de la actividad de transducción de la subunidad 40 S ribosomal. Por otra parte varios coronavirus pueden impedir la transducción de cierre debido a la respuesta antiviral, usando componentes virales para modular los factores celulares (Cruz *et al.*, 2011).

El genoma RNA codifica proteínas estructurales de los virus, no estructurando proteínas en síntesis envueltas en ARN viral, las proteínas no son esenciales para su replicación en cultivo celular pero confiere una ventaja selectiva *in vivo*, estas son denominadas proteínas accesorias. En la MHV-A59 de las células infectadas la expresión genómica de replicación proteica es mediada por la traducción del genoma ARN y la expresión genómica de la proteína estructural, así mismo por la traducción de RNA mensajeros subgenómicos coterminales en tres prima. Los ARN mensajeros subgénomicos se producen por un mecanismo único que implica la transcripción discontinua durante la síntesis de cadena negativa de ARN (Sawicki *et al.*, 2005).

## **2.2.2.2 VIRUS ARN DE POLARIDAD NEGATIVA**

Los virus ARN de polaridad negativa tienen el genoma cubierto de una proteína de forma helicoidal conocida como: Complejo Ribonucleoproteico (RNP) que funciona como una plantilla única para la replicación viral y la transcripción. El ARN viral recién sintetizado y la replicación intermedia se empaquetan como RNA polimerasa y se estabilizan en forma de cadena simple inmediatamente después de su síntesis (Tao *et al.*, 2010).

### **2.2.2.2.1 BUNYAVIRUS**

La familia Bunyaviridae posee una morfología esférica u oval, con una envoltura lipídica y una cápside helicoidal con un tamaño promedio de 90-100 nanómetros. Contiene un genoma de ARN monocatenario trisegmentado de sentido negativo, que codifica una ARN polimerasa dependiente de ARN, una proteína de la nucleocápside y dos glicoproteínas en la envoltura (G1 y G2) (Mattar *et al.*, 2007).

Los Bunyavirius se encuentran divididos en 5 géneros, el género Orthobunyavirus incluye aproximadamente 60 virus, que generan patologías en los seres humanos. La vigilancia virológica depende en detectar a los virus en poblaciones de artrópodos en la naturaleza (Yadav *et al.*, 2008).

Los Hantavirus son miembros de la familia Bunyaviridae, son de cadena sencilla trisegmentados, cada uno de los segmentos de su genoma se denominan: grandes, medianos y pequeños, codifican proteínas de la nucleocápside, glicoproteínas y proteína L (que es una ARN polimerasa). Hantavirus no tiene matriz de proteínas, pero la proteína N se ha propuesto para desempeñar un papel clave en el ensamblaje del virus. La proteína N es expresada en el citoplasma viral de las glicoproteínas y se contraduce en el retículo endoplasmático, una vez separados Gn y Gc se someten a glicosilación, plegado y heterodimerización en el complejo de Golgi, donde se conservan y se acumulan, para que el montaje se produzca la proteína N, así como Gn y Gc deben moverse a la misma ubicación intracelular (Li *et al.*, 2010).

## **2.2.2.2 ARENAVIRUS**

Los Arenavirus son virus envueltos de cadena sencilla de ARN con un genoma bisegmentado negativo, cada segmento de ARN es denominado: grande y corto, contiene dos marcos de lectura abiertos en orientaciones opuestas entre sí y utiliza una codificación estratégica directa para dirigir la síntesis de dos polipéptidos. Entre los dos marcos de lectura abiertos de cada segmento existe una región intergénica no codificante (IGR), compuesta de una secuencia programada para formar una horquilla estable (Rodas & Salvato *et al.*, 2006).

Los dos genomas de ARN están encapsulados por la NP, que es la proteína más abundante en los viriones y células infectadas actuando como base para dos procesos fundamentales diferentes: la replicación de ARN y la transcripción. Durante la replicación del ARN la proteína L se une al extremo tres prima y los lee de extremo a extremo para dirigir la síntesis de encapsidación de antigenómas. Durante la transcripción la RdRp detiene la síntesis de ARN y lo pausa en un sitio cerca de la región intergénica no codificante, las moléculas de ARN mensajero recién sintetizados tienen una poliadenilación en el extremo tres prima con una secuencia heterogénea mapeado dentro de la horquilla prevista de IGR, además la secuencia no dirigida se ha identificado en el extremo 5 prima del ARN mensajero subgenómico. Estas secuencias son de longitud variable y terminan con una estructura 5', lo que sugiere la presencia de un mecanismo de cap snatching de Arenavirus. La proteína L es un elemento esencial en la replicación del genoma y la transcripción, es la proteína viral más grande compuesta de aproximadamente 2200 aminoácidos, además analiza la secuencia utilizando proteínas homologas (Morin *et al.*, 2010).

### **2.2.2.2.3 ORTHOMYXOVIRUS**

Los Orthomyxovirus pertenecen a la familia de virus ARN que incluyen varios tipos de virus de influenza, su genoma consiste en múltiples segmentos en sentido negativo y solo tiene una cadena de ARN, es empaquetado en forma de barra y a su vez va realizando complejos de ribonucleoproteínas (RNP) de doble hélice, los RNP interactúan para garantizar el ensamblaje específico del genoma; lo primero que hace es mostrar a la nucleoproteína para formar la proteína que será como la columna vertebral de los complejos de ribonucleoproteínas, la cual va a tener una estructura bilobulada (Zheng *et al.*, 2013).

Un integrante de la familia Orthomixoviridae es Isavirus, mide de 90-140 nanómetros y contiene un genoma de 8 segmentos de cadena sencilla de ARN de polaridad negativa, al igual que otros Orthomyxovirus como el virus de la influenza A contiene dos marcos de lectura abierto limitados por los extremos 5 prima – 3 prima en regiones no codificantes, en virus de influenza los primeros doce nucleótidos están en 3 prima y termina con doce nucleótidos en 5 prima en la región no codificante; en el ARN viral cada uno de los segmentos quedan conservados (Kulshreshtha *et al.*, 2010).

De los miembros de la familia Orthomixoviridae es conocida su fase de replicación nuclear. En virus de la influenza A la enucleación de las células no permite su replicación, por inferencia de los eritrocitos maduros en los mamíferos. En caso de las aves (pavos y pollos) la hemoaglutinación de los eritrocitos permite al virus de influenza aviar tipo A llevar a cabo la síntesis de la proteína viral y causar una nueva infección viral (Workhene *et al.*, 2008).

#### **2.2.2.2.4 PARAMIXOVIRUS**

Los miembros de la familia Paramyxoviridae son virus con envoltura no segmentados de polaridad negativa de 15 a 16 kb. Típicamente 6 genes se organizan en un orden lineal (3'-NP-P/C/V-M-F-HN-L-5') separados por secuencias repetidas; una señal de poliadenilación al final de cada gen, una secuencia intergénica (GAA) y una señal de inicio de la traducción al principio del gen siguiente (Cann, 2005).

Están compuestos por varias subfamilias entre ellas la familia Pneumovirinae y Paramyxovirinae. Todos los Paramixovirus entran a la célula y se difunden entre ellas, promoviendo la fusión directa de las membranas, mediándola por la proteína de fusión viral, forma homo-trímeros que requerirán de activación proteolítica para obtener funcionalidad metaestable, posteriormente se da la primera inserción de un dominio hidrofóbico al péptido de fusión en la membrana diana y se forma otro poro de fusión a través de yuxtaposición del domino transmembrana C y el péptido; en la conformación posterior se volverá termodinámicamente estable (Plemper *et al.*, 2011).

#### **2.2.3. VIRUS DNA**

Los virus de ADN establecen sus propios sitios de transcripción y elige los compartimentos de replicación dentro del núcleo; durante la infección lítica los virus de ADN que se replican en el núcleo de las células establecen un entorno que favorece la replicación viral, mientras evade las defensas celulares, por consiguiente estos virus comprometen factores celulares que son necesarios para una eficiente transcripción viral y replicación (Everet, 2013).

## **2.2.4. TIPOS DE VIRUS DNA**

### **2.2.4.1. VIRUS ADN DE CADENA SIMPLE**

Son virus dependientes de asistencia externa para lograr su expresión génica y replicación del genoma. Esto debido al tamaño tan pequeño de su genoma que no le permite codificar un aparato bioquímico necesario, desarrollando una forma extrema de parasitismo, utilizando las funciones normales presentes en el núcleo de las células hospederas, tanto para la expresión como para la replicación y (Cann, 2005).

#### **2.2.4.1.1. MICROVIRUS**

Los Microvirus son virus pequeños de forma icosaédrica, de una sola cadena de ADN en su genoma. Su sub-clasificación se basa en estructuras y diferencias genómicas dando como resultado dos subgrupos: Microvirus (género Microvirus) y Gokushovirus (subfamilia Gokushovirinae), actualmente se descubrió otra subfamilia aun no aprobada Alpavirinae y otro nuevo grupo llamado Pichovirinae siendo descubierto en el análisis de su estructura de la cápside revelado por la presencia de inserciones en forma de hongo conservadas, que se encuentran en todos los grupos menos en los Microvirus, además se observó un gen peptidasa y transferencia horizontal de genes Los siete miembros del género Microvirus infectan exclusivamente enterobacterias (Roux *et al.*, 2012).

Su modo de replicación es a través de un mecanismo de círculo rodante y codifican proteínas de iniciación, todos los miembros de la familia Microviridae son líticos e incapaces de lisogenizar a su huésped, están compuestos por cuatro principales proteínas estructurales: proteína F de la cápside, proteína G, proteína J de unión al ADN y H que es la proteína piloto del ADN, en el caso de Gokushovirus requiere de dos proteínas más: B interna y D externa, esto hace que el genoma de Gokushovirus sea más pequeño que el de los Microvirus. Estudios recientes basados en metagénomica sugieren que los miembros de la familia

Microviridae desempeñan un papel importante en ambientes marinos (Krupovic *et al.*, 2011).

#### **2.2.4.1.2. PARVOVIRUS**

Los Parvovirus son virus pequeños de ADN, no encapsulados que se utilizan con éxito en la terapia génica, para su replicación requieren pasar por la envoltura nuclear; su interacción con el núcleo de la célula hospedera es compleja ya que a pesar de su pequeño tamaño no logra atravesar los poros nucleares y por eso es necesario que se una a las proteínas del complejo nuclear, cuando esto pasa se activa una cascada de señales que resulta en la desintegración de la envoltura nuclear (Porwal *et al.*, 2013), inducen efectos citopáticos graves a la célula huésped, que se manifiesta en la reestructuración y degradación de los filamentos del citoesqueleto, logrando así la propagación del virus (Bar *et al.*, 2008).

Los Parvovirus tienen dos marcos de lectura abiertos presentes en su genoma, el marco 1 (ORF1) que codifica proteínas no estructurales y el marco 2 (ORF2) que codifica proteínas de la cápside viral. Algunos genomas de parvovirus pueden tener un marco adicional que codifique para otras proteínas, tales como NP1 que es una proteína no estructural presente en parvovirus humano. El Comité Internacional de Taxonomía viral clasifica a la familia Parvoviridae en dos subfamilias de acuerdo a los hospederos que infecta: Parvovirinae que infecta a los vertebrados y Densovirinae que infecta a insectos y artrópodos; la subfamilia Parvovirinae se divide en cinco: Amdovirus, Bocavirus, Dependovirus, Eritrovirus y Parvovirus (Narvaiza *et al.*, 2009).

Bocavirus es un integrante de la Parvovirinae caracterizado por tener un marco abierto para la proteína NP1, infecta a múltiples mamíferos incluyendo humanos, vacas, cerdos, gorilas, chimpancés, gatos, perros y murciélagos, causando signología respiratoria y gastrointestinal en animales jóvenes y se encontrara de manera subclínica en animales adultos (Li *et al.*, 2013).

#### **2.2.4.1.3. CIRCOVIRUS**

Son virus no envueltos de forma icosaédrica, los rangos reportados en virus de anemia en pollos (CAV), Circovirus porcino I (PCV1) y enfermedad viral de pico y pluma (BFDV) es de 19.1-26.5 Nm, 17-20.7 Nm y 12-20.7 nanómetros respectivamente; contienen una molécula circular de ADN de cadena sencilla; su replicación la realiza con la molécula circular de ADN, ellos utilizan el ADN polimerasa durante la fase S de la división celular del hospedero para infectar (King *et al.*, 2011).

La familia de Circovirus se divide en dos géneros: Gyovirus que representa al virus de la anemia del pollo, de importancia económica y el género Circovirus representado por el virus de la enfermedad de las plumas y pico, Circovirus de tipo 1 y 2, que causan el síndrome multisistémico post-destete, Circovirus de paloma detectado por primera vez en 1993, Circovirus canario, de pato y ganso. Este último fue descrito por primera vez en 1998 en un lugar donde comercializaban gansos, el hallazgo fue su alta mortalidad; se demostró que es resultado de una infección secundaria a virus como: Poliomavirus hemorrágico del ganso, parvovirus, bacterias y hongos del genero Riemerella y Aspergillus fumigatus, con la característica de ser asintomático. Los gansos afectados pueden tener retraso en el crecimiento; los cambios histopatológicos más comunes son disminución de linfocitos T e histiocitos en órganos linfoideos, incluyendo el timo, bazo y bolsa de fabricio (Wozniakowski *et al.*, 2012).

En el caso de Circovirus porcino tipo 2 realiza su replicación en el núcleo de las células infectadas, su número de proteínas es limitado, por lo tanto no están bien equipados para modificar las condiciones intracelulares a favor de sus propias necesidades de replicación, aunque se puede ver beneficiado de las condiciones específicas del huésped cuando no han sido inducido por otros agentes infecciosos (Gu *et al.*, 2012).

## **2.2.4.2. VIRUS DE ADN DE DOBLE CADENA**

Esta clase de genes víricos se subdivide en dos grupos; el primero son aquellos en la que la replicación del genoma es exclusivamente nuclear (Adenovirus, Polyomavirus, Herpesvirus) y los que su replicación se produce en el citoplasma (Poxviridae). Existen profundas diferencias entre ellos dependiendo la maquina celular de cada familia (Cann, 2005).

### **2.2.4.2.1. POLIOMAVIRUS**

Expresan en su genoma características de la familia Polyomaviridae, aunque presentan alta variabilidad con respecto a otros miembros de la familia. Tiene doble cadena circular de ADN (Buck *et al.*, 2012) y se han secuenciado 5,299 pares de bases en su genoma (Gaynor *et al.*, 2007).

Infectan a gran variedad de mamíferos y aves, incluyendo los descritos recientemente como: murciélagos, lobos marinos, ratones de diversos géneros, canarios, mono ardilla chimpancé y gorila (Siebrasse *et al.*, 2012).

Las partículas de Polyomavirus miden aproximadamente de 40 a 45 nanómetros de diámetro presenta cápside icosaédrica compuesta por 72 capsómeros y encapsula una molécula circular con ADN de doble cadena. En las partículas maduras, el ADN viral se asocia con la célula huésped en las histonas H2A, H2B, H3 en un súper coloide compuesto de cromatina (Johne *et a.*, 2011).

Su genoma se encuentra dividido en tres partes: región regulatoria, región temprana y región tardía. En la región regulatoria también llamada región de Control no Codificante (NCRR), contiene el origen de replicación y promotores para la región temprana y tardía, en esta región se lleva a cabo la transcripción en forma bidireccional. La región temprana es expresada en conjunto con la transcripción primaria y se empalman para producir un antígeno T largo (LTag) y un antígeno T pequeño (STAg), comparten entre 1 y 80 aminoácidos. La región tardía se expresa antes de la replicación viral; ya comenzada codifica proteínas estructurales VP1, VP2 y VP3; VP1 es la mayor proteína estructurada, la cual

comprenderá el 70% de la partícula viral y es la porción antigénica del virus (Siebrasse *et al.*, 2012).

#### **2.2.4.2.2. ADENOVIRUS**

Pertenecen a la familia Adenoviridae, presenta doble cadena de ADN y no tienen envoltura, infecta a un amplio rango de hospederos vertebrados, existen más de 50 serotipos del género Mastadenovirus divididos en 6 subgrupos del grupo A al F (Yu *et al.*, 2012).

El género Mastadenovirus incluye los subtipos para humano, simio, bovino, equino, porcino y perro, además de existir un segundo subtipo denominado Aviadenoviridae. Cuenta con una cápside externa y un núcleo proteico central que cubre el DNA lineal y varias proteínas accesorias, es de forma icosaédrica y está constituida por 252 subunidades o capsómeros de los cuales 240 son exones distribuidos en forma plana en las 20 caras; 20 son pentones que constituyen los vértices. El pentón está unido por una base, la unión forma parte de la superficie y proyecta una fibra llamada fracción globular. En su genoma cuenta con 11 tipos de proteínas estructurales y se clasifican en números romanos del I al XI, siete de estos polipéptidos constituyen la cápside siendo el numero II el más abundante con 967 aminoácidos siendo el constituyente más abundante en el virión. El genoma de los adenovirus cuenta con 35,937 pares de bases (Martinez *et al.*, 2006).

Los Adenovirus tradicionalmente habían sido clasificados de acuerdo a sus propiedades inmunoquímicas y biológicas, sin embargo hoy en día son clasificados de acuerdo a la base de sus relaciones evolutivas como se infiere en los análisis filogenéticos de las secuencias de ADN de la proteína viral en sus genes, de esta manera se evita la clasificación errónea debido a la reacción cruzada en la neutralización y pruebas de aglutinación (Maluquer *et al.*, 2011).

Los vectores adenovirales presentan una fuerte inmunogenicidad y capacidad para traducir células presentadoras de antígenos y provocar elevación de linfocitos T y B para llegar a células blanco (Guan *et al.*, 2011).

La infección por Adenovirus desencadena una respuesta antiviral específica de la célula después de la exposición del ADN viral en el compartimiento intracelular (Lam *et al.*, 2013).

#### **2.2.4.2.3. HERPESVIRUS**

Los Herpesvirus son virus de mamíferos sumamente exitosos. Sin embargo la infección no se hace manifiesta hasta que se encuentra bien establecida (Milho *et al.*, 2012); son envueltos tienen un diámetro de 150-200 nanómetros, ADN de doble cadena lineal y una cápside con isometría icosaédrica de alrededor de 100 nanómetros de diámetro compuesta por 162 capsómero (150 hexámeros y 12 pentámeros). La cápside está rodeada por una capa de material globular, conocido como tegumento y alrededor de él una envoltura que contiene espículas de glicoproteínas virales en su superficie (Avila *et al.*, 2008).

Las células infectadas por Herpesvirus de forma latente forman un reservorio de la infección crónica que se encuentra controlada por el sistema inmune; sin embargo la infección latente puede dar lugar a la manifestación de la enfermedad si se pierde el control inmunológico; esto es característico para miembros de la familia Gammaherpesvirinae que se asocian por lo general a neoplasias e individuos inmunodeprimidos (Gunther *et al.*, 2010).

Los Herpesvirus pertenecen a la familia Herpesviridae y la familia está compuesta por 3 subfamilias: Alphaherpesvirinae, Betaherpesvirinae y Gammaherpesvirinae (Obando *et al.*, 2010).

Los Alphaherpesvirus presenten un rango amplio de hospederos y alta capacidad para establecer infecciones latentes. El ciclo reproductivo es relativamente corto y crecen fácilmente en cultivos celulares (Avila *et al.*, 2008).

Los Gammaherpesvirus resultan en una infección lítica productiva caracterizada por la expresión de los genes virales y rápida lisis celular o una infección latente caracterizada por el gen viral limitante y sin lisis celular (Suarez *et al.*, 2008).

El Herpesvirus neuroinvasivo pertenece a un grupo de virus patógenos y cada uno de ellos infecta a diferentes especies mamíferas. Cuatro de los virus de este grupo infectan humanos: Herpes simplex tipo 1 (HSV-1), herpes simplex virus tipo 2 (HSV-2), Virus de varicela (VZV) y herpesvirus tipo B de simio. Este último se encuentra asociado a infecciones zoonóticas (Lee *et al.*, 2009).

#### **2.2.4.2.4. POXVIRUS**

Son de cadena doble de DNA, tiene un ciclo de vida sofisticado que se caracteriza por una serie de pasos regulados temporalmente y aunque Poxvirus codifica un gran número de genes (más de 200), sigue siendo un agente patógeno intracelular obligado y requiere de múltiples actividades de la célula huésped (Moser *et al.*, 2010).

Los Poxvirus pertenecen a la familia Poxviridae , esta familia viral contiene uno de los más grandes virus conocidos ya que requiere más de 80 proteínas para su montaje en varias etapas; producen partículas infecciosas que son sintetizadas en la membrana interna lipídica y pasan por gemación a través de los compartimentos celulares, en cambio las partículas inmaduras de poxvirus se generan de manera atípica con precursores en forma creciente, aunque su composición aun sigue siendo controversial (Hyun *et al.*, 2011), expresan diversas proteínas inmunomoduladoras que codifica en las regiones terminales del genoma, ellos pueden sintetizar esteroides causando inmunosupresión o pueden bloquear la producción o acción de citocinas, quimiocinas, interferón y sistema de complemento (Mansur *et al.*, 2013).

Pueden infectar a una gran variedad de organismo como: insectos, reptiles, aves y mamíferos. La familia de los Poxvirus se subdivide en géneros basados en características que comparten en común, por ejemplo: los huéspedes que

infectan, morfología, antigenicidad y similitud de secuencia, son cuatro géneros de Poxvirus que se conocen: Molluscipoxvirus, Ortopoxvirus, Parapoxvirus y Yatapoxvirus (Krumm *et al.*, 2012).

## **2.3 ASTROVIRUS**

Los Astrovirus forman una familia pequeña de virus ARN que miden aproximadamente de 28 a 30 nm, infectan a una gran variedad de mamíferos y aves, fue identificado por primera vez en humanos en muestras de heces en 1975, después de haber sido observados en micrografías electrónicas recibieron ese nombre porque tienen forma de estrella (Stenglein *et al.*, 2012).

### **2.3.1. CARACTERÍSTICAS**

Los Astrovirus son virus sin envoltura, su replicación se lleva en los enterocitos de tractos intestinales de los organismos infectados (Stenglein *et al.*, 2012).

Se ha logrado realizar análisis genético en humanos, murciélagos, gato, guepardo, bisonte, oveja, cerdo, pavo y pollo de esta manera logrando su clasificación (Chen *et al.*, 2009).

### **2.3.2. GENOMA**

Son virus sin envoltura y de genoma ARN, con una sola cadena en sentido positivo de 6.8 a 7.2 K.b de longitud, encapsulados en la nucleocápside, se han identificado tres marcos de lectura abiertos: ORF1a y 1b situados en el extremo 5' del genoma que codifica proteínas no estructurales y proteínas de la polimerasa respectivamente, mientras que ORF2 ubicado en el extremo 3' codifica la proteína de la cápside. ORF1b expresa una fusión de proteínas generada a través de un mecanismo de desplazamiento de marco ribosómico usando una secuencia resbaladiza altamente conservada entre ORF 1a Y 1b (Masroor *et al.*, 2013).

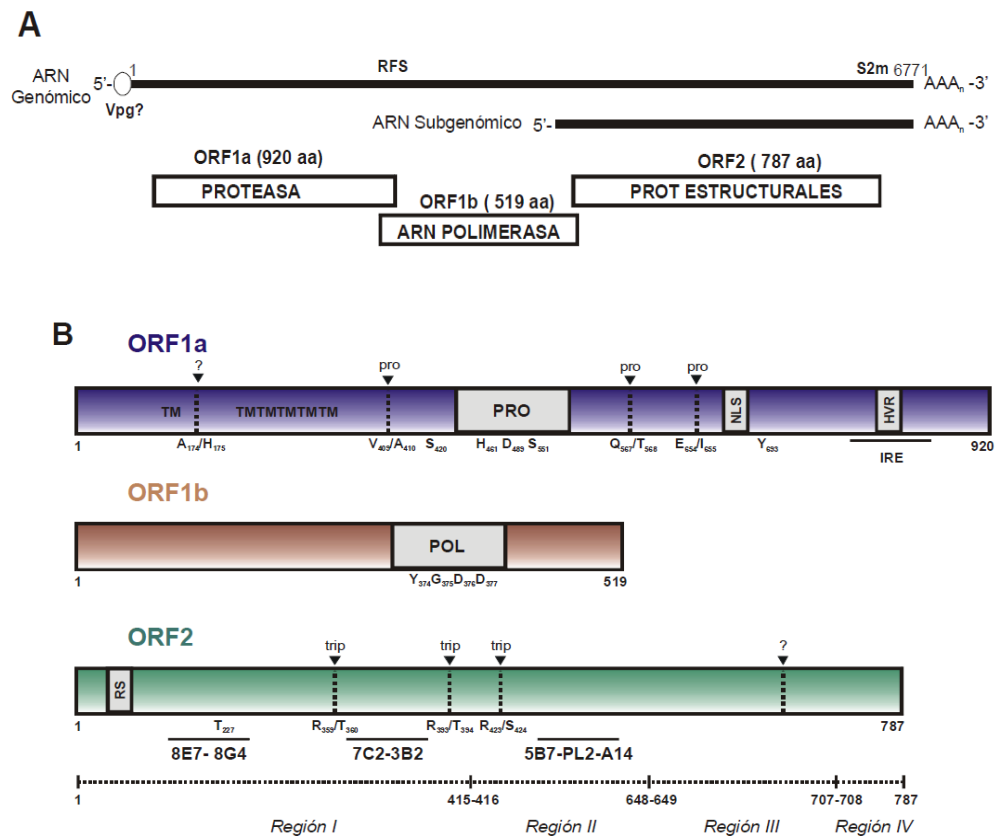


Figura 1. (A) Organización genómica de Astrovirus. (B) Representación esquemática de los 3 ORF's destacando el principal contenido de cada uno de ellos y los residuos aminoacídicos más relevantes (Guix, 2003).

### **2.3.3 VIRUS ARN DE CADENA SIMPLE POLARIDAD POSITIVA**

Estos genomas víricos actúan como ARNs mensajeros y ellos mismos son traducidos inmediatamente tras la infección de la célula hospedera. Los virus de esta clase pueden subdividirse en dos grupos: producción de una poliproteína comprendiendo la totalidad de la información genética del virus y producción de ARN mensajero subgenómico, resultando dos o más rondas de traducción del genoma: esta estrategia es empleada para lograr una separación temporal de lo

que son esencialmente fases precoz y tardía de la replicación, en la que se producen proteínas no estructurales, incluida una replicación viral durante la fase precoz seguida de proteínas estructurales en la fase tardía. Además de la proteólisis los virus emplean otras estrategias para producir polipéptidos alternativos, por una lectura de codón de paro de la traducción permeable o por un desplazamiento deliberado de la pauta de lectura ribosomal en un ciclo concreto (Cann, 2005).

#### **2.3.4. DIVERSIDAD**

Astrovirus comprenden 2 géneros: Mamastrovirus y Avastrovirus, dentro de la familia Astroviridae, pueden infectar especies de mamíferos y aves respectivamente. La taxonomía de Astrovirus se basa principalmente en la especie de origen y serotipos dentro de cada especie que son definidos sobre la base de los títulos de neutralización cruzada. La mala adaptación de Astrovirus a sistemas de laboratorio llevo a la formación del genoma basado en la clasificación en un porcentaje similar de nucleótidos y aminoácidos secuenciados de ORF-2 en la cápside proteica. En humanos se conocen ocho serotipos del HAstV1 al V8, aunque recientemente se han identificado 5 nuevas especies Ast V-MLB-1 y 2, AstV-VA1, AstV-HMO-A y AstV-HMO-B (Masroor *et al.*, 2013).

Los Mamastrovirus tienen genoma ARN compuesto de una sola cadena en sentido positivo que codifica tres marcos de lectura abiertos: ORF1a, 1b y 2. Entre el marco 1a y 1b permite codificar proteasas y un ARN polimerasa dependiente y ORF 2 codifica proteínas de la cápside viral. La clonación de ORF 2 en vectores ha permitido el montaje in vitro de partículas similares al virus (Rivera *et al.*, 2009).

#### **2.3.5 REPLICACIÓN.**

El esquema de replicación, transcripción y traducción que se ha postulado para Astrovirus presenta una organización genómica y una estrategia de síntesis de proteína estructurales a partir de un ARN genómico y síntesis de proteínas estructurales a partir de un ARN subgenómico. Tras la entrada del virus a la

célula hospedera tendrá lugar la síntesis de proteínas no estructurales a través del genoma , estas proteínas transcribirán la cadena negativa completa, la cual a su vez servirá de molde para la síntesis tanto de nuevas moléculas genómicas como de moléculas de ARN subgenómico de polaridad positiva, aunque todavía no está demostrado científicamente parece ser que existe un promotor para el ARN subgénomico que solo será funcional en las cadenas negativas de ARN, finalmente tendrá lugar la síntesis de proteína a gran escala al traducirse el ARN subgénomico; de este modo la presencia de proteínas de la cápside es indicativa de que la replicación del genoma ya haya tenido lugar (Guix, 2003).

La proteína de la cápside de Astrovirus desempeña un papel único en la patogénesis de la diarrea: la proteína de la cápside interactúa con las membranas apicales de los enterocitos, aumentando la permeabilidad favoreciendo la replicación del virus (Rivera *et al.*, 2009).

La teoría propuesta es que el intestino constantemente se encuentra sometido al contacto con agentes patógenos y la principal defensa física contra ellos es la formación de asociaciones epiteliales célula-célula reguladas, conocidas como uniones estrechas, las cuales están compuestas por proteínas transmembranales como ocludinas y claudinas que dan origen a una barrera dinámica impermeable al movimiento de fluidos y solutos entre el compartimiento seroso y el lumen, estas proteínas interactúan con proteínas adaptadoras cistosólicas, la cual se coordina con proteínas de señalización para unir la membrana celular con el citoesqueleto de actina. Estas interacciones permiten la estricta regulación de las uniones estrechas y de la permeabilidad de la barrera intestinal y la disruptión de estas uniones puede resultar en un flujo desmedido de patógenos y solutos dentro del cuerpo así como fluido osmótico fuera del cuerpo, la cual puede manifestarse como diarrea (Moser *et al.*, 2007)

### **2.3.6 DIAGNÓSTICO MOLECULAR DE ASTROVIRUS EN CONEJOS**

Según un estudio (Martella *et al.*, 2011) realizado en Italia se obtuvieron varios grupos de animales en total 23 conformados por 2-5 animales cada uno, tenían edades de 35-55 días y se extrajeron porciones de intestino delgado y grueso con contenido intestinal de conejos con enteritis. La detección de Astrovirus se utilizó técnica de PCR. El ARN vírico se extrajo utilizando un kit de ARN viral QIAamp; las muestras de colección se seleccionaron inicialmente para colocarlas en un par de cebadores dirigidos a la región ORF 1b, la selección inicial mostro amplicones de PCR del tamaño esperado de 409 pares de bases. La PCR en tiempo real se realizó mediante un protocolo de 2 etapas y un termociclador en tiempo real. Se obtuvo un amplicón ORF 1b del tamaño de 409 pb y se transcribió in vitro.

Otro estudio realizado en Tennessee Estados Unidos (Stenglein *et al.*, 2012) se trabajo con un grupo de conejos que presentaba el 90% de mortalidad por enterocolitis. Para validar este hallazgo se utilizó la técnica de PCR donde se diseñaron varios conjuntos de cebadores degenerados, basándose en regiones conservadas del genoma, usando uno de los pares de cebadores se encuentra un amplicón del tamaño esperado, que se clonó y se secuenció, lo que confirma la presencia de Astrovirus.

## **2.4 PRIMERS**

### **2.4.1 DEFINICIÓN**

Los oligonucleótidos iniciadores o primers son fragmentos complementarios que se van a unir a cada una de las dos cadenas separadas del templado de ADN (Martínez *et al.*, 2006).

### **2.4.2 CARACTERISTICAS**

La selección de oligonucleótidos iniciadores es muy importante en la Reacción en Cadena de la Polimerasa, por lo tanto se deben tomar en cuenta las siguientes características para su diseño:

Especificidad: es una parte dependiente de su longitud. Los primers deben ser elegidos de modo que tengan una secuencia única dentro del DNA que será amplificado. Un primer diseñado con una secuencia altamente repetida, dará lugar a productos no deseados (Martínez *et al.*, 2006).

Contenidos de G/C: La proporción G/C es un valor porcentual que indica la relación de los nucleótidos entre guanina y citosina que aparecen en un primer, una proporción adecuada de G/C en un cebador es un rango entre el 40% y 60% del total de nucleótidos, por lo contrario se pueden ver afectada la condición de alineación de los cebadores (Yeh *et al.*, 2013).

Longitud del cebador: En general los oligonucleótidos que tienen entre 18 a 24 pares de bases presentan una especificidad extrema de secuencia, siempre y cuando la temperatura de hibridación sea óptima. La longitud del cebador también influye en la eficacia de la hibridación, en general en cuanto más largo sea el cebador, menos eficaz será la hibridación. Al cebarse menos ADN's moldes en cada fase, esto puede hacer que disminuya de forma significativa el producto amplificado. No obstante los cebadores no deben ser demasiado cortos, salvo que la aplicación lo exija específicamente. El objetivo es un diseño del cebador por lo menos con una temperatura de 50 grados a la alineación (Somma *et al.*, 2006).

Temperatura de fusión: la temperatura de fusión de los primers es uno de los factores más determinantes de la reacción. Existen diversos métodos para calcular la temperatura de fusión, pero aun así calculada la temperatura es necesario realizar diversas pruebas por que pueden existir variaciones (Ye *et al.*, 2012).

Secuencias de los extremos 3': Es establecido que la posición terminal 3' en primers de PCR es esencial para el control del mispriming. La inclusión de un residuo de G o de C en el extremo 3' de los primers ayuda a asegurar el correcto enlace en el extremo terminal 3' debido al enlace de hidrógeno más fuerte de los residuos G/C. También ayuda a mejorar la eficacia de la reacción (Martínez *et al.*, 2006).

Secuencias complementarias del cebador: Es necesario que el diseño de primers no incluya ninguna homología interna del cavador de más de 3 pares de bases. Si un cebador tiene alguna de estas zonas de auto-homología, pueden formarse estructuras con cambios bruscos u horquillas, parcialmente bicatenarias, capaces de interferir con la hibridación al ADN molde. Otro peligro relacionado es la homología entre cebadores. Una homología parcial en las regiones centrales de dos cebadores puede interferir en la hibridación. Si la homología se produce en el extremo 3' de cualquiera de los cebadores pueden formarse dímeros de cebadores, que en general impiden la formación del producto deseado por un mecanismo de competencia (Somma *et al.*, 2006).

#### **2.4.3 DISEÑO DE PRIMERS**

El programa Primer-Blast consiste en un módulo para generar pares de cebadores que pueden ser utilizados y un modulo para el control de la especificidad de la diana de los pares de cebadores generados. El programa Primer Blast fue implementado utilizando el NCBI para comprobar la especificidad pre-existente de cebadores con o sin plantilla. La plantilla de PCR puede ser una secuencia de ADN en bruto en formato FASTA (Ye *et al.*, 2012).

#### **2.4.4 PRIMERS DEGENERADOS**

Los primers degenerados se pueden utilizar: para amplificar secuencias conservadas de un gen o genes del genoma de un organismo o para conseguir la secuencia de nucleótidos después de secuenciar algunos aminoácidos de una proteína de interés. Existe evidencia de regiones altamente conservadas de aminoácidos que se pueden diseñar utilizando primers degenerados; estas regiones pueden ser conservadas entre especies. Los primers degenerados se pueden utilizar para amplificar estas secuencias. Las secuencias amplificadas de esta manera se pueden secuenciar para confirmar que la secuencia sea correcta. Pueden entonces ser utilizadas como sondas para amplificar el gen de interés de una biblioteca geonómica procariótica o de una biblioteca de DNA eucariótica. Cuando se ha aislado exitosamente una proteína de interés o series de aminoácidos pueden ser secuenciados. La secuencia del aminoácido se puede utilizar para

diseñar primers degenerados. El producto de PCR puede ser secuenciado. Si los primers producen una secuencia truncada del gen o parcial, pueden ser utilizadas como sondas (Martínez *et al.*, 2006).

#### **2.4.5 BIOINFORMÁTICA**

La bioinformática es un área de investigación interdisciplinaria que aplica técnicas, metodología y herramientas de la informática y de la información para resolver problemas biológicos. La bioinformática ha desempeñado recientemente un papel vital en el avance de las ciencias biológicas (Fatumo *et al.*, 2014).

Las principales aplicaciones de la bioinformática son gestión, simulación, inducción de datos y análisis de la información generada, con aplicación en la predicción de estructuras proteicas, estudios de secuencias y otras actividades derivadas de la investigación biológica. En sus orígenes se desarrollaban bases de datos genómicos y proteómicos que se construyen con herramientas de software para el análisis de datos (Coltell *et al.*, 2008).

Algunos de los nuevos temas de interés aplicados en la bioinformática son los análisis de datos producidos por los nuevos métodos de alto rendimiento experimental, la biología de sistema y el modelo de la estructura de ARN y sus interacciones (Grabowska *et al.*, 2014).

Como parte de la bioinformática existe otra área derivada que son las ciencias genómicas que es un campo de gran volumen de datos que combinan para descubrir y explorar las características de elementos de secuencia a gran escala (Phanstie *et al.*, 2014).

## 2.4.6 TÉCNICA DE PCR

La PCR (Reacción en Cadena de la Polimerasa) es una técnica que permite amplificar un segmento de ADN, de manera exponencial ya que después de cada ciclo se duplica la cantidad de ADN que existe si la reacción ocurre con máxima eficacia. El objetivo principal de la técnica es distinguir y cuantificar de manera específica una secuencia de ácido nucleico en una muestra incluso cuando se presenta en menores cantidades (Rodríguez *et al.*, 2006).

Cualquier segmento de ADN o ARN puede ser amplificado siempre que se conozcan las secuencias flanqueantes de la región diana, es decir podemos amplificar cualquier porción de ácido nucleico conocido o no, siempre que quede comprendido entre dos secuencias conocidas con las que podrán hibridar oligonucleótidos complementarios que actuarán como cebadores para la que la polimerasa pueda copiar hebras molde. Por lo tanto para que la reacción tenga lugar, básicos e indispensables son: ADN molde que se desea amplificar, ADN polimerasa, cebadores de secuencia específica, nucleótidos para la síntesis del nuevo ADN y tampón de reacción que incluye distintas sales requeridas por la enzima (Méndez *et al.*, 2004).

La técnica de PCR consiste en 3 pasos: desnaturación, hibridación y elongación. El primer paso es la extracción y purificación de los ácidos nucleicos seguido de la amplificación de un segmento seleccionado del genoma del microorganismo mediante reacción en cadena de la polimerasa, es decir, la PCR propiamente dicha. Finalmente, en la tercera etapa se lleva a cabo la detección de los fragmentos amplificados en la PCR (amplicones) por electroforesis en gel de agarosa y tinción con bromuro de etidio o mediante hibridación con sondas específicas (Costa, 2004).

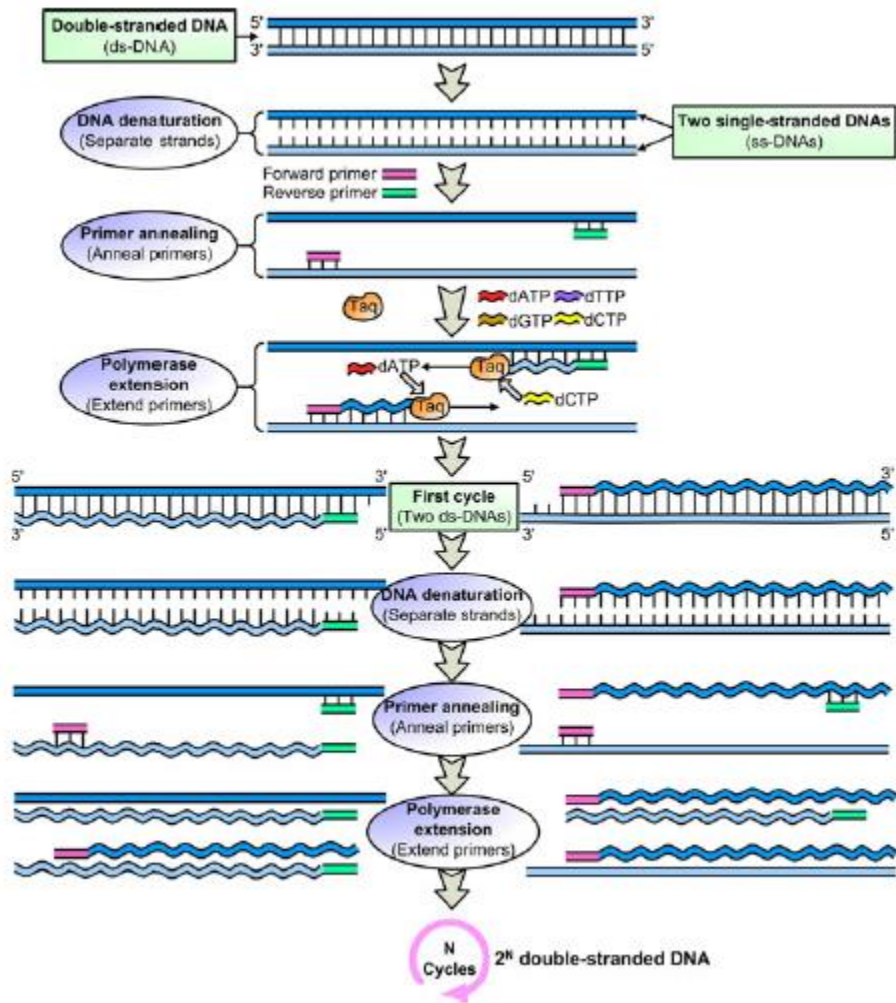


Figura 2. Procesos cíclicos de la Reacción en Cadena de la polimerasa (Yeh et al., 2013).

#### 2.4.6 TIPOS DE PCR

Además de la amplificación de una secuencia diana de ADN por los procedimientos normales de PCR, se han desarrollado varios tipos especializados de PCR para aplicaciones específicas como lo son:

**PCR múltiplex:** Esta técnica utiliza múltiples pares de cebadores para amplificar muchas secuencias simultáneamente, para este tipo de amplificación se utilizan primers con temperaturas de hibridación similares. Las longitudes de los productos amplificados deben ser similares; si hay grandes diferencias entre las longitudes

de los ADN diana se favorece la amplificación de la diana más corta respecto a la más larga, lo que implica diferencias en el rendimiento de los productos amplificados. Por otra parte los buffers de PCR Múltiple contiene un aditivo de la Taq polimerasa, que reduce la competencia entre amplicones y la diseminación de los fragmentos más largos de ADN durante la PCR Múltiplex. Los productos de la PCR Múltiplex pueden seguir hibridándose con una sonda específica del gen con fines de verificación (Somma *et al.*, 2006)

Es adecuada para la identificación de genes múltiples basada en el uso de fluorocromos y el análisis de curvas de fusión de los productos amplificados. Esta multiplex muestra una alta sensibilidad en reacciones dúplex y es una alternativa útil para la PCR basado en la secuencia específica de sondas (Deepak *et al.*, 2007).

PCR en tiempo real: también conocida como Real Time PCR, muestra la capacidad de monitorear el progreso de la reacción de PCR a medida que esto ocurre. Los datos son colectados a lo largo del proceso de PCR y no al final como la PCR común. Utiliza moléculas de un marcador fluorescente para monitorear la amplificación de productos durante cada ciclo de reacción. Esta técnica combina los pasos de amplificación de ADN y la detección en un único ensayo y evita tener que preparar geles de electroforesis para detectar los productos amplificados. Un análisis apropiado de los datos de la química también permite eliminar la necesidad de realizar pruebas de Southern Blot para identificación de los amplicones (Rodríguez *et al.*, 2006).

Algunos de los componentes de la PCR en tiempo real son:

Sondas: las primeras en aparecer fueron las tipo Taq Man (Applied Biosystem), son oligonucleótidos de doble marcaje con un fluoróforo en el extremo 5' y un quencher o apagador en el extremo 3', una vez que este es separado de la sonda

debido a la actividad de la exonucleasa de la ADN polimerasa aumenta la fluorescencia causada por el indicador el cual es cuantificado por el equipo en tiempo real (Hoffman *et al.*, 2009).

Molecular beacons: Tienen una molécula donadora en el extremo 5' y una receptora en el extremo 3' y presentan una estructura secundaria en forma de asa, en la que reside la secuencia de unión específica con el ADN diana, los extremos permanecen plegados cuando la sonda no está hibridada, lo que conlleva a que el donador y el receptor estén muy cerca uno del otro. En esta conformación la fluorescencia emitida por el donador es absorbida por el receptor y no es captada por el lector del equipo. Sin embargo, al hibridar con el ADN diana la sonda se abre, alejándose donador y receptor, pudiendo detectar la fluorescencia emitida por el primero (Rodríguez *et al.*, 2006).

Controles internos: es un aspecto importante de control de calidad, es necesario para garantizar una adecuada eficiencia de la extracción de RNA y confirmar la ausencia de inhibidores de PCR en cada muestra evitando así falsos positivos. Se considera una herramienta valiosa, cuando se prueban ácidos nucleicos extraídos de matrices biológicas potencialmente difíciles como el degradado de las muestras donde la presencia de inhibidores de PCR puede ser problemático. En estos casos la co-amplificación de un control interno aumenta la fiabilidad de los resultados, además de validar los resultados negativos. Algunos de los enfoques utilizados consisten en detectar un gen endógeno que ocurre naturalmente en la muestra de ensayo (Hoffmann *et al.*, 2009).

Agentes intercalantes: Las técnicas que usan marcadores fluorescentes específicos emplean sondas de ácidos nucleídos que se unen a amplicones específicos es decir producto de PCR. Los métodos que utilizan sondas fluorescentes tienen la ventaja de ser muy precisos y evitar posibles artefactos o secuencias inespecíficas presentes en el producto de la PCR, por lo que la interpretación de los resultados suele ser más rápida y directa. Es importante mencionar que la mayoría de estas sondas usan el fenómeno FRET (fluorescent resonance energy transfer) para emitir las señales luminosas que se van a medir

en el termociclador a medida que se obtenga el producto de la PCR. El correcto diseño de estas sondas influye también en la eficiencia de la reacción de la PCR en tiempo real (Vinueza, 2009).

Su función es aumentar notablemente la emisión de fluorescencia cuando se unen al ADN de doble hélice. El más empleado en PCR a tiempo real es el SYBR Green. Por otra parte, los agentes intercalantes no permiten la identificación de polimorfismos en la secuencia diana (Costa, 2004).

PCR anidada: es considerada un método sensible y específico para la detección de agentes patógenos y es especialmente útil en estudios epidemiológicos, sin embargo, la preparación de moldes de ADN para la PCR es a menudo costosa y requiere tiempo (Li *et al.*, 2014).

Consiste en dos procesos de amplificación sucesivos, de forma en que la segunda PCR se utilizan primers contenidos en la secuencia amplificada en la primera reacción, es decir el producto de amplificación de la primera PCR es el molde de la segunda. Se aplica cuando se quiere mejorar la sensibilidad y especificidad de la técnica, especialmente en el caso de muestras de baja calidad o con un pequeño número de copias de la secuencia a amplificar (Martínez *et al.*, 2004).

Algunas de las características que tiene la PCR anidada es la restricción de ensayo de polimorfismo de longitud de fragmentos, ensayo de sonda en línea y ensayo de anticuerpos monoclonal específico (Nie *et al.*, 2012).

### **3. PLANTEAMIENTO DEL PROBLEMA**

Existe escasa información sobre los agentes patógenos que afectan a la cunicultura ya que por la signología que desarrollan, tienen como consecuencia grandes pérdidas económicas a los cunicultores. Es por ello que la necesidad de desarrollar marcadores moleculares que permitan la identificación de estos patógenos es de importancia para la prevención y tratamiento de enfermedades.

En el presente trabajo se pretende hacer la identificación molecular de Astrovirus en conejos, sin embargo no existen iniciadores reportados para este virus en la especie mencionada, por lo cual basándonos en técnicas bioinformáticas se propondrán siete pares de primers diseñados a partir de las secuencias concenso de Astrovirus reportados para diferentes especies a nivel mundial, para la amplificación del genoma completo de Astrovirus en conejos.

#### **4. JUSTIFICACIÓN**

Astrovirus es un virus que afecta a los conejos y la economía de la cunicultura, ya que disminuye la producción y muerte de los animales enfermos debido a la signología entérica que desarrollan, algunos de los signos clínicos que presentan son: enteritis, enterocolitis, diarrea, impactación cecal y deshidratación, de esta manera ocasiona pérdidas económicas importantes a los cunicultores.

En México no existen reportes de este virus en conejos y por lo tanto no existen marcadores moleculares que nos permitan realizar la identificación del virus por lo que el diseño de primers que sean útiles para la oportuna identificación del virus será un aporte de relevancia en el impulso de la cunicultura en nuestro país.

## **5. HIPÓTESIS**

Los primers diseñados son capaces de identificar Astrovirus en conejos con una confianza del 100%.

## **6. OBJETIVOS**

### **6.1. GENERAL**

Diseñar primers para la identificación de Astrovirus en conejos en México.

### **6.2. ESPECÍFICOS**

- 1.- Realizar una alineación múltiple de secuencias con los genomas de Astrovirus a nivel mundial.
- 2.- Diseñar primers para amplificación del ORF1a, ORF1b, y ORF2 de Astrovirus en conejos a partir de regiones consenso de Astrovirus reportados en otras especies.
- 3.- Verificar la especificidad de los primers diseñados para Astrovirus en conejos de México.

## 7. MATERIAL Y MÉTODO

### 7.1 OBTENCIÓN DE SECUENCIAS

Se realizó una búsqueda de secuencias para Astrovirus en el GenBank del NCBI (National Center for Biotechnology Information), se utilizaron los 14 genomas completos de las diversas especies, incluyendo humanos, que se muestran en la tabla 1 obteniendo un total de 107,775 nucleótidos.

ESPECIE	NÚMERO DE ACCESO EN EL GENBANK
Conejo	JF729316.1
Humano	NC_001943.1
Pato	KF753807.1
Pavo	EU143848.1
Bovino	NC_02448.1
Gato	NC_022249.1
Cerdo	JX556691.1
Perro	JQ081297.1
Puerco espín	KJ571486.1
Ratón	NC_015935.1
Rata	NC_018701.1
León marino	JN420359
Zorro	KC692365
Visón	NC_004579.1

Tabla 1. Número de acceso en Gen Bank de secuencias de genomas completos, por especie de Astrovirus.

### 7.2 IDENTIFICACIÓN DE REGIONES CONCENSO

Con las secuencias obtenidas se realizó una alineación múltiple de secuencias utilizando el Software MEGA 6, a partir de las regiones consenso obtenidas en el alineamiento se diseñaron primers sobrelapados de entre 1000 y 1500 nucleótidos. Los primers obtenidos fueron comparados contra las secuencias de virus, conejos (*Oryctolagus cuniculus*), protozoarios, virus RNA de cadena sencilla y bacterias para verificar su especificidad.

## 8. RESULTADOS

La alineación múltiple de secuencias de los 6, 980 nucleótidos de los 14 genomas completos de Astrovirus reportados, mostró una identidad del 80% y 2,350 sitios variables, figura 3.

Species/Abbrv	Gr	* * ***	*****	*****	*****	*****	*****	*****	*****	*****	*****	*****	*****	*****	*****	*****	*****	*****
1. ASTV RABBIT		AATA	TGTCGAA	TGATTC	GCGACAC	TTGAGC	CCTA	AAA	-TTT	CGAAC	AATTG	-CGCC	TGGGT	TGAT	-TCCCG	TGGC	CCTG	TGGT
2. ASTV HUMAN		GGCA	TAINGA	--TG	CGAGAC	-CT	TGAGC	CCTA	AAA	-TTT	GGAG	CGAC	AATTG	-CGCC	TGGGT	TGAT	-TCCCG	TGGC
3. ASTV DUCK		AATA	TGTCGAA	TGATTC	GCGACAC	TTGAGC	CCTA	AAA	-TTT	CGAAC	AATTG	-CGCC	TGGGT	TGAT	-TCCCG	TGGC	CCTG	TGGT
4. ASTV TURKEY		AATA	TGTCGAA	TGATTC	GCGACAC	TTGAGC	CCTA	AAA	-TTT	CGAAC	AATTG	-CGCC	TGGGT	TGAT	-TCCCG	TGGC	CCTG	TGGT
5. ASTV BOVINE		AATA	TGTCGAA	TGATTC	GCGACAC	TTGAGC	CCTA	AAA	-TTT	CGAAC	AATTG	-CGCC	TGGGT	TGAT	-TCCCG	TGGC	CCTG	TGGT
6. ASTV FELINE		AATA	TGTCGAA	TGATTC	GCGACAC	TTGAGC	CCTA	AAA	-TTT	CGAAC	AATTG	-CGCC	TGGGT	TGAT	-TCCCG	TGGC	CCTG	TGGT
7. ASTV PIG		AATA	TGTCGAA	TGATTC	GCGACAC	TTGAGC	CCTA	AAA	-TTT	CGAAC	AATTG	-CGCC	TGGGT	TGAT	-TCCCG	TGGC	CCTG	TGGT
8. ASTV DOG		AATA	TGTCGAA	TGATTC	GCGACAC	TTGAGC	CCTA	ACA	-TTT	CGAAC	AATTG	-CGCC	TGGGT	TGAT	-TCCCG	TGGC	CCTG	TGGT
9. ASTV PORCUPINE		AATA	TGTCGAA	TGATTC	GCGACAC	TTGAGC	CCTA	ACA	-TTT	CGAAC	AATTG	-CGCC	TGGGT	TGAT	-TCCCG	TGGC	CCTG	TGGT
10. ASTV MOUSE		AATA	TGTCGAA	TGATTC	GCGACAC	TTGAGC	CCTA	ACA	-TTT	CGAAC	AATTG	-CGCC	TGGGT	TGAT	-TCCCG	TGGC	CCTG	TGGT
11. ASTV RAT		AATA	TGTCGAA	TGATTC	GCGACAC	TTGAGC	CCTA	ACA	-TTT	CGAAC	AATTG	-CGCC	TGGGT	TGAT	-TCCCG	TGGC	CCTG	TGGT
12. ASTV SEA LION		AATA	TGTCGAA	TGATTC	GCGACAC	TTGAGC	CCTA	ACA	-TTT	CGAAC	AATTG	-CGCC	TGGGT	TGAT	-TCCCG	TGGC	CCTG	TGGT
13. ASTV FOX		AATA	TGTCGAA	TGATTC	GCGACAC	TTGAGC	CCTA	ACA	-TTT	CGAAC	AATTG	-CGCC	TGGGT	TGAT	-TCCCG	TGGC	CCTG	TGGT
14. ASTV VISON		AATA	TGTCGAA	TGATTC	GCGACAC	TTGAGC	CCTA	ACA	-TTT	CGAAC	AATTG	-CGCC	TGGGT	TGAT	-TCCCG	TGGC	CCTG	TGGT

Figura 3. Se muestran 180 nucleótidos del Alineamiento del genoma de Astrovirus

### DISEÑO DE PRIMERS POR REGIONES.

Región ORF 1a: de los 2670 nucleótidos (nt) que contiene la región, se diseñaron dos pares de primers en sentido 5' - 3' en regiones consenso, el tamaño de los fragmentos flanqueados fue aproximadamente de 1600 nt.

Par 1:

ORF1aMex1F: 5'CCAAAGGTGGCGATGGCGGCTAGAG3' (1-25)

ORF1aMex1R: 3'ACGCCTTCGGTTGTAGCAACTAGAA5' (1775-1800)

Par 2:

ORF1aMex2F: 5'GTGGTTGACGTCACATAACAATGGCG3' (1600-1625)

ORF1aMex2R: 3'CAGGAGCACTCCATTAGGGTAACC5' (2645-2670)

**Región ORF 1b:** De los 1557 nucleótidos (nt) que contiene la región, se diseñaron dos pares de primers en sentido 5'- 3' en regiones consenso, el tamaño de los fragmentos flanqueados fue aproximadamente de 1600 nt.

Par 1:

ORF1bMexF1: 5'GGGTAGGGGTGCCAAGAAAAGCAGG3' (2500-2525)

ORF1bMexR1: 3'ACCAGATGGTTGGTCCCCCTCTGG5' (3175-3200)

Par 2:

ORF1bMexF2: 5'GGAAAATGGTCTCGAGCCATTGTA3' (3100-3125)

ORF1bMexR2: 3'TCAAAGCCGCCATAAAAGGGTGACC5' (3875-3900)

**Región ORF 2:** de los 2361 nucleótidos (nt) que contiene la región, se diseñaron tres pares de primers en sentido 5'- 3' en regiones consenso, el tamaño de los fragmentos flanqueados fue aproximadamente de 1600 nt.

Par 1:

ORF2MexF1: 5'AGATCCTGAAACAGGAGAACAGATCGA3' (3725-3750)

ORF2MexR1: 3'CATAAGCTCTGTTTGGTCCTCCCC5' (4675-4700)

Par 2:

ORF2MexF2:5'GGATGTAAGTAGCCTCCATGGGAAG3' (4500-4525)

ORF2MexR2:3'AGAAGAGGCAGGAGCCTCCTGCTT5' (5475-5500)

Par 3:

ORF3MexF3:5'CCTTGGACCCACAATTGAAATCCAT3' (5325-5350)

ORF3MexR3:3'TCACCAATGCAGACAGTCAACAAGT5' (6475-6500)

La posición de los primers diseñados y su sobrelapamiento se muestran en la figura 4.

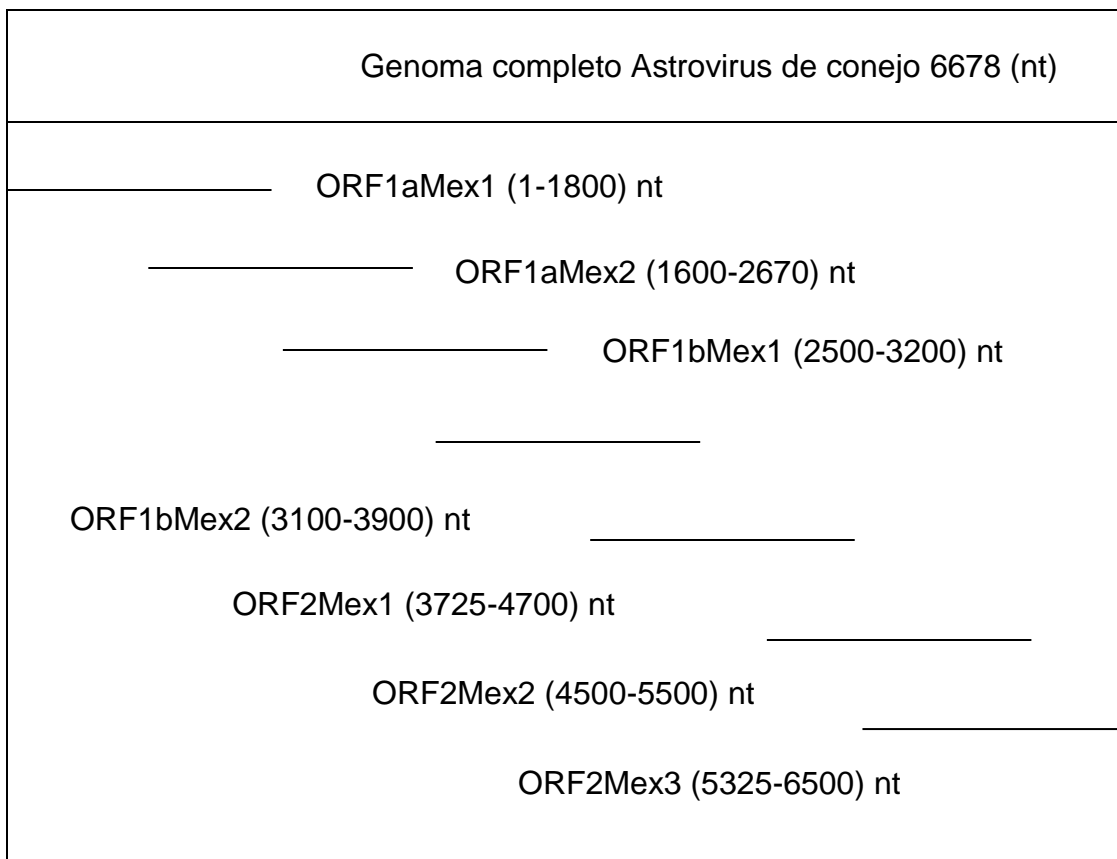


FIGURA 4. Posición de los primers diseñados y su sobrelapamiento

## PRUEBAS DE ESPECIFICIDAD

Para las prueba de especificidad de los primers realizados, se compararon contra las secuencias reportadas del genoma del conejo (*Oryctolagus cuniculus*), en la base de datos BLAST (Basic Local Alignment Search Tool), de los siete pares de primers diseñados ninguno hibrida contra alguna región del genoma del conejo, como se muestra en la tabla 2.

PRIMER	SECUENCIA	ENTRADA TEMPLADO DE PCR	ESPECIFICIDAD DEL PRIMER
PAR 1: ORF1a Mex1F ORF1a Mex1R	CCAAAGGTGGCGATGGCGGCTAGAG ACGCCTTCGGTTGTAGCAACTAGAA	Ninguno	No existe ningún templado de PCR en la base de datos BLAST, para ( <i>Oryctolagus cuniculus</i> ).
PAR 2: ORF1a Mex2F ORF1a Mex2R	GTGGTTGACGTCACATACAATGGCG CAGGAGCACTCCATTAGGGTAACC	Ninguno	No existe ningún templado de PCR en la base de datos BLAST, para ( <i>Oryctolagus cuniculus</i> ).
PAR 3: ORF1b MexF1 ORF1b MexR1	GGGTAGGGGTGCCAAGAAAAGCAGG ACCAGATGGTTGGTCCCCTCTGG	Ninguno	No existe ningún templado de PCR en la base de datos BLAST, para ( <i>Oryctolagus cuniculus</i> ).
PAR 4: ORF1b MexF2 ORF1b MexR2	GGAAAATGGTCTCGAGCCATTGTA TCAAAGCCGCCATAAAAGGGTGACC	Ninguno	No existe ningún templado de PCR en la base de datos BLAST, para ( <i>Oryctolagus cuniculus</i> ).

Par 5: ORF2 MexF1 ORF2 MexR1	AGATCCTGAAACAGGGAGAAGATCGA CATAGCTCTGTTGGTCCTCCCT	Ninguno	No existe ningún templado de PCR en la base de datos BLAST, para ( <i>Oryctolagus cuniculus</i> ).
PAR 6: ORF2 MexF2 ORF2 MexR2	GGATGTAAGTAGCCTCCATGGGAAG AGAACAGGGCGGGAGCCTCCTGCTT	Ninguno	No existe ningún templado de PCR en la base de datos BLAST, para ( <i>Oryctolagus cuniculus</i> ).
PAR 7: ORF3 MexF3 ORF3 MexR3	CCTTGGACCCACAATTGAAATCCAT TCACCAATGCAGACAGTCAACAGT	Ninguno	No existe ningún templado de PCR en la base de datos BLAST, para ( <i>Oryctolagus cuniculus</i> ).

Tabla 2. Prueba de especificidad de primers para Astrovirus en comparación con el genoma de conejo (*Oryctolagus cuniculus*) (NCBI, 2014).

Las pruebas de especificidad de los primers realizados, se compararon contra las secuencias reportadas del genoma de virus tipo RNA de cadena sencilla en la base de datos BLAST (Basic Local Alignment Search Tool), de los siete pares de primers diseñados ninguno hibrida contra alguna región del genoma de los virus reportados, como se muestra en la tabla 3.

PRIMER	SECUENCIA	ENTRADA TEMPLADO DE PCR	ESPECIFICIDAD DEL PRIMER
PAR 1: ORF1a Mex1F ORF1a Mex1R	CCAAAGGTGGCGATGGCGGCTAGAG ACGCCTTCGGTTGTAGCAACTAGAA	Ninguno	No existe ningún templado de PCR en la base de datos BLAST, para virus RNA cadena sencilla

PAR 2: ORF1a Mex2F ORF1a Mex2R	GTGGTTGACGTCACATACAATGGCG CAGGAGCACTCCATTAGGGTAACC	Ninguno	No existe ningún templado de PCR en la base de datos BLAST, para virus RNA cadena sencilla
PAR 3: ORF1b MexF1 ORF1b MexR1	GGGTAGGGGTGCCAAGAAAAGCAGG ACCAAGATGGTTGGTCCCCTCTGG	Ninguno	No existe ningún templado de PCR en la base de datos BLAST, para virus RNA cadena sencilla
PAR 4: ORF1b MexF2 ORF1b MexR2	GGAAAATGGTCTCGAGCCATTGTA TCAAAGCCGCCATAAAAGGGTGACC	Ninguno	No existe ningún templado de PCR en la base de datos BLAST, para virus RNA cadena sencilla
PAR 5: ORF2 MexF1 ORF2 MexR1	AGATCCTGAAACAGGAGAAGATCGA CATAGCTCTGTTTGGTCCTCCCCT5	Ninguno	No existe ningún templado de PCR en la base de datos BLAST, para virus RNA cadena sencilla
PAR 6: ORF2 MexF2 ORF2 MexR2	GGATGTAAGTAGCCTCCATGGGAAG AGAAGAGGCGGGAGCCTCCTGCTT	Ninguno	No existe ningún templado de PCR en la base de datos BLAST, para virus RNA cadena sencilla
PAR 7: ORF3 MexF3 ORF3 MexR3	CCTTGGACCCACAATTGAAATCCAT TCACCAATGCAGACAGTCAACAAAGT	Ninguno	No existe ningún templado de PCR en la base de datos BLAST, para virus RNA cadena sencilla

Tabla 3. Prueba de especificidad de primers para Astrovirus en comparación con virus RNA de cadena sencilla (NCBI, 2014).

Las pruebas de especificidad de los primers realizados, se compararon contra las secuencias reportadas de bacterias en la base de datos BLAST (Basic Local Alignment Search Tool), de los siete pares de primers diseñados ninguno hibrida

contra alguna región del genoma de otras bacterias reportadas, como se muestra en la tabla 4.

PRIMER	SECUENCIA	ENTRADA TEMPLADO DE PCR	ESPECIFICIDAD DEL PRIMER
PAR 1: ORF1a Mex1F ORF1a Mex1R	CCAAAGGTGGCGATGGCGGCTAGAG ACGCCTCGGTTAGCAACTAGAA	Ninguno	No existe ningún templado de PCR en la base de datos BLAST, para bacterias
PAR 2: ORF1a Mex2F ORF1a Mex2R	GTGGTTGACGTCACATACAATGGCG CAGGAGCACTCCATTAGGGTAACC	Ninguno	No existe ningún templado de PCR en la base de datos BLAST, para bacterias
PAR 3: ORF1b MexF1 ORF1b MexR1	GGGTAGGGGTGCCAAGAAAAGCAGG ACCAGATGGTTGGTCCCCTCTGG	Ninguno	No existe ningún templado de PCR en la base de datos BLAST, para bacterias
PAR 4: ORF1b MexF2 ORF1b MexR2	GGAAAATGGTCTCGAGCCATTGTA TCAAAGCCGCCATAAAAGGGTGACC	Ninguno	No existe ningún templado de PCR en la base de datos BLAST, para bacterias
PAR 5: ORF2 MexF1 ORF2 MexR1	AGATCCTGAAACAGGAGAAGATCGA CATAGCTCTGTTGGTCCTCCCCT5	Ninguno	No existe ningún templado de PCR en la base de datos BLAST, para bacterias
PAR 6: ORF2 MexF2 ORF2 MexR2	GGATGTAAGTAGCCTCCATGGGAAG AGAAGAGGCAGGAGCCTCCTGCTTT	Ninguno	No existe ningún templado de PCR en la base de datos BLAST, para bacterias

PAR 7: ORF3 MexF3 ORF3 MexR3	CCTTGGACCCACAATTGAAATCCAT TCACCAATGCAGACAGTCAACAAGT	Ninguno	No existe ningún templado de PCR en la base de datos BLAST, para bacterias
--	--	---------	--

Tabla 4. Prueba de especificidad de primers para Astrovirus en comparación con bacterias (NCBI, 2014).

Las pruebas de especificidad de los primers realizados, se compararon contra las secuencias reportadas de protozoarios en la base de datos BLAST (Basic Local Alignment Search Tool), de los siete pares de primers diseñados ninguno hibrida contra alguna región de otros protozoarios reportados, como se muestra en la tabla 5.

PRIMER	SECUENCIA	ENTRADA TEMPLADO DE PCR	ESPECIFICIDAD DEL PRIMER
PAR 1: ORF1a Mex1F ORF1a Mex1R	CCAAAGGTGGCGATGGCGGCTAGAG ACGCCTTCGGTTGTAGCAACTAGAA	Ninguno	No existe ningún templado de PCR en la base de datos BLAST, para protozoarios
PAR 2: ORF1a Mex2F ORF1a Mex2R	GTTGGTGACGTCACATACAATGGCG CAGGAGCACTCCATTCAAGGGTAACC	Ninguno	No existe ningún templado de PCR en la base de datos BLAST, para protozoarios
PAR 3: ORF1b MexF1 ORF1b MexR1	GGGTAGGGGTGCCAAGAAAAGCAGG ACCAGATGGTTGGTCCCCTCTGG	Ninguno	No existe ningún templado de PCR en la base de datos BLAST, para protozoarios
PAR 4: ORF1b MexF2 ORF1b MexR2	GGAAAATGGTCTCGAGCCATTGTA TCAAAGCCGCCATAAAAGGGTGACC	Ninguno	No existe ningún templado de PCR en la base de datos BLAST, para protozoarios

PAR 5: ORF2 MexF1 ORF2 MexR1	AGATCCTGAAACAGGAGAAGATCGA CATAGCTCTGTTGGTCCTCCCCT5	Ninguno	No existe ningún templado de PCR en la base de datos BLAST, para protozoarios
PAR 6: ORF2 MexF2 ORF2 MexR2	GGATGTAAGTAGCCTCCATGGGAAG AGAAGAGGCAGGGAGCCTCCTGCTT	Ninguno	No existe ningún templado de PCR en la base de datos BLAST, para protozoarios
PAR 7: ORF3 MexF3 ORF3 MexR3	CCTGGACCCACAATTGAAATCCAT TCACCAATGCAGACAGTCAACAAAGT	Ninguno	No existe ningún templado de PCR en la base de datos BLAST, para protozoarios

Tabla 5. Prueba de especificidad de primers para Astrovirus en comparación con protozoarios (NCBI, 2014).

Se realizó el diseño de primers para Astrovirus en conejos a partir de 97,720 nucleótidos de 14 genomas completos de Astrovirus reportados para otras especies, lo que permitió identificar 4,630 sitios conservados a partir de los cuales fue posible diseñar siete pares de iniciadores, es importante señalar que estos tuvieron una especificidad del 100% al no tener compatibilidad con ningún otro organismo reportado.

La especificidad de los primers pudo ser corroborada al contrastarlos con 9,986 secuencias reportadas para el genoma de conejo, para virus tipo RNA cadena sencilla fueron 439,488 secuencias, para protozoarios 1,295,078 secuencias y bacterias 1,100,087 secuencias, por lo que en total la comparación de los primers diseñados se realizó contra 2,844,639 secuencias a nivel mundial.

## 9. DISCUSIÓN

Astrovirus es una de las principales causas de gastroenteritis víricas en conejos, aunque existen otros agentes patógenos que se relacionan con la infección por Astrovirus como lo son coccidias del género *Eimeria* spp y virus de cadena sencilla como Calicivirus (Stenglein *et al.*, 2012). Dadas éstas relaciones, en nuestro trabajo contrastamos 1,295,078 secuencias de protozoarios y 439,488 secuencias de virus cadena sencilla sin encontrar ninguna secuencia similar a la de los primers diseñados, logrando demostrar que nuestros primers no hibridan con este género y con ningún otro protozoo o virus.

Otro estudio (Martella *et al.*, 2011), muestra la infección por Astrovirus en combinación con bacterias como *Escherichia coli* y *Salmonella* spp, en un 79% de los casos; se contrastaron 1,100,087 secuencias y de igual forma no existe ninguna hibridación con nuestros primers.

Para Astrovirus la especificidad encontrada es del 100% para los primers diseñados, en contraste con los primers reportados por (Martella *et al.*, 2011) que tienen de 91.9% a 96.6% de especificidad comparado en BLAST, seguido de la secuencia para Astrovirus del león marino que presenta de 69% a 71.3% de especificidad y para (Stenglein *et al.*, 2012), su especificidad para las regiones de Astrovirus ORF1B y 2 es de 92%.

## **10. CONCLUSIONES**

Se lograron diseñar siete pares de primers para la amplificación del genoma completo de Astrovirus en conejos a partir de secuencias reportadas a nivel mundial de las diversas especies domesticas y su alineación. Se comprobó su especificidad de cada uno de los pares de primers y sus regiones ante: virus tipo RNA cadena sencilla, bacterias, protozoarios y conejo, logrando comprobar que los primers no tenian ningún tipo de compatibilidad con algún otro microorganismo, manifestando alto nivel de especificidad al genoma de Astrovirus en conejos.

Es necesario completar más pruebas, como la técnica de PCR para comprobar la eficacia al 100% de los primers diseñados, sin embargo dichos primers cumplen con las características idóneas para tener un desempeño exitoso en la amplificación del genoma completo de Astrovirus.

## **11. SUGERENCIAS**

Se sugiere el implementar investigación en el área de diagnóstico molecular, ya que en México no existen reportes al menos para lo que aplica en Astrovirus en conejos y a nivel mundial es muy escasa.

Implementar el uso de bioinformática y bancos de datos para análisis de proyectos, iniciación y completo de los mismos.

Probar mediante la reacción de PCR los iniciadores aquí diseñados para la amplificación de Astrovirus en conejos.

## 12. BIBLIOGRAFÍA

- Ávila, M., Rodríguez, M. M., Díaz, A. H., Barrera, B. M., 2008. Diagnóstico virológico de herpesvirus bovino tipo 1. REDVET. 17 (1) : 4.
- Bar, S., Daeffler, L., Rommealere, J., Nuesch F. P. J., 2008. Vesicular egress of non-enveloped lytic parvoviruses depends on gelsolin functioning. PLOS Pathogens. 11 (1) : 2.
- Buck, C. B., Phan, G. Q., Raiji, M. T., Murphy, P, M., McDermott, D. H., McBride, A ., 2012. Complete genome sequence of a tenth human Polyomavirus. Virology Journal. 3 (1) : 1.
- Cann, J. A., 2005. Principios de virología molecular. Edit. Elsevier INC 200. 300 (4) : 146-148, 86-87.
- Carter, G. R., Wise, D. J., Flores, E. F., 2005. Virología veterinaria. International Veterinary Information Service. 217 (8) : 3-8,23-25.
- Claverie, J., Ogata, H., Audic, S., Abergel, C., Suhre, K., Fournier, P., 2006. Mimivirus and the emerging concept of “giant” virus. Virus research. 117 (11): 133-144.
- Chen, C. H., Chu, W. K. D., Liu, W. E., Qing, D. B., Yin, Z. S., Xia, Z.J., Feng, L. L., Vijaykrishna, D., Smith, D. J. D., Lin, C. H., Poon, L. M .L., Malik, P. S. J., 2009. Detection of diverse astroviruses from bats in China. Journal of general Virology. 5 (1) : 1.
- Coltell, O., Arregu, M., Fabregat, A., Portoles, O., 2008. La Bioinformática en la práctica médica: Integración de datos biológicos y clínicos. Revista Médica de Chile. 8 (3): 646-648.
- Costa, J., 2004. Reacción en Cadena de la Polimerasa PCR a tiempo real. Enfermedades Infecciosas y Microbiología Clínica. 10 (3): 4-6.

Cruz, G. L. J., Sola, I., Becares, M., Alberca, B., Plana, J., Enjuanes, L., Zuñiga, S., 2011. Coronavirus gene 7 counteracts host defenses and modulates virus virulence. PLOS Pathogens. 25 (2) : 1-2.

Deepak, S. A., Kottapalli, R. K., Rakwal, R., Oros, G., Rangappa, K. S., Iwahashi, H., Masuo, Y., Agrawal, K. G., 2007. Real-Time PCR: Revolutionizing Detection and Expression Analysis of Genes. Current Genomics. 18 (1) : 3.

Everet, D. R., 2013. The spatial organization of ADN virus genomes in the nucleus. PLOS Pathogens. 3 (1) : 1.

Fatumo, A. S., Adoga, P. M., Ojo, O. O., Oluwagbemis, T. A., Ewejobis, I., Adebiyi, M., Bewaji, C., Nashuri, O., 2014. Computational Biology and bioinformatics in Nigera. PLOS Pathogens. 7 (3) : 2-4.

Galluzzi, L., Brenner, C., Morselli, E., Touat, Z., Kroemer, G., 2008. Viral control of Mitochondrial Apoptosis. PLOS Pathogens. 16 (4) : 1-4.

Gao, F., Wang, P. Y., Mao, Y. Q., Yao, X., Liu, S., Li, X. F., Zhu, C. F., Yang, Y. F., Liang, L. Z., Lu, M. F., Wang, Z. G., 2012. Enterovirus 71 viral capsid protein linear epitopes: Identification and characterizacion. Virology Journal. 7 (1) : 1.

Gaynor, A. M., Nissen, M. D., Whiley, D. M., Mackay, I. M., Lambert, S. B., Wu, G., Brennan, D. C., Storch, G. A., Sloots, T. P., Wang, D., 2007. Identification of a novel Polyomavirus from patients with acute respiratory track infections. PLOS Pathogens. 10 (1) : 1.

Grabowska, A. D., Wywiat, E., Dunin, H. S., Lasica, A. M., Wosten, M. M., Nagy, S. A., Godlewska, R., Bocian, O. K., Pienkowska, K., Laniewski, P., Bujnicki, J. M., Putten, J. P. V., Jaguszyn, K. E. K., 2014. Functional and Bioinformatics Analysis of two *Campylobacter jejuni* homologs of the Thiol-Disulfide Oxidoreductose DsbA. PLOS Pathogens. 10 (1) : 2.

Gibbs, A. J., 2013. Viral taxonomy needs a spring clean; its exploration era is over. *Virology Journals.* 7 (1) : 2.

Grenninger, L. A., Runckel, C., Chiu, Y. C., Haggerty, E., Parssonet, J., Ganem, D., DeRisi, L. G., 2009. The complete genome of klassevirus a novel picornavirus in pediatric stool. *Virology Journal.* 9 (2) : 1-2.

Gu, J., Zhang, X., Lian, X., Sun, H., Wang, J., Liu, W., Meng, G., Li, P., Zhu, D., Jin, Y., Cao, R., 2012. Functional analysis of the interferon-stimulated response element of porcine circovirus type 2 and its role during viral replication in vitro and in vivo. *Virology Journal.* 10 (1) :1.

Guan, J., Wen, B., Deng, Y., Zhang, K., Chen, H., Wu, X., Ruan, L., Tan, W., 2011. Effect of route of delivery on heterologous protection against HCV induced by an adenovirus vector carrying HCV structural genes. *Virology Journal.* 9 (1) : 2.

Guix, A. S., 2003. La proteína NPS1/A y el ciclo biológico de astrovirus aplicación en biología molecular. Universidad de Barcelona. 137 (2) :7 y 21.

Gunther, T., Grundhoff, A., 2010. The epigenetic landscape of latent kaposi sarcoma – associated Herpesvirus genomes. *PLOS Pathogens.* 19 (1) : 1.

Herrero, U. L., 2011. Viruses , definitions and reality. *Revista de Biología Tropical.* 7 (1) : 3.

Hoffman, B., Beer, M., Reid, M. Scott., Mertens, P., Oura., L. A. Chris., Van, R. A. P., Marek, J. S., Banks, J., Brown, H. L., Alexander, J. M., King, P. D., 2009. A review of RT-PCR technologies used in veterinary virology and disease control: Sensitive and specific diagnosis of five livestock diseases notifiable to the World Organisation for Animal Health. *ELSEVIER.* 23 (4) : 3-5,10.

<http://www.ncbi.nlm.nih.gov/> National Center for Biotechnology Information

Huanyu, W., Haiyan, W., Shilhong, F., Guifang, L., Hong, L., Xioyan, G., Lizhy, Rayner, S., Aiquiang, X., Guodong, L., 2012. Isolation and identification of distinct

strain of culex flavivirus from mosquitoes collected Mainland China. Virology Journal. 8 (1) : 1.

Hunt, M., 2010. Basic virology: Definitions, classification, Morphology and Chemistry. Microbiology (5th ed.).

Hyun, J. K., Accurso, C., Hijnen, M., Schult, P., Pettikiriariachchi, A., Mitra, A. K., Coulibaly, F., 2011. Membrane remodeling by the doublé – barrel scaffolding protein of poxvirus. PLOS Pathogens. 14 (1) : 1.

Johne, R., Buck, B. G., Allander, T., Atwood, W. J., Garcea, R. L., Impereale, L. J., Major, O. E., Ramqvist, T., Norkin, L. C., 2011. Taxonomical developments in the family Polyomaviridae. Arch virol. 13 (1) : 2

King, M. Q. A., Adams, J. M., Carstens, B. E., Lefkowitz, J. E., 2011. Virus taxonomy. Elsevier Inc. 1327 (1) : 334.

Kopek, G. B., Perkins, G., Miller, J. D., Ellisman, H. M., Ahlquist, P., 2007. Three dimensional Analysis of viral RNA replication complex reveals of virus induced mini-organelle. PLOS Pathogens. 13 (2) : 1-2.

Kulshreshtha, V., Kibenge, M., Salonius, k., Simard, N., Riverol, A., Kibenge, F., 2010. Identification of the 3 prima 5 prima terminal sequences of the 8 RNA genome segments of European and North American genotypes of infectius salmon anemia virus (an Orthomyxovirus) and evidence for quasispecies bsed on the no-coding sequences of transcripts. Virology Journal. 19 (1) : 2

Krumm, B., Meng, X., Wang, Z., Xiang, Y., Deng, J., 2012. A unique bivalent binding a inhibition mechanism by Yatapoxvirus interleukin 18 binding protein. PLOS Pathogens. 15 (1) : 1.

Krupovic, M., Forterre, P., 2011. Microviridae goes températ: microvirus-related proviruses reside in the genomes of bacteroidetes. PLOS Phatogens. 9 (1) : 1.

Lam, E., Stein, S., Pedersen, F. E., 2013. Adenovirus detection by the cGas/STING/TBK1 DNA sensing cascade. *Virology Journal*. 1 (1) : 1.

Lee, J. I., Sollar, P. J., Baver, S. B., Pickard, G. E., Leelawong, M., Smith, G. A., 2009. A Herpesvirus encoded deubiquinase is a novel neuroinvasive determinant. *PLOS Phatogens*. 10 (1) : 1.

Li, J., Zhang, Q., Wang, T., Li, C., Liang, M., Li, D., 2010. Tracking hantavirus nucleocapsid protein using intracellular antibodies. *Virology Journals*. 8 (1) : 1.

Li, L., Pasevento, A. P., Leutenegger, M. C., Estrada, M., Coffey L. L., Naccache, N. S., Samayo, E., Chiu, C., Qiu, J., Wang, C., Deng, X., Delwart, E., 2013. A novel bocavirus in canine liver. *Virology Journal*. 4 (1) : 2.

Li, P., Zhao, Z., Wang, Y., Xing, H., Parker, M. D., Yang, Z., Baurn, E., Li, W., Sattabong, J., Sirichaisinthop, J., Li, S., Yan, G., Cui, L., Fan, Q., 2012. Nested PCR detection of malaria directly blood filter paper samples from epidemiological surveys. *Malaria Journal*. 1(6) : 1.

Maluquer, M. C., Hundesa, A., Almeida, F. C., Bofill, M. S., Girones, R., 2011. Isolation of novel monkey adenovirus reveals a new phylogenetic clade in the evolutionary history of simian adenoviruses. *Virology Journal*. 8 (1) : 1.

Mansur, S. D., Maluquer, M. C., Untehozner, L., Sumner, P. R., Ferguson, J. B., Ren, H., Strnadova, P., Bowie, G. A., Smith, L. G., 2013. Poxivirus targeting of L3 ligase Beta – TrCP by molecular mimicry: A mechanism to inhibit NF-KB activation and promote immune evasion and virulence. *PLOS Pathogens*. 14 (1) : 1.

Martella, V., Moschidou, P., Pinto, P., Catella, C., Dessario, C., Larocca, V., Circella, E., Banyai, K., Lavazza, A., Magistrali, C., Decaro, N., Buonavoglia, C., 2011. Astroviruses in rabbits. *Emerging Infectious Diseases*. 11 (2) : 2-3.

Martinez, F. F., Jimenez, O. A. F., Villegas, C. H., 2006. Biología molecular de los vectores adenovirales. *REDALYC*. 12 (3) : 3-6.

Masroor, A. M., Khusrhid, A., Suleman, R. M., Shaukat, S., Sharif, S., Angez, M., Naeem, N., Zahoor, Z. S. S., 2013. Serotype diversity of astroviruses in Rawalpindi, Pakistan during 2009-2010. PLOS Pathogens. 8 (2) : 1-2.

Mattar, S., Puerta, H., Cantillo, C., Peña, Jose., 2007. Hantavirus y otros virus hemorrágicos. REDALYC. 21 (1) : 6.

Méndez, A. S., Pérez, R. E., 2004. La PCR múltiple en microbiología clínica. Laboratorio de Biología Molecular, Unidad de Investigación, Hospital Universitario Nuestra Señora de Candelaria. Santa Cruz de Tenerife, España. 9 (1) : 3.

Moser, L. A., Carter, M., Schultz, C. S., 2007. Astrovirus increases epithelial barrier permeability independently of viral replication. Journal of virology. 81-21.

Milho, R., Fredreric, E., Efstratiou, Stacey., Stevenson F. G., 2012. A Heparan depent herpesvirus target the olfactory neuroepithelium for host entry. PLOS Pathogens. 40 (1) : 1.

Montassier, J. H., 2010. Molecular epidemiology and evolution of avian infectious bronchitis virus. Revista Brasileira de Ciencia Avícola. 11 (3) : 1-3.

Morais, T. A., Terzian, C. A., Duarte, V. D., Bronzoni, B. R., Madrid, C. M., Gavioli, F. A., Gil, H. L., Oliveira, G. A., Zanelli, F. C., Valentini, R. S., Rahal, P., Nogueira, L. M., 2013. The eukaryotic traslation initiation factor 3 subunit L protein interacts with Flavivirus NS5 and may modulate yellow fever virus replication. Virology journal. 30 (2) : 4-5.

Morin, B., Coutard, B., Lelke, M., Ferron, F., Kerber, R., Jamal, S., Frangeul, A., Baronti, C., Charrel, R., Lamballerie, D. X., Vonrhein, C., Lescar, J., Bricogne, J., Canard, B., 2010. The N-Terminal domain of Arenavirus L protein is an RNA endonuclease essential for mRNA transcription. PLOS Pathogens. 45 (3) : 3-5.

Moser, S. T., Johnes, G. R., Thompson, B. C., Coyne, B. C., Sherry, S., 2010. The N-Terminal domain of Arenavirus L protein is an RNA endonuclease essential in RNA transcription. PLOS Pathogens. 15 (1) : 1.

Narvaiza, I., Linfesty C. D., Greener, N. B., Hakata, Y., Pintel, J. D., Logue, E., Landau, N. R., Weitzman, D. M., 2009. Deaminase –independent inhibition of parvoviruses by the APOBEC3A cytidine deaminase. *PLOS Pathogens*. 14 (2) : 1.

Nchoutmboube, A. J., Viktorova, E. G., Scott, J. A., Ford, A. L., Pei, Z., Waitkins, A. P., Ernst, K. R., Belov, A. G., 2013. Increased long chain acyl-coa synthetase activity and fatty acid import is linked to membrane synthesis for development of Picornavirus replication organelles. *PLOS Pathogens*. 53 (3) : 2-4.

Nie, J. J., Xia, S. K., Li, Jie., Wang, J., Jin, Hui., Wang, L., Min, L. F., Li, T., Yan, Ling., Y, Xian, Y. X., Sun, S. M., Zhuang, H., 2012. A type-specific nested PCR assay established and applied for investigation of HBV genotype and subgenotypes in Chinese patients with chronic HBV infection. *Virology Journal*. 9 (1): 2.

Obando, C., Hidalgo, M., Montoya, Y., Boyer, L., Bracamonte, M., Conde, F., Garzaro, M., 2010. Identificación molecular de una cepa de herpesvirus bovino tipo 2 en Venezuela. *REDALYC*. 6 (1) : 2.

Orraca, C. O., Gonzalez, V. L., Casanova, M. C., Guerra V. D., Sanabria N. J., 2011. Inmunopatología de la influenza A H1 N1. *REDVET*. 14 (7) : 6-13.

Oldstone, , B. A. M., 2009. Anatomy of viral persistence. *PLOS Pathogens*. 4 (2) : 1-2.

Patel, P., Landt, O., Kaiser, M., Faye, O., Koope, T., Lass, U., Sall, A. A., Niedrig, M., 2013. Development of one step quantitative reverse transcription PCR for the rapid detection of flaviviruses. *Virology Journal*. 11 (2) : 1-2.

Phanstiel, D. H., Boyle, P. A., Araya, L. C., Snyder, P. M., 2014. Flexible, quantitative and integrative genomic visualizations for publication-quality multi-panel figures. 3 (1) : 2008.

Plemper, K. R., Brindley, A. M., Lorio, M. R., 2011. Structural and mechanistic studies of easles virus illuminate Paramyxovirus entry. PLOS Pathogens. 6 (2) : 1-2.

Porwal, M., Kohen, S., Snoussi, K., Popa, W. R., Anderson, F., Dugot, S. N., Wodrich, H., Dinsart, H., Kleinschmidt, A. J., Pante, N., Kann, M., 2013. Parvoviruses cause nuclear envelope breakdown by activating key enzymes of mitosis. PLOS Pathogens. 16 (1) : 2.

Pujol, H. F., 2006. Virus en primates no humanos, zoonosis, antroponosis y biodiversidad. Interciencia. 8 (1) : 2.

Rivera, R., Nollens, H. H., Venn, W. S., Gulland, D. M. F., Wellehan, X. F. J., Jr., 2009. Characterization of phylogenetically diverse astroviruses of marine mammals. 8 (1) : 1.

Rodas, D. J., Salvato, S. M., 2006. Tales of mice and men: Natural history of Arenoviruses. Revista Colombiana de Ciencias Pecuarias. 20 (1) : 1.

Rodríguez, G. M., Rodríguez, L. W., 2006. PCR en tiempo real. IBT-UNAM. 55 (5): 6-7,14-17.

Roux, S., Krupovic, M., Poulet, A., Debroas, D., Enault, F., 2012. Evolution and diversity of the Microviridae viral family through a collection of 81 new complete genomes assembled from birome reads. PLOS Pathogens. 12 (1) : 2.

Sawicky, G. S., Sawicky, D. L., Younker, D., Meyer, Y., Thiel, V., Stokes, H., Sidell, G. S., 2005. Functional and genetic analysis of Coronavirus replicase – transcriptase protein. PLOS Pathogens. 13 (3) : 1-3.

Siebrasse, E. A., Reyes, A., Lim, E. S., Zhao, E. G., Mkakosya, R. S., Manary, M. J., Gordon, J. I., Wang, D., 2012. Identification of MW Polyomavirus, a novel Polyomavirus in human stool. Journal of Virology. 14 (2) : 1-2.

Somma, S., Querci, M., 2006. Reacción en Cadena de la Polimerasa. European Comission. 34 (3): 8-10.

Stenglein, D. M., Velazquez, E., Greenacre, C., Wilkes, P.R., Ruby, G. J., Lankton, S. J., Ganem, D., Kennedy A. M., Derissi L. J., 2012. Complete genome sequense of an astrovirus identified in a domestic rabbit (*Oryctolagus cuniculus*) with gastroenteritis. Virology journal. 27 (2) : 2-3.

Suarez, A. L., Faye, V. D. L., 2008. Endothelial cells support persitent Gammaparvovirus 68 infection. 16 (1) : 1.

Tao, J. H., Ye, Q., 2010. RNA virus replication complexes. PLOS Pathogens. 3 (2) : 1.

Vargas, S. D., Jaime, J., Vera, J. B., 2009. Perspectivas para el control del virus de la diarrea viral bovina. REDALYC. 13 (1) : 3.

Vinueza, B. C., 2009. PCR en tiempo real: la nueva era de la información genética celular. REDVET. 15 (3) : 3-6.

Workenhe, T. S., Kibenge, J. M., Wright, M. G., Wadowska, W. D., Groman, B. D., Kibenge, S. F., 2008. Infectiuos salmon anaemia virus replication and induction of alpha interferon in Atlantic salmon erythrocites. Virology Journal. 12 (2) :2-3.

Wozniakowski, G., Kozdrun, W., Samorek, S. E., 2012. Loop-mediated for the detection of goose circovirus. Virology Journal. 11 (2) :2-3.

Wu, B., Grigull, J., Ore, O. M., Morin, S., White, A. K., 2013. Global organization of a positive strand RNA virus genome. 15 (1) : 1.

Yadav, D. P., Mishra, C. A., Mourya, T. D., 2008. Molecular characterization of umbre virus (Bunyaviridae). Virology Journal. 4 (1) : 4.

Ye, J., Coulouris, G., Zaretskaya, I., Cutcutache, I., Rozen, S., Madden, L. T., 2013. Primer-BLAST: A tool to design target- specific primers for polymerase chain reaction. PLOS Pathogens. 11 (3) : 1-3.

Yeh, C. L., Huei, C. Y., Hong, Y. C., 2012. Specific primer design for the polymerase chain reaction. Biotechnol Lett. 9 (3) : 3-5.

Yu, B., Wang, Z., Dong, J., Wang, C., Gu, L., Sun, C., Kong, W., Yu, X., 2012. A serological survey of human adenovirus serotype 2 and 5 circulating pediatric populations in Changchun, China, 2011. Virology Journal. 5 (1) : 1.

Yu, M. J., Li, Y. X., Ao, Y. Y., Li, L. L., Li, N., Li, S. J., Dan, J. Z., 2013. Identification a novel picornavirus in healthy piglets and seroepidemiological evidence of its presence in humans. PLOS Phatogens. 9 (1) : 1

Zheng, W., Olson, J., Vakharia, V., Tao, J. Y., 2013. The crystal structure and RNA binding of an Orthomyxovirus nucleoprotein. PLOS Phatogens. 10 (1) : 1.

Zimmer, C., 2006. Did DNA come from viruses?. Science news. 312, 870-872.

## 13. ANEXOS

### 13.1 SECUENCIAS DE GENOMAS COMPLETOS DE ASTROVIRUS REPORTADAS MUNDIALMENTE POR ESPECIE.

> Astrovirus genome in rabbits. Num. access in GenBank : JF729316.1

CCAAAGGTGGCGATGGCGGCTAGAGCCGCCAGAGAGCCTATTACACTCTCCAGCTGATGAGGCCCTTG  
GCCTTGGCAACCCCAAGGCCAGGCCGGATCCTCAGGCCGGCATCCGCCAGTCAGGGAAATCTAAAAAA  
GATCTTCCCTGACCCCATTCTCTAGCCATTGGCTATCCATTACGTGGTACTATTGCCGACTACAGGT  
TTCCAACGTGAATTCTGCGTCTGGAGTTGCGCGATGTGTACCGCACCTACGTTTGGATGTTGCT  
CTGGTTCAGAGGATTGGGTTGAGTCCCCGCTGAAGAAGACCAAACCACGGCTTTTCCGGCAGCTCGT  
CTGTCACCATGAGCGTGTAAAAGCTAAACCGTGGACTTCGCAATGATCTGCTTCATCCAATCTTCGG  
GAAGAACCTACGCGGTGAACTTGCTCGCTTGAGACGTGAAGATCAGCCCTCGACCACCCGGGCTTACT  
ATTCTTGAAGATCATGTGGATCATGTTCAAGATAGTGGCCCTGTCCTTACTCTTGGTATGATTTCA  
TCACGCTAGCGCGAACAAACATCACACCCCCCTGCCAAGGCCAGCCGTGAGGGTTGGTTAACGT  
GCCTGGTTCGGTGAGTACAGGGATTGGCACAGGACCGTCACTGCTAAGCTCGCTACGGCTACGTTGAGA  
AGGACAGAGCTTAGATGATGCTAGCGAAGCTGCTGAAGAGTTAGGACAAAAGCTGAAGCCTACCGGGA  
AGCCGGTAAGAAGGTCGACCAAACTTAGGCGAGATGTGGTCAATAGACTGGTACAAGAGGATCATGACT  
TTCCTTGAGTGGCGCGGGTCCCAATGACCATTGGATTACCTACAGCTCGGATGCTGAGTCATCT  
TACCTGAGGTCCCCCTGGTGGGCCCTCGTCGCGACAAGTCTGCTGTGGCGTACCTTCAAGGATCTGCA  
CCCGCTTGCCTCGCCTTCTCGTATGGCGACCATGACCAAATGAAGTTGCCGCTTGACTGTA  
ACTCCTTCCTGAATCAGGTAACGACTATCAGTTCTAATTATCGAACAGTCTATTAGACCCAG  
TAATTGGCATCTTGCCTGCGCTCGTCCGATAATTGCTCTAGTCTGTTACGCCATGTGGAAGGCCATAGATG  
TGATTGGCGCCAGATGGTCTTGGACACGCAGTCACTGATTACATTGTGCGTGGTAGTTGCCACTTGCGAT  
CTTTTCCGGCTTGGATCTAACGCCGTTGCCGCGGCTCCTTGTGTTACGCCATGTGGAAGGCCATAGATG  
GCTTCGGTGCTCAGACTGTTGAGTTAGGGACTCTACAGGGAAAGGTTATTGCCAAAACATCAAATGTTCC  
AAATTGGCTCTGGAAATTGGCAGAGCGCGTTCAGAGCCAAGCAGAAGTTGAGGCAGAAGTTGAGGAAC  
ACCGTTGCACCATTGTGCGCGTTGCCAGAATCACTCTGACTGTCACCGCAGGGACTCCAAAGGGA  
CTGGCTTAGGTGTTGGCAACGACATAGTAACGACTGCTAACGATGTTGCTGGCTTAAGGTGGTGCAGT  
CACATACAATGGCGCGACTTACCAAGCTGGATACGGCTTGAGCTTGAGAAGGACATTGCTCTTAAAG  
CTCCCTCCCCAACTCAAACATGCCAGCCTCAAGATTCAAAACCCGCTATGACACCATAACGA  
TAGTTGCTCGTGACGGTGTGGAATTCTAGTTGCTACAACCGAAGGCGTCTGCCATGGGACACCATATC  
TTATGCCCTGCTACTCGGGATGGCATGAGTGGTGTGCTCTGTGGTGACATTAATGCCATGTCCTTGGG  
GTACATCAGACCAACACAGGCTACACTGGCGCGCGTTGTTGACTCAGGTGGATGTTCAGCCTGTCA  
GTCAGAAGGAGCTTGAGCTCTAGAGCTCGAAACAAACCGAGGCCCTAACGAGCTCGCTGACT  
GCTAGCCGGTAAGAACCTGCCTGTGGAATCTCCAGTCCTCAATCAGAGAGGCCAATCCTGTGGTTGTT  
TTGCCAGACCCCTGTGCCTGAACCAGCCAAAATAGTCGCCCCACAGTTACCTGAGGACCTACGGCGACTTA  
ATGAAGAGATCAATAAGATGGCAGCAAAAGTGAGACAATCCTCCGTAGGATGGATGATTTGGTCAGGC



TTGGCTCCTCCGCTTTCAAGGTACTGCTGTCAGAGCTTCCCTCAATTGACATCGACCCCTGGCTCAAC  
 TTCATGGTCCGGACTTGGCGCTCGCGTTCACCGCGATGTCAATGTCGGCAGTCTGGCATTAAAGCTT  
 GCCAGAAAACAGCTCGCTGCCCTCGTGAGTCCTGGCTACTAATAACAAATGATGACAAAACCCAGT  
 CCCTGGACCCACAATTGAAATCCATTCTGGGCCAGACAGTTCCACCTATCAGAATAACACCATATGC  
 TGGGTCTTGTTCCTGGTGAGCTTCGTCACCTGGAAATTCGCAAACACTACCTCACCCAACCGTCATTG  
 GCAACACTGTCAAAGCAGGAGGCTCCGCCTTCTGTCACCATTGACGCTGCAACTGCTGGTGAGCCGA  
 TCACTATGACTGTACAGACGCATCGACAGTTGAGGCCCTGTCATTGCTTCGGACATGCCACTCTTC  
 CCTCTCTAGGGCTACCGGGACCTCTGTCATCTACGATCTTCAGGTTGATGCCCTGTTCCACT  
 GCAGCCAGCCTTCTCCACCTCTTGGTGGCTCTTGAGGCGGTTGGTGGTTGTGAAGCGCGTGA  
 TAACATCAAGCACTCGGCCAACACAGTGAATTTCAGATCTACGCTCTGCAGAAGATGCTGCTGCTGA  
 CCGGCCTGCACTGAACTGCCACTCAACAGAGTCTCTCAGGCGTTGACAATTCAATCAGATC  
 AATGCGCCAACACCGGCACAAGCACAGTAAGTGTGTCAGGGTCGAGTGGCAAATCCAGAACTCCAAC  
 CAGGTGACCCCTTGGCCTACTCGCTTCGGGCTTACTCCAGTCATCTACTGTCCAACACATTTAACAA  
 GAATCTAAATGGCTGGATAACAGAATCATGTGAATGCTGTGGTGGCTGTGGATCCAAGATTCCCAGGGC  
 AACTATAGTGGCCCGTCAACCAGGCTTGGTTTGACACCGCCGTCTCACAGGTACGGGTTGGTGG  
 CCCCCGACCCCTCCACCTAACCAAGAGTTTCTGTTGTCTTAGAGTTAACCTCCACCTCCAGCTCGTTGT  
 CACCCGTGATTTGCAGGCTACTTCAAGCGGGCAGCGAGATTGGCTTGGCACCCAGACAGCACTCTTC  
 ATGCTTGGCTCATGCCCTACAATCCCAGTCCATCGGACGGCTACCAACACCTACAACCTGGTGC  
 CAACCCCCGGTGCAGCCTCCACTGGCTATACATCTGGCATAACCACATTAACCAGCTCAAACCCAGGTGG  
 CGTTCACATCCCGTCTAACACCAGCTACTTGTGACTGTCTGCATTGGTGATAATATTCCACTGGCATT  
 TACCAAGATGGCAGCCAGACCATGACTTTCAAACCCCTTGCAGGTTGGTGTCAACTATGCAGTTGATG  
 TTGTTGGCTGTGGACCTCTGGCTATGGTGCCTGGTGTCTAGAGTTAACCTCCACCTCCAGCTCG  
 TGGTGAAGTGGCAGCGTGCCTCCGGGCAAGGGTCGACCTCGCACCGTTGCTCAGAGATGACCG  
 GGTGAGGAGGGTGAACCGCTGATTACTGGAGTGGTGTGAAGAACAGACTTCTTGACATCTGAGTCTG  
 AGGAAGAGGGTGACAGTGGCTATACCACGGCAACAGCGAGGAAGAAGACTGGAAAGCAGCACTGACGG  
 CGATTACATCCGGCGTGCAGCAGCTCCCTCATGGCTCGCACACCTCTGGGACTGGTTGGTGT  
 ACAGCCCCGATTCTGTTCATCCACCATCAGATGAGGTTGACTGGCATTCAACTCAGTTGAGGATGTCAA  
 CCTCCAAACACTTCGAGTTAACGATCCCTATGATGATTATCAATCGAGTCTCGTGCCTGGTCAATT  
 AGCGTTGGCGCGCAATTGACCCGGAGACTGCAGCCCATAGGGCTATGCGGGCATGCCACCCAGCT  
 TACTCCGCCATTGTTAGTCGCTTGTGATTACAATAGAGCGGAGCGGGTATGTCTAACTCGAAGCTAAAA  
 AAGAAGCTGCAGCCTACGCTTATTGCGTTTCTCGTAGGGCAATCATCCCCTAGCTCTTTCT  
 CTTCTTCCTTGGGTGTTAACATTTAAAATTTCACCATTGGTTAACAGGGAAAAAAAAAAAAAA  
 AAA

> Astrovirus genome in human. Num. access in GenBank : NC\_001943.1.

CCAAGAGGGGGGTGGTGATTGGCCTTGGCTTACAGTGTATAGATAAACATTCTGACCGTTACCAAC  
 ACAATTAAACAACATGGCATACGGTGAGCCATACTATAGCTCTAAACCTGACAAAGATTCAATTG  
 GAAGCACAATGGCACGTAGGCAGATGACACCTACTATGGTAACAAAGCTCCAAATTGTTAGGAATTG

TCCACAAGCTTATGGATCGTAAGAGGTCTGATCTTCCCACCATTGGTAAAACCTATTCACCGA  
GTTGTTGTGATTACTGGTGGGCTTGAGGATGGAACATATGGCTCATTGCATTGACGGTAAAGAGTGGG  
TAGGGATCTACCCAATAGAGCACTTAAATCTCATGTCATCTTGAAACTGATACACAAAGCCAACGCTCT  
TCAGGAGAGACTGCGTCTCTCCAAGAAGAGAAAGCCACCCCTCGCTCTGGATGTGCAATTCTAACAT  
GAAAACGTGCGATTGAAGGAGATGATCCAAAGCCAGAGCCACGGAAAATACAGATGAAGTGGATAATAA  
TGGGAGCAGTGCTTACATTCTATCTGATACCTGGGGTTATGCGCACAGCCAGACCAACAACACCAT  
ATTTACTGACATGATAGCTGCCGCAAGTACTCAACTGAGACACTAACAGAAAATCTGACCTAGAATC  
AAGCTTGCACACTAGCAAACATAACCATTAGTGATAAGCTAGATGCTGTGAGGCAAATTCTAACCTTGCT  
TTGTGCCAGAGCCATTGGTGAGAACTGTGTTCTATTATCCATTACTATGAAATGTGAAATATTT  
TATGTTTGTCTTGCTATTGGCACTGTCATGAGGAGCGCCGCCCTGGTACAGACTGGTTACACTTGCA  
ACATCCCACTTGTCGGTTAGGATGGCTGTCCTACCCACAATTCCATTACACCACATGACTTTGT  
GGTTATGAACACACTTATGGTTGTTATTATTTGACAACCTGCTAGCAATAACATTGGCAATCTTAGC  
ACCAATTCTGGCATTATCTTCTGTGCTTCATGGAAGACTCCAACATGTGAGCCAGATACTGGCCT  
ATTGCTACAGCAGTATTAATTGCTGGTGGCATGCATGTTGACACTCACAGGCACGACCACGTCTTGT  
TTGTTGTCATACTAACCTGTAGGTTCATACGTATGGCAACTGTTTCATTGGCACCAGGTCAGATCCG  
TGACGCTAATGGAAAGGTTGGCCACTGTACCAACTAGGATAAAATGTTGCATTGACTTTTCAG  
AAGCTGAAGCAGTCAGGGTGCAGTGGAGTCAGAATTGTTGTCATAAAACCAGGTGCATTATGTG  
TTATAGACACCCCTGAAGGAAAAGGGACAGGTTCTTCTGGCAATGACATAGTAACAGCAGCACATGT  
TGTGGCAATAACTTTGTAATGTGCTATGAGGTTGATGTATGAGCGAAGGTGCGGTACATG  
CCGAAAAGGATATAGCATTCTAACCTGCTGGTACCTGACCTGCATCCAACAGCAAGATTAAATTATCAA  
AGAACCCAGATTATAGTTGTCACAGTTATGGTTATGTGAATGAGGATCTGTGTTCAACCGCAGC  
AGCTATGGTCATGGCAACACTCTTCATATGCAGTTGCACTGGGAGTCGGGTGCACAGTC  
TGTGACAAATATGGTGGGTGTTAGCAGTCATCAAACAAACACTGGGTACACTGGAGGTGCTGCTATAA  
TAGACCCAGCAGACTCCATCCAGTGAAGGCCCATCTCAGGTGAAATTGCTCAAAGAGGAAATAGAGCG  
GCTAAAAGCTCAACTGAACTCTGCCACTGAGAACGCAACGACTGTAGTTACACAACACTAGTGTGCA  
CTAGAACAGAAAAGTGTGAGCGATAGTGATGTTGACCTGTCAGAACACTGCAATGGAACGTGAGATGA  
AGGTGCTGCGTGTGAAATCAATGGAATACTTGCAACCATTCTACAAAAAAAGAAAGGTAAAGACCAAGCA  
TGGTAGGGGTAGAGTCAGGCGAACCTTAGAAAAGGTGAAACTTCTTACCGAGGAAGAGTATCGAGAA  
CTCTTAGAGAAAGGTCTTGATCGTGAGACATTCTGATCTCATAGACCGCATTATTGGTGAGAGGTG  
GCTACCTGACTATGATGATGAAGATTACTATGATGAAGATGATGATGGCTGGGAATGGTTGGTGTG  
TGTAGAATTGATTATACTGAAGTAATTAACCTTGACCAAGCAAAACCAATTCTGCCCGAGAACAA  
AAGCAAAAATTGCCCGAACAGAAGTCGAATCACACCAACTTGATTGCTCCAAAAGAAAGAAAAAC  
AATCAGAATATGAACAACAAGTGGTGAAGTCTACCAAGCCTCAACAATTAGAACATGAACAACAAGTGG  
GAAGCCTATCAAGCCTCAGAACAGACTGAGCCTAACACTCACAAACTTACGGCAAGGCACCAATCTGG  
GAATCTTACGATTGACTGGGATGAGGATGATGCCAAGTTATTCTGCCAGGCCACACCGGTTGACTA  
AGGCAGATGAAATAGTCCTGGATCCAAACTCGTCAAGCTTAGAACAGTATTGAAACAGCCATAAGAC  
TCAGAATTATACTGCATTACCTGAAGCAGTATTGAGCTCGACAAAGCAGCTTATGAAGCAGGTTGGAA  
GGTTTCTCAAAGGGTAAATGAAAAACAAGGCCAAAAACTACAAAGGGCCCCAGAACAGAACAG

GGCCCAAAACTACCACTCATTAGATGCATGGAAATTGTTGCTAGAGCCTCCGGAGCGAAGGTGCGTG  
CCTGCGAATTTCACATTAGGCCATTACCAATTAAATAGACCCATCTTGATGATAAGAAACCCAGGG  
ACGATCTCCTGGCCTACTTCCAGAACCAACCTGGCATGCTTCGAGGAATACGGACCAACCACATGGGG  
CCCACAAGCTTTATCAAATCTTGATAAAATTGGTATGCAGAACCAATTGACTTTCTCAGAATAT  
CCACAGTGTGTGCTTCGCTGATTGGCAACTTATCGCGAGTTCGGTATCTAGAGGATACTAGAGTGA  
TACACATAACTGCAACTGAGAAAACACTGATTCAACACCTGCTTATCCTAAAATGAATTATTTGACAC  
TGAAGAAAATTACCTGGAAGCACATGGGTGGCACCATAATTAGAGAATTCACTAGGGTCTACAAAGGA  
GACAAACCTGAAGTACTTGGTACCTATTCTTAAGAAAGAGATCATTAAGGAGGAAAAATTAGGAATT  
CTGATATCCGGCAGATAGTGTGTGCCGACCCCCATTACACCAGGATAGGGCGTGCTTAGAAGCCATCA  
GAATGCCTTAATGAAACAGCATAACGACACCTCAGTTGGTCAATGTGGGTGGTACCCAATGGAAGGCGC  
TTTAAAAAAACCATGCAGCGCTGGTAAATAAGGAATAAACACTTCATTGAGTTGACTGGACCCGCT  
ATGATGGAACTATACCACCAAGCACTCTTAAACACATCAAAGAAATTAGGTGGAATTCAATAAAGA  
CCAACGTGAAAGTACAGACATGTACATGAATGGTATGTTAACACCTCCTTAATGCCATGTACTTCTA  
CCATCTGGTGAAGTCACCTGCAGACGCCAGGTAATCCATCTGGTCAGTTCAACAAACATGGATAACA  
ACATGGTTAACCTTGGTACAGGTTGAGTTGCTTATTTAATGGACCAGACAGAGACCTTGGAA  
GACCTATGACACTGTAGTTATGGAGATGACAGGCTTCTACAACACCTCGGTGCCGATGATTATGAG  
GAGAGAGTGATCACTATGTATAGAGACATCTTGGCATGTGGTTAACCTGGAAAGGTTATCTGTAGAG  
ACAGCATAAGTGGATTGCTTGTGGCTACTGTTAACACCTGAGCTTGCAATCTCCATGGAAA  
TGAAAAGTTAACGGCATCACTGTTAACACCTAACAAATTACCTGATCTGAATCACTCCATGGAAA  
CTCCTATGCTATCAGTTGCTTGTGGCTACTGTTAACACCTGGCTTAAAGGTGATGTGGAGCACT  
GCCTCTCGCGGACTGCAAAGCAGCTCGTACTCTGGCTTCCAGCCAGACTCACAGAAGAGCAACTCCA  
TCGCATTGGAGGGAGGACAAAGAAGTGTATGGCTAGCAAGTCAACAAAGCAAGTAACCTGGAGGT  
CAGTAATAATGGCCGCAGCAGGAGTAAATCAAGGGCCGTTACAATCTAGGGCCGAGACAAACAGTC  
AAGATCACAGTCATTCAAGAAACAGAGCCAGGAGACAGCCGGACGCCACAAACGTCAATCTCTCAAC  
GTGTCCGTAACATTGTCAATAAGCAACTCAGGAAACAGGGTGTACAGGACCAAAACCTGCAATATGTCA  
GAGAGCAACAGCAACCCTGGGACAGTCGGTCAAACACCCAGTGGCACCCTGAGATTGAGGCGTGTATT  
CTCCTCAACCCTGTCTCGTTAAGGACGCTACTGGAAGCACTCAGTTGGCCCTGTGCAGGCCTAGGTG  
CACAGTATTCCATGTGGAAGTGTGAAAGTATTGACCTCTATGGTGGTGCATCTGCTGT  
TAATGGTACTGTCTCAGGGTCTCACTTAACCCACTACCACGCCTACTTCTACTAGTTGGTCAGGAGT  
GGTCACGTAAACATCTTGATGTTACGGTGGTAAGAATGCAACATTAAATTGAAACCTCTGACCTTG  
GTGGACCTAGGGATGGCTGGTGGCTCACAAACACCAACGACAATGCATCTGACACCCCTGGACCCCAT  
TGAAATACACACACTCGGACGAACAATGCTCATACAAGAATGAGCAGTTCACAGGAGGGCTATTTTG  
GTTGAACCTGCTTCAGAGTGGTGCCTCACAGGTTATGCTGCCAACCCAAACCTGTTAACCTGGTCAAGT  
CAACAGATAATCAAGTATCTGTGACATTGAAAGGAAGTGCAGGATCACCATAATAATGAATGTGCCAGA  
GGGGAGCCATTGCAACAGTTCTGCACGCTCAACAAACACCCACCACTCTAGCGCGTGCAGGAGAG  
AGAACCCACTCAGACACAGTATGGCAGGTGCTCAATACAGCTGTATCTGCTGTCAGCTGACCGC  
CTCCATTCAATTGGTTAGTTAAAGGAGGTTGGTGGTTGTGAAACTCATTGCCGGAGAACAGAACTGG  
CTCTCGTAGCTTTATGTGTATCCCAGCTACCAAGATGCTTGTCCAACAAGCCAGCACTCTGCACCGC

AGCACTCCAGGAGGCATGAGGACGCGGAATCCTGTGACAACCACCCCTACAATTACACAGATGAACCAAC  
 CTAGTCTAGGGCACGGTGAAGCACCAGCTGCCTTGGTAGATCCATTCCAGCACCTGGTGAGGAGTTAA  
 AGTCGTCCCTCACGTTGGAGCCCCAATGAGCCCTAATGCAAATAACAAACAGACTTGGTTAATAAACCT  
 CTTGATGCGCCTCAGGCCATTACAATGTGAAGATTGCAAAGGATGTTGACCATATCTAACCATGCAGG  
 GTTTCACCTCTATAGCTTGTGACTGGTACACCATAAGTTCAACCATCTGAGGCCCTGCCCAAT  
 ACAAGGCCTGCAGGTACTTGTGAACAGCTCGAAAAAAGCTGATGTATGCCATCAAACAATTGTTACA  
 GCGCAGACCAACAACAAGCACCAGGTTACAAGCCTGTTAGTAAAAGTGACAACACTGGTTTCAGGTGA  
 ACAACTACCTGAGTTACTTTACAGGGCGTCTGCCACTGGGATGCCACAACTAACCTGTTGGTAGAGG  
 AGACACATACACAGCAGGGATAAGTTACCCAGGGTGGATGGTATTGTTGACAATAACATCTATTGTT  
 GATGGGCTATGCCACCTGGTGGGTGGAATAACGTGGAACTTAAACTAACACAGCATATCACATGG  
 ACAAAAGGCTTGGTCCATTAAATAATGCCTTGCCTGAGTCCACGCAAATGTGTTATGAGATGCTGACATC  
 TATACCACGCTCCAGGGCATCTGGTATGGTTATGAGAGTGACAACACCGAATACTGGATGCTCCAGAC  
 TCTGCTGACCAGTTAAAGAACATAGAGACATAGAGACATAGACATTGAGAGTGACAGAGGACGAAGACGAAG  
 CGGACAGGTTGACATCATAGACACTCTGATGAAGAACAGATGAAATGAGACAGACCGTGTAAACCTCCT  
 CTCAACTCTCGTAAACCAAGGAATGACAATGACGCGTGCACAGGATAGCAAGGCGCATTCCCACG  
 CTTCCGATAGGATCAAGCGTGGAGTACATGGACCTGCTTGTCTCGGGGCAAGCCCAGGCAATGCAT  
 GGTCCCAGTCGTGTGAAGAACGACGCAAAGCAGCAGGGAAATCAATCCCTGCACATCTGGAAGCCGCG  
 CCACGCCAGTAGGAACGAGGGTACAGCTTCTTCTGTCTGTTAGATTATTTAACCAT  
 TTAAAATTGATTAAATCAGAAC

> Astrovirus genome in duck. Num. access in GenBank : KF753807.1.

CCGAAGGTGGTTGTCGGGGCGATGGCCCAGGCAGGCTGGAGCGTTCTCCACCTGGACCAACGCAAGG  
 AGCGCCAAGAACAGGCGCAGGCTGGCTGGACAAAGTTCCAGTTCCAGGGGTTTCAGAGCTTTA  
 TTCTCGCATGAAACTCCTATATGGTAGATTCCCAGCTGGAGTGCGCTTATGAAGTGCAATGCCATATAC  
 CTTAAAGATGTGAAAACAGCTATTGGCGTTGATGGAACCCGCTATGGCTGTTCTGCCACACCCCTA  
 CTAATCCAACATGGCTCCGACATTGGAGCCAATCTTGACTATTAAATGAGAAAGCTTGTCTGATGC  
 TCAAAATGCCAACATGAGCGTCTCAATCGCTTAAAGACTACAAGCTCTGGTTCATCAGGTTATG  
 GAAAAAACAAAAGAGGCCAGGACATATTGAGAAGACTGATAAAATTGAGAAAGATTGACAATCTCC  
 ACGAGAGCAATAGGCTTTACATCGCAAATTCAAGAGAACGACAAGGACACCCCTCCAGAACATGATGGT  
 CAAATTGTATGACACGCAAAAGATAGAGATGCCTGGTGAGAAGATGCGCTACTTGAGGAAGAAAAT  
 CTCAATTGCGCAGGAAACTCAAAGAAAAGGAAATTCTGGATCTCACCTGGATGCAATCGGCT  
 GGATTGTGATTGCCATTCTAGTCTTGGCATGATAACCTGGCTGATGCTAACACCAGACACCAAC  
 AACCTTCGCATTACACCTAAACAGGCTGAATTATGACAAATGAGAGCTTCTTCGCGGTCAAGAAA  
 TTTAGACTAACCAAGCTGTGAGGAACCCAAAAAGGATGTTGATGTACATGCTAACATGCTTGGACTAAAG  
 AAATGTCCTCTGGAGGTTGTCATTGTGAGAAACCAAATTGGCTCCATCCAGGTCTTTAATGA  
 AACACGACTACAAAAGAGTGTGAGAAATTGGAGTGGAAAGTTGGTGCACAAACAAATTGGTGACCTG

ATACCTTATGAATGTCAAGAAGAACATGTGTTGAAGTTAGTACAAAATCAGATTAGTGAATTCGCACCA  
TAGTTGTGAAGGCCTATCAACAACACTGTTGAGTATAGACTAGACATTTGGATTACATCTCTTTAGTCT  
TGTTTAGCAGGAAAAAAGGATAGGCTTATCAAATGTTCCCTTATAGCCTTACCTGGTTTTAGG  
TTGCCAATCTTTGGTGTGTTGCTGTCAACCTCTTCCGCTAACATCTTGCCTTGTAGCAGTGC  
AGCTTATTTTCACAATATCATGATAAAATGCATTCTGATGTGGATTGTATTAACCTGGTTGCTT  
TTATTGGAATGAAGGACCTAAGATTTAGTTGAAATAAGTTGCGCTTATATACAGTGGGATTCA  
GGATGGTCCATTGCAATAATGGTGGGTACACAACAAATATCTCTCTAGTGTACCAGATATTGTTCTTT  
GTATTATAACTACTACTGTATGTGGCACAAAATTCGCATGTTCAACTATAACGGTCAGAACCCGGATGG  
CACACAACGAAATACACTCGATTTGGAAAAATGAAGACAACAGTTGCTAACCACTGGCTCAATAGTCATCGTTGAAG  
ACGGTTTACAGACCAGAGGGATTACCATCGACACCAACAAAACAGCCTCAATAGTCATCGTTGAAG  
GGAAGAGTGGAGCCGGTGTGTTGTTCGCTCATGAATTATTTGACAGCGAACATGTTGACAAG  
CTCGGACATAGCCACTATCAAATATGGGACAATTACTGTTAAATCGAAAGTAATAAAACTATACCCATT  
TTTGAATGTGTAGACAATGTTGCTGTCATTAAGCTCCTAGTGTGAATGGAGTAAACCAATAAAC  
TGGCAAAAAAGATAAAAGTACTATCTTACTCTTACAGCTTCGATCCAACACTTCAGCACACTGTGAC  
ATATACAGGTTGGGTATAATTGATGGCAATTGGCTCAATAATTCTTTGACACCAAGTTGGGAATAGT  
GGGGGACCATATTGTGACTGTGATGGCAGATTGGTAGGAATGCATCTGGAACACAAGGGGTACTGTCAC  
AAGGTGTTGTAATTGCAGGTGCATTGCGTTCTGCTTTCAGATAGTAGAGCAATCAACCCCCCAGGGTT  
TGACATGGAAGAGTTATGGAGAGACTTCGAGGGACTAAAACATCACATGTTGCTATCTTAAAGAA  
CTTGAAGAGCTAAGAGAACAGATTCAATTGGAAAAACGATGTGGTAGGATGAGTACTGGCTTA  
TGCAAGCAATTGGCCAGAAAAAGGAAAACAAGAAAACAATAAGAGGACAAAACATCTCGTGAC  
GAAGCGAGCATTGAGTAAAGGACATTGAAATGAGGATGCTAACCGACGAGGAGTATAATAATATG  
ATTGAGAAAGGATTCACTGCAGAGGAATTAGAGAACCGGTGAACGCCATAAGGAACAAGCCTGGCTCA  
ATTATTGTATAGACAATGACATCGATGAAGAAGGTGAAGAAGAATGGTATGATGACCTCGCTGAGACAGA  
GAGGATAAACAGAGAAATTGATGAAGCAGTGGAGAGAGCCATGGAAGACCGTGGCGAGTACTATGAACAA  
AAAAAACGGCTCACTTGTTGAAACAGGGATGATGCACCTCATTAAATTAGCAAGGAGCGTAGCCAAA  
CAGCAAATTAGAAGTCCAACAAGAAAATGGAGCTAGTTGTCAGATGTTGAGAAGGTGTCACAGA  
TCGAGATGTTCTGAAGGCACCACTCTGTCAGTTCAAATGGCAAGATGTCGTTGATAGAG  
ATAAGGACATCAATTGGAAAAGTTAAAACATCCAGTTGACAATGAAATAAGAAAGAAACTATCC  
CTGGAACAAAAGTTACTGAAATCTCACAGGACCCGAGAATAAGAAGAATATATTAAAGAAGAAGGACAC  
TCACATGCTTGAGGAAAAGAAAATGATGTCCAGCAGGAGAAACAGTTATCCTTGAGCAGCGCAAGCCA  
AGAGCTTGCAGTGGTGCCTTACACACAAACATGACTACCGTGTGAGGATGCAAGAGAGAAAAC  
GCTTTGTTGCAACAATGCATTGATGTTGATGGACATGTGAGACCTGTTGAATGCAATAA  
CTGCAAGAAAACGTTCCAGGGATTGAAAAGCTTGAAGACCATGTTATCAGAGGTGAATGTCAAAAAAAC  
TAACTGAGGGGCCTGTAACAACAAAGGCCCTACCCCTGTACCGACAGTTGCTTAAATGGACATATCC  
GGAGGATATCCTACCCAGGAGAATAAAATTGCTTACCCGACAACGTTGATTTAATTGGACATATCC  
GTCGACAAATTAGTCTCACGCACAAAGAAAAGTGCACGATCCACTCTGGCTTGGTAACACCTGGAAAC  
AGGAAACATATGATTCAACACCTGGACAGTTAGAGCGTATAACTAAGATGTTGAGAAATTCACTATCA

TGACCCTGTAATTGTTAACAGTATGCTGAGTTGTATTGCTCTGTGATAACATCGTATTGCGTGAG  
CACGATTATATGGCAAATAGTAATATAACTCCAATCATGGCAACAGAAAAAAATGTAGAGAGCACACCAG  
CTTACCCCAAATTCAAGCTTGACAGTGAAGAAGAATACTGTACAGAGTGTGGGTGGGTGAGTATT  
GGAAGTGGTGTCAAATCCTGACACAGTAAAACACAGGCCCTCTGGTGGTCTCAAAATGAGGTT  
TTAAAAAAACAAAGATTGCCGATAATGATATCAGGATGATATTATGTACAGATCCTGTATTACAAGGA  
TTGGAGCAATGTTGAACAAAGATCAGAATAATCGTATGAAACAAAACACAGAACGCAGAGCAGCCCAGGT  
TGGTTGGACACCCTCTTGGGACTTGACAAGCGCATCCGTAGGCTGAAGGAGATGGTACCGCTAC  
TCGTAGAAATGGATTGGACCAGATATGATGGTACCATCCGAAGCCTTATTTGGAGAATAAGGCAA  
TGCAGTTCTGCACGACAGTTATAAGACAGATAAGATGAAATCATTGTATGACTGGTATGTTAA  
AAACTGTTGGAAAAGGTCAATTGCTACCAACAGGAGAAGTTGTCAAGTGAAGAAAGGAAATCCTAGT  
GGTCAGTTCAACAAACAGTTGATAATAACATGATAATGTTGGTAAACAGCCTTGAGATTCTTTC  
TCTTTTCCACCAAAAGGGAGGTTACCAACAGAGAGTGAATTAGAAGAGAATTGCTCTATGATCTGCTA  
TGGCGATGACAGGTTACTCTCTATAAGGAAAAACTTGTGGATTATAACATCGATACTGTTGAACATG  
TATAGGAAAGTCTTGGAAATGTGGTGAAGAAAGAGAATGTTAAAGTGCAGGATTCAAGTCGGTCTAT  
CTTTTGTGGTATGACCATAATAAAATCAAAGACTGGTCATATGTTGGTGTACCAATGTCAACAAAGAT  
ACTTTCTACACTGAAAACCCAGTCGAGACTCCAGATATTGAGTCCTATGGGAAAATTGGTTCC  
CTCAGAATTGTTGTGAAAATGCTCCGACAATGTTAGAGACTTCTGGATGAACAGATCAACAAATGTCG  
AGGAGTACGCCGCTGTGAAAAAAATCACACTCCAGAAGTCGGGCCACTCTATTCCAGGATATGGT  
AGTGGAGGACCGAAATATGGTGGCGCGATGGCCGACAAGGTCGTTGTCAAGAAGACAACAAACAGTGAGG  
AAACCAAGAGGTTAGGAGTAGATCCGAAGTCGTAGTCGAGTAGATCTAGGAGTAGGACTCGGAAAATG  
TCAGGATCATGCAGCAAACCCAAAGTCAATTATGAAGAAAGTGTCCAGAGAGTCAAAGAAAATTAAACA  
ACTGGAAAAAAGGACATCTGGTCAAAGATAATGACACTTCAAACAAACAGTAACAATTGGAAGAATT  
AATGGGAACCCCACAGATAGTTGGAGAGACAACATAAAAGTCTTCTGAATCCAACACTGCTAAAAATC  
AGGATAGTGGTCTAGTCATCACCGCTCTCAACCAGGGCCTCACAATATGGTCTTGGAGGATACAGCA  
GTGCCAATTAAACATTGACACCCCTGTGTGGTGCAGCGAATGTGGTGGTCTGTGATTTCTGATCTT  
GAACAAGAAAGTGGAACCGCTAGTGTGAGTCACCAGATAACATAAAAGCTAGACCACACTTGAAATCC  
CAATCGGTCTTAAGACCACCTGGAAAATTCTCAAACAGTTGGTGGTCCAGAATGGCTGGTGGAA  
TATGGATACTGGTGTGATCCAACAAATGCATTAGGACCTGCCATAAAACTTATGGTGTACCTAAAACC  
GTCTGGCATTACAGCAGACATCATCACACCAGTCCCATATCCGGAGGTCTCACATAGTGGAGGCTA  
GGGTTGCTATCAATTCTCAAACACAGCCCTAAACCAAAACTAGCGTTAATGCGCAATCAAAGAATCCA  
GCCGACTCCAGATGGTGTAAAGATTTAGACACTGATGGTCTGTATATTGGAAGTGACCGACTCA  
CAAGTCAGAAGTGTGCTTGAAGTTGATGCACCCCCCAGGAATTCCAATCAAAGGGAGCGGGTACACAT  
TCTGGTCAGTCTCAACTGCAGTTGTGGATCTGGTGCAGGAGCTGTACCGAGCTGGGGTGGTGTCTAA  
AGGAGGCTGGTGGTTATAAGGAGAATCTTGGCAAGCGGGTCAAACCAAAACCATCTCAAATATGCA  
ATCTACGCCCTCGTTGAAGATGCAGCAAAAGACCAAAATCTTGCAACAGTCACAGAGAGGTCTGTGG  
ATGCAGCCCCGCTGCAGCTGACACAGCTTAATCAACCTAATGTGAACCAAACCTCTTATGCA  
TGCAGCGCCACCACAACCAGAACATTGGATTATTACACTGAGAAGTGCACCTTCAAAACCTGCCT  
ATTTTTATGAGGAACCTGCAAGACCAGTGTGCGGTGATTGGCAGAGTAATCAACTTTCTTGGTGGC

AGCCCTTGATCATTTCAACTACGATGTCAATAATGGCACGACAACAACAAGAACAGCGCA  
CAATCGATGGCTCTGCCTGATTACACAGATAGTGGAGTTTCTTCATCCGCCAATGGCACAGGGA  
GTCACCAAACGGCAAGAACCTATTGCAGCTGCTAAAAGTGGAGGTGCCAGCACCTTACGACGGTGG  
GGAATGATTTACGTATCCGTCAAATCAGATACTCAGCCAAATGATGTCAAATCATGATGGTTCC  
TTCCACCAGATAAACGCACCGTCGGTTCAAGGAACAACGGCACAGAGTGACCATTGCTGGTTGTT  
TTAAATTGCAGGAAGAAAAGGTGGTACTTACTCAGCTGCAAATTCAACACCAGCAACACCTGATAATG  
TGCCACAAGTCTGGATTCAAGAAAACCATTCAACCGGATACATGGGTTCCACAGCGTGGCAGGCTGGAAT  
ATTATATAATAGGCCAGCAACAAGTGAGCCTGATTGTGCAGACTCTGAAGAGGAAGATGATGACATCTCA  
GAGCTCTCCTCACTCTTGAACAAATGCACCTGAGGACGAGCCGACTCAAAATGAAGTTGAAGTCC  
AAAACCCAAGCATGTGGAGGAGGAGATGAAATACTGGAAACACCAGTGTGAGAGGTTGATGTTGGAGAA  
GGCCTTGACTGGCACCAGCAAACCTCTCGTCCGGTTGAAAGTCCGGACAATGGGTTGATACACCTCA  
ACCAGCAGTGGAGGCCACGCCAGTAGGATCGAGGGTACAACGTCAACTTTCAGTGGTTTTCCGTG  
ATCAGGATTTCCCAGTTAACGATTGTTAGGAGTTAACGCCCCCTGAGACAAATCAAGTCCAGGTC  
CAACAGTGAGGCAAGGCTGCTAGGCAATCATCCTATCAGCACACCCACTGGGCGCTTAAACCTTAAG  
TTTAAAGCAATTGATTCTTTGATTCAATTAGCATT

> Astrovirus genome in turkey. Num. access in GenBank : EU143848.1.

CCGAAAGTGTGCGGGCGATGGCCCAGGCAGGTCGAGTGGCGATGCTTGCATCCCTGATCAACG  
CGGGAGGCCAAGAAGAACAGGCGCAGTCGGCCTGACAAGGTGTTACTTCAAGGCGTGGAA  
CTATTCAACCGTATGAAATCGCTATGGAAGGACACGGCTGGACGGCTCATGAAGTGTAAACGCCA  
TATACTTGAAGATTTAAACAGCAGTGGCGTTGAGGGTACCCGCTATGGCTTTTCGAGAAGA  
AGTGAACAAACCAACTGGTCACCGACATTGGAGCAAACCTGATAACTTGGCGAAAGGCCTGTTA  
GACGCCAAATGCAAATATGAAAGATTGCAAGCCTCACTTAAACAAACTAGTGGCTGTGCATCAAG  
TGATGGAAAAACTAGGGAGCTAAAGAGAACCTAGAGAAAGCAATAAGATCCAAGAGCAACTTGACAA  
GGTCATTGAGAGCAACAAAGCTTACACCGTAAGATAACAGGAGAGAACCGAGAAAGATGCAGGAATAC  
ATGGTAAGGTTGCATAACACCGAGAAAGATCGTGTGATTGGGTTAGAGATGCTCAGGTTAGAACAGG  
AGAATGTCACATTGCAAGAAAGGTTGAAGGAGAAAGAGAACCGCTGGTATCTGGGTGGATCTTT  
AGGCTGGATAGTTATTCAGTGTGTTGATTCAGCTGCTGATTTCACTCGCAGACGCCAAACTGACTCCA  
CCAGCCAAGATTGTGATAACTCCAGGGCAAGCAGAGTCATGGACCTAGCTAAATTGGAAAAATCCAGG  
TCAGAAAGTACCGACTGGATAGTTGTGAATTACACCTGAGAAAGGTTGGCTGTTGATCAAGGATTACCT  
TACCAACAGGCCGGTAAGCTTTGGAGTTGATGCCAAATGTTCAAAACCTGACTGGCTCGGAGAGC  
AGTTACAATGAAACAACCTAATGGAAGAATGCATCCAGATCTTGGTGCAGAGTGGTGTGAAGGGAAGC  
TCGTTGATCTTGTACCAAGAAAGTGTGGCAGCAACATGTCTAGTTAACATCATAGAGCAAATTGAAAA  
AACAGAGAAGTTGTGACCCCTATATATGGTAAGGTGATGTCAACAGGCTAGATATGTGGATAACATCT  
ATTTTTAGTTAGTTGGCAGGTATAAGGAAAAATTGTTAAATGGCTCCCTTCATTTGTAGCAT  
GGTTTTAAACATACCAAGTGTGTTAACTTGTGTGGCAGTCACATTGCTCCAGTGTGTTCCCTGCCTT  
CATTTGTTCCAGATTTATGCCACAGTTGTTGGTAAATGCCTTCTATGGTTAACACTCACT

TTAACAGCATTATTGGAGTGAGGGGCCAAAATCTGATGGAGATAAGTTATGCCCTGTATACCA  
TCGGCTTGTATGGTCCCTGGACTAGCTGTGGGGTGACGCTCAAATTGACAATGGTACATCAGAT  
ATTAATGTTGTGTTGCGCAGCTATTGCGAACCAAGTTGCATGCACAACAATAACAGTGAA  
CACCCAGATGGAACACCGCAAATACACCCGGGTGGTAAGCTAAAGAATAATGTGTGAACCAGTGCA  
AAAAGGTAGTCACGACATTGAGACAAGAGGCAGTATACCAGCAACGCCTGCGAAAACAGCATCTATTGT  
TATTGTTGAGGGCAAATGGAACAGGTGTTGGGTTAGGTTATGAATTATATTCTACAGCAGAACAC  
GTGGTTAGGGATCAGATATAGCAACACTAAAAATGGCAGTGTAGTGTGAAATCCAAGTCATCAAAA  
CGATCCCAATATTGAGAGTGTGACAATGTTGCAGTGTAAAATTGCCACCTGAGCTCAATAGCGTGA  
GCCTATCAAATTAGCAAAGAAGGTTCAAAGTGAATCTGACACTGACAGCCTATGATCAAATTTCAA  
CATGCCGCCACTTTACCGGGTGTATTATAGATGGAATTGGCTTAATAACTCCTTGATACAAAT  
TTGGGAATAGGGTGCACCTATTGTGATCATGATGGTAGGCTAGTTGGTATCCACCTAGGCACACAGGG  
TGTTCTTCCAAGGCATAGTCATTGTAGACGCATTGAAAAATACATTCCAGCTTGGGATCAGTGTAGA  
CCACAGAATTGACATGGATGAGTCCTTGAGAAAGTTATAGCAGGAACAAAGTGTACATGCAGCGA  
TCCTAAAAGAACTGGAAGAACCTAGAGAAGAGGTGCAATTAAAGAAAAATGTGTACCTATGATGA  
CTACTGGCTATGCCAAACCATCTTGGGCAGGCCAAGGGAAGACGAAGAAAACAGTCAGAGGCCGTAAA  
CACCTTGTACCAAAAGAGCTTGGGAAAGGCCACTTCATGAAGATGAGGATGCTCACTGATGAAGAAT  
ATCAGAATATGATTGAAAAGGGCTCTCAGCAGAGGAAATAAGGGAGGCAGTCACGCACCTCCGAGAAC  
AGCATGGCTTAATTATTGTATTGATAATGATGTTGATGAGAAGGTGAGGAAAGATTGGTATGATGACATG  
GTAGAGACAGATAGAGTTAACAGGAGATCGATGAGGCCATAGAGCAGGCCATGGAAGATCGTGGTGA  
TCTACCAGAAGAAATCCGCCTTACCTTGTGAAACAGGCCATGATGCATTGATTCAAGTGAGCAAGGA  
GAGAAGCCAGACTGCTAAACTAGAAGTTCAAAGGAGAATGAAGGCCACTAGTGAGATGTTGAGCG  
TGTGTACAGATGAGAATACACCTGAGGGTACCACTCTATAGCGGCTTGTCCACAGAAGATGATGTTA  
GGCTTGTGAAGGGAAAGTCATTGATTCAACAGAAAGACATCCCAGTTGACGGGAAATTAGGAG  
AGAGATCATCCCTGAAACAAATGTAAGTGAGATTCCACTGGACCTGAAAATAAGAAGAACATATTGAAG  
AAAAAGGATACACACATAGCTGAGGGTAAAGTTGAAACTAAGTCATCACAGCAGCCGTTGACGTCAAGG  
ATGATAAACCGTAGCCTGGAAACACGTAAGCCTAGAGCTTGTAAATGGTGCCTCATCACAGAAACA  
TGATTACCGGAATGCGTTCAACGTGAAAACGTTTGTGTATTGTCAGCTATGCACTCAATG  
TTTGAGGGCCATATAAGACCAATAGAGTCAGTTGCAAGAAAAGTTTCAAGGAAATTGAGAAGTTAG  
AAGATCATGTTGAGAGTGTCAAAAAACTAATAGAGGGCCTGTGACAACAAAGGCCCTACC  
CCCGTACAGATTGGCTAAATATTGCATGGAAAGATGACATATTACCACTGAAGGTAAAAGTGCCT  
TACCAAGAAAATGTTACTCTAATTGGACATATACCAAGTTGATAAGTTGGTCTCGCGCACCAAGAAAGTCCA  
GGATCCATTATTAGGCCTGTAACACCATGGAAACAGATATGATGATTCAACACATGGACTGTAAAG  
GCTTACACAAAATGTTGAGAAATTCCATTACACGACCCAGTTGACTTGTGAAACAGTATGCTGAGT  
TTGTGCTTGTGACAATATGGTGTGAGAGAGCATGACTATATGGCAAATAGCAACATCACACCAAT  
CATGTCAACAGAGAAAATGTCAATAGTACACCAAGCATACCCAAATTCCAAGCCTATGACAGCGAAGCC  
GAGTATTGGAAGATTGTGGTGGCAAGAGTACCTGGATGTTGTCTGATCCAGAAACTATAATCGTA  
GACCCCTATGGTGGTGCCTCAAAATGAAGTTCTCAAAAGAGAGAAAATTGAGGACAGTGACATTG

AATGATATTGTGCACCGACCCGATTTACCAGGATTGGGGTATGTTGAGCAGGATCAGAACACAGA  
ATGAAACAAACAGACTGAAATAAGGTCTGCACAGGTGGATGGACCCCTTTCGCGGCTGGATCGCA  
GGGTCGCAGGTTGTATGGTGTAGGATAGGTATTTGTTGAGATGGACTGGACACGGTATGATGGAC  
TATACCAAAATCACTATTTGAGAATTAGGCAAATCAGGTTCTCTCCATGATTCTCATAAAGACT  
CCAAAGATGCGGCCTGTACAACACTGGTATGTGAAAATCTGTTGGAAAAAATTATTTATTGCCAACTG  
GAGAAGTTGCCAGGTCAAGAAAGGAAATCCAAGTGGTCAGTTCAACAACTGTGGATAATAATATGAT  
CAATGTCTGGCTAACAAACATTGAGGTTCATACCTATTTCAAACAGCGTGGTAGACTGCCAACAGAG  
AAAGAGCTGCAAGAGAACTGCTCCATGATATGCTACGGGATGACAGACTTCTTCATCCGTAAAGGGT  
TTGTTGAGTACGAACCTGATACAGTCATTGATATGTACAAAACATCTTGGATGTGGGTGAAAAGAAA  
CAACATCAAAATCCAAGATACACCTGAAGGGCTCTTTGTGGCTTACAATAGTAAATCAAGTACT  
GGTGCATATGTTGGTGTCCAAATGTGAACAAAATCTGTCAACTTGAAAATCCAGTACGTAGGCTAC  
CAGATGTTGAGTCTTGGGTAATTGGTTCCCTGCGATATTGTTGAAAATGCTCCCAGCAATGT  
TAAACACTTCTGATGAGCAGATTAGCAATGTTGAGGAGTTCGCCAGAGAAAACATACAACCTCCT  
GAGGTCGGGCCCGACTCTATTCCAGAAATATGGTGANAGGAGGACCGAAAGAAGATGGCGGATGGCG  
ACAAGGTCGTTGTCAAGAAAGACAACATAAGGCGCAGGGCAGGAGTAATTCCGCTCCGTAGCAGGAG  
TAGGAGCAGGAGCAGAACTAAAAGACAGTCAAAATTATTGAGAAAAGCCAGAAAATCCATCCTAAAG  
AAAATTGATCAGGCTGAAAGAAGAGATGCAAAACAGCTTAGGCGGATTGTAAGAAAGTGCAGGGACCGC  
CAGTAAATTCCAGGATGACAACAGTAGTCACACTGGTCAGATAACAGGCAATAAGACAACACCCCTAGA  
GCGGAAACACAAGTCTTCTGAATCCGCTGTTGATGAAGAGTCAGGAAACTGGTCAAACACTGCAACACCC  
TTATCTGTTAGGGATCCAAATATAATCTGTGAAAGCTATCCAGACTCCATGTCAGACTTACCCCTTG  
CAGGAAAAGCGAATATTTGGGTCAGTGGTGTCTTAGATCTGAACAGGAGGAAACACAGCAGGACC  
AGAATCAGTAGATACCATAAGGCAAGACCCATGTTGAAGTCCCATAAGGTCGAAAACCGTTGGAAA  
GTGCACCCCTAGAAGCGCTCTAGGACCTAGACAGGGTGGTGAATGTTGACCTGGTACAGCCAACTG  
ATTCTCTGGCCAGCACTCAACATGTGACCTACTGCAAACACTGTCATGCACTCCAGAGCGCTGGGG  
CACTCAAACGCCTTACACCAGTGCACCTTCTGTGAGGCTTGGTCACTTATGAGTTCAAACAT  
GGCCCAAAGCCTGCAGTGTCTCAAATGGTATCAGACAGCTTCCACCAGCCTCCGGTCACTGCAACCT  
TAAAAAAACACCAGTGATGGGCTGTAGCAATAACACTCTCAGGCGCTATGCCGAAAGATGGAGGAGGT  
TGAGCCCAAAGGCTAGGCGCTCAAATGCGAAACATCAGGTGTCGGTGAAGTGTCTGGCAGTGTCCACT  
GAAGTAGTCAATAACAGTAGCAGATGCCATACCAAGGCTGGGCTGGCTCTGAAAGGTGGCTGGTTGTCC  
TTAGGAAAATCTTGGGCGCAAATGACCAGAATGGCACTTACTGATATACTCTCAGTGGCAGATGC  
ACAAGGTGACAACAGGATATAACACATCAGTGAAACAGACACAGTTGACATCAAGCAGGATCAACCTCGT  
CAACTCACCCAGCCAATGTGAACCAAGCAGCAGTAGGTGGCAGTGGTGCAGGAAACTCCATCTATT  
TGCCACTACCACAAGCAGATGACCAATAACACACCCCTACTTGTCTATAATTTCAAGGGAAAGGGTGT  
AACACCGAGACTGGGTATTGTCTGGCAGCCATACCAAGCTGCACTACATCTAGTAGGTATAATAAT  
CAGATCACCACATCAATTGGCTACAGGAATGCTAGTGGTACAGGAACATCATTCTACTAGATGCTG  
CATCATGGTGGATATATTGGATGTAACACTGAGTGGAGTGCCTTGGACAACCAAGATTGGGTGTGG  
TGTGATGCAGACAATGAAGACTCTCAAACAGCATATCAAGGATTACACAGAGCCTGCAATAAGAAAAT  
TATCCTGGAACAACTAACCTGATGAGCAGTTGAAGCAGAGATTGAACCTGGCAGAGGGTACCCGGTCA

TCTCAATGGGGACACAAACGGTAGGAGGGCTGCACTCTTTATAGGACTAGTGATGAAAAATATATTT  
ATTTTCTCAACCACAGAAGATCCAGGGCACAGTATCAAATCTGAAAATGTTGACTCTGGAACCTGG  
TCCTATTCTGACACAAAACAGCAATTGGACCACCTAGAACAGTGCAGTTGCAAATTGGATGACA  
GCCAGCCAGCCCCATGATAGTGATGATGACCTTGTGTAACATCACTTTGAGCAGGCTGA  
TTGGGGATGAGACAGACTCAAATTAAATGTCATCCAAACCTCAAACATCTTGAGGAGGAGAAA  
AATTACTGGAAAAACAGTGTGAGAGGATGATGGAGAAGGCCCTTCGGGCACCTCACAGCCTCTG  
TCCGGTTGAGAAAGCTGGACCTAGGCAGACCAATCTGCCAGTGGCATTCTGAATGCCACACT  
TTCTCTGCGGTGAAATGAAATCACCATTCCACCTAACGATGATTAGCGATCCAACGAAATACCCGT  
TGGTGGTGCACGGTTACGCATCGGAAATCAACCCGGTGTATTACCCGACTCCGGCTAACAGTT  
TTTAAACTGATATAAAATTGAAAATTATTAGCATTAAAGAAAAAAAAAAAAAAAAAAAAAA  
AAAAA

> Astrovirus genome in mink. Num. access in GenBank : NC\_004579.1

CCGAAGTAGGTGTGTGTTGCCGTTATGGCTAACAAACACTACCAGCGCTTCAACCTCGTGGCTCTGG  
CCAGCGCTGTCTATGACACAGTGCCTCGGTTGGGACCCGATGCACGTCGAGGGTTCCAATTG  
GACGAGGTGTCACATAATAAGTTGTGACATTGACAGCGGCCGCTCCACTTCGCTTTGGTGATC  
TTAAAGTGATGAAGGTGGCGGGTGGTGTGGTCACACCGCATAAAACAGTTGCAAAACAGTCTATGTC  
AGGTGTTCAAGAGGGTAACGATTATGTCACTTGCCTCACGCCTGGACCTAACGAGTGGCGGAAGTT  
GATCCCCGATCGACAAGCGCACAGCACTCGTGGTGCCTGTGCAAGAACATAAAATTGGACTCAG  
ACCTTAAGGAGTCGC CGTGAGTTGCCAGCTCAAGTTGGAGCACTCACTGTTGAGACATGACTATGA  
GCGCTTGGTCCGTGAAAAGCTGGCTGCTATGAGAACCTTAAATTCTAGCTGTCAAGGGTTGC  
TTTTCCCTGGTTCCGTCTATGTCAGCTGTCAAGGGTGAGGTATGGTCGTGCTTGACAGCGAGC  
TTAACCTCAATGGCAACCCGAAAGTGTGTTGCATTGGAGAGGTTAAATCTTAGCCTCCAGGTTGC  
CCTTGCAGACTTCTGGAACATGACCTGGACTATTACGCTACTGTGGCACCAATGCCACTATGGAC  
CTTGCACTGGCTACTTCCCCTACTTGCTAACTGGCACATGGCGCTTCCCTGTGGCACTGCACACG  
TTGTGGCGGCCAACGGCGCTATATGCTAGTGACACTTGTGTTAGCAACATTGCAAGGTCCA  
GGTAGCAGTGCCTGGCCGTCCTGTTGACATGCGCCTCAATTGGTTGTGGTTACAATGGTCTTG  
TTGCCATTGATCAGGCCTTGCCATTAGCTCAGTGCTAACTCGGTACTTTACTCATTGTGTC  
TTGCTATGAATGATGTTGATTATGGCGCGCTCCTACCGGGTGTGTTACTCTGGTAGCGCCACTGTCTT  
TTCACATCTGTGAGTTCTTGCACGCCAGGCTGGTTACGATAATTGCCATCCTCATCTATCGTATA  
CCTAAAGTCCTTCATATGTCAGTGCCAGCGTGTGACATTAAGGGCCGTGATGGTAAGATTAAAGAGA  
CACAGAATGCCAACCCATCTGGATCACCAAGATGAGTGGCCTGAAGAACCTTCCAGCGTGTCC  
ACAGAAGGTACGTACGGGGTAAACCCGACAACCCGTATCATCCAACTCGTGGTGGTATTGATGCT  
AAGGATGGTAGGGGCAGTGGCTCCGGGTGAGAAACTACCTGTGACTGCTGGCACGTTGGCGCG  
ACACTACTGTCCGTGTCCGCTGGCTGATGTCACATCCTGCCACGTGGTCTATCGTGTCCGAATAA  
AGATATTGTGTTGCTGACTTACCCGCTGAATATAACAGTTACACTCCTACAAGCTGAAAAGAGGTT

GTGATGGCACGGTGTTCTCCAATGGTATGGGGCGCCCTTCGGTTGGATCTCTGAAGGTG  
TCATTGTAGGTGAGAGTATGACCTACGCATAAACACGCCGATGGTATGAGTGGTCACCACCAAC  
CACGGATGGCCGCTAATTGGCGTCCACCAACAAAACACGGGTTACCGCGGGGCGTGA  
GATACTGATTCCCGAACCGAAGAACGCCACAGCGTGAGGCAGACTTGGAGGCTAAGGTGGCTGA  
AAAAAGCTCTGGCAGCCTATAACCCAGTCCGCCACCGCGAGGATATCGTCGGCTGGTTCGAG  
ACAGCGGGAGATGGAAGTCCTCAGGAAAGAAACTCAGCAATGAGTGGCCAGGCTAAGGTAA  
CATAAAGCGCCGCATCATGGCTGCCGCCGCTGGCAAGCGTAAGCAGGGCAAGGTCTGGAC  
AAGAGTACAAGAAACTCCTCGAGGAAGGGTTACCCGTATCAGCTCAGGGAAATGGCAG  
GGAAGCTGACGACGACTTGTGACTATGAGGAAGAGAAGATGAGGTTGACTACCC  
CATGATTCTGACGAGGAGATTGATCGTACTGGTACGGACAGAAC  
CTGATTGAGCCAGAGTTGGATCCTGATGTCACCAAGACGCTGCC  
CCTCAAACATTATATTACAGAGGCTGACTTAAAGCACTTGGTCAG  
CACCTTGATGCTGTCATCAAACCCACACGGAAAAGGTAA  
TCCTTAAGGACCTCAATGCTATGGTTAAACTCAACCAC  
CATGCAGAGGAAGAAGCAGAAC  
AGATGCGGCTTGACCACTGGGAGAAAATGATGGCCCC  
CTATCCAGTGATGGCAAATTGCC  
CTGAACCTTTGCC  
TCAAGTCCTTGAGAAGTTC  
GAAGTTCGTTGTCAAGTC  
GCAACATCTAAGAATGCAGATT  
ACCTGTCTGAAAGAGGCTATCAGGATT  
GGTCCTATGGCTCTT  
CAGATTGTCTGT  
TGAAACACCG  
GATTGAACGC  
ATCCCACGT  
ATGCAAACAGGG  
TGAGGT  
AACGT  
CGTGGGAC  
CTATGTGGAC  
GTGTCC  
CAGACTGCG  
CTCTAAAGT  
CGTGT  
AGCGACTG  
GGCTGAG  
TC

CGCAACCAAGGCCGGGAAGCGCTGGAACAGCAAGAAGGCCATATGCCAAGAACACAACA  
AGGGGATGAAACGGACTGTGGATAATGAGGTCAAACAGAAACTCAAAAGGAGGGATTAGAGGGTCCACG  
TTCACGTTTCTGTCCGTCTGCTACCATTGTAAGATTGCCAAATAAAGAACAGGCCAGAG  
TTGCAGATTGCCACCTTCTGCATCCATCCCTGATGAAAGGCCAATGATGGTACCAATTGGCCCGC  
TTCAAGCAGCCGAGCCCAGTGGGCTTGTGGCGCTTGTGAGCCTGAGGTCAAATGCACTCCCTAGT  
TGGGTCAGTGCTGTTACTGGTCCATCTACAGGATGTCATTGAATTGACACAATCCCCAGGAAATGCT  
TCTTGGGAGGCCTGGTGCCCGAACACACAAGGACATTCCAGCAGGCAAGTCCGTTCTGGAAGCTCC  
AACGGGGCAGCCTAGCTGGACCAAGGCAGACTTGGTGGATGACCGACACCAATGAAGAGGGCAGGCAGTC  
TTGCGGTCGATGCTCGAGATCCATGGTCTCGTAAGACGTCGACCTACCAAAGTCAAGACTGGACT  
GGCGATCTTCATCGTTGAAGTCCTGGACGTTGGAGTTCACTAACTACAATGCTAAACCGGCACCTG  
GCACACTCGACCGCAAGTCAGAGGACTATGCCTCTGACGCAACCGGCCCTGGCATTATGGTGGCGACGA  
CGGTGTCATGAAAATGACGCTGCCGACAGCTTCATCGCTTAGGTTCATGTCATGCATCAGAGCGG  
TCGCCGGTGAATGAGGGTTCGGTCGGTGAAGACTATATGGCATATAGTTGATGAAGGCCTGGACTTGC  
CCAGCGTCGCCGACCCATTCTCGTGGCTAATTAAGGGTCTGGTGGTTGTGAAAAACTCGCAGG  
CCGAAGTGGGCAATGCTGAGCAGTATGTGGTATGCATCACTGGCTGATGCGCAGAACACAAA  
CCGGTCATGGCAATCGCTTGACCACACTAAGAAGGCCACCACCTACGGTCACCGCAGGTGAACTCCC  
CCAATACTGGCCGGGTGTCACCCAGCTGCATACACACAGAGAACCTTCCGTTGTGCCGGCTAC  
TCAGCCCCCCCCACCCCGCAGCATTGCTGGTGAATGCAACCGCACGCCCTGGCTATGTC  
AACACTGGCGATTCCAATGTTAAGTCCCAGTGGCAAGTTGATGGCACCCAATATCATT  
ACCGTGGTAGCACGGTGAGCTACCGCTGCTGCTACATACTGACAGATGTTGACCTATGAAGG  
AAATAGGGTGACGGGTGCTATGACCTGGCTGGATGGAGCCTACAGGCATTACCGTCCACTATCG  
GAGTCATCTGCCTGGCGGGCTTGCTATGAAATTGACCAAGTGGGTAGTACAAGTGACAACCA  
TTACAATTGGGGTGTGGTGGTCCAGACTATAAAAGACCTGCCTGCACATGACACCAAGTGGC  
CATACCACTCCCTATGTCTCAGCAGGGATTGCACAGCACCCCCAGTCAGGTTGCCCTAGATAAG  
TGTGTCCTACCTACTAAGGTTGGGTGACATCTCATCAACAATGTACAGTTCGTCAACCACAGG  
GTAGTGGCACCTTATGCTGGTCTATTGATTGGACTAACACACCTGCAACGACGGCTGGCTTACA  
AGGCCAGCCACTGGCGAAGCAACTAACGCATCTGCCTGAGGGAAATTCAACATCTGGTTT  
TGGGAGCGGGCCCTTCTGCTGGCACCTATCAAGATTTCAGTTAAGTTCACCTCCCGCAGG  
GGCCACACGCTGACCCCTAGGGTGGACGCATTGCTGGATTAAATCCAGCAGAGGTTCAAC  
CGACGCCTCAGAATCAGAGGATGAAGACGAAGACTCTCCAGTGGAGTGAAGAGGAAC  
GAGCCACACCTCAGCCTACACCTAGGCTAAACTGCAAGGAGATGATGTAGGCTCTCCGT  
ATTCCGACTGGACTCACGTTGATGCAGAGGCCTGCTGCGCAATTCTCAAAGAAC  
CGAGGCCACGCCGAGTTAGGATCGAGGGTACAGGTAGTGAGTAAGTCAGATGATT  
GACTTGTAA  
GCTAATCATCATTAAAATTATAATTGGC

> Astrovirus genome in bovine. Num. access in GenBank : NC\_02448.1

CCAAAGAAAGTTGAAGTTGTTGCCAGGTCTTCTTGATGTCAGAACGGTCTTCATATTGCC  
CCAAAGGCACACTGTTGACACCTATGATTGTCAGTCAGTTGGTCAAACGTGCCGGCAACG  
GGGCCTGCCTGGATAAGGTTGCCAGGAATCACCTGGTATCTTCCCTGATGGTGGACCCTG  
TTGGCTTGGACCACCTGATATGATTGACCCCACCGCGATCAACCTAAACTACACAATATTGACACTG  
TCTATGTGGCTGGTAGTTGCTGGGAACGAGTACATCGTTACCACTAGTTATACCTGGTGAATGAGTG  
GAGGGAAACTGATGCGACTATCCATAAGCCTACGGCTTGGTGGAACCCAGTGCAAGAACATAAAGG  
TTGTCTAAAGAAGTGAAGACCTTAAGAGAGAGCTCTCCAACAAAAATGGACTTGAAATCCTGAGGC  
ATGACTATGAGCGCGTGCGCCCTGTCCTACTAGTCCGGCAACTAGGCCTTAAACCTCCTACAGTTT  
GCTTATGCATTCTATTGGTCTCCTAGCAGCTGGACTGGCATGGGCAACGCACAGGCACCTGCTAC  
TCCTATGATGAGGCATCCAACTTGTATATTGGGAGTGGCATGAGGTGGCACACCGGATTGGCGA  
AGTTCTCACAGACTATTTAAAGATCATTGGCAAGTTGGTGAATTATTGTACAATGGATGTGATGGT  
TCAGCTTGCTGCTGGTCTACCAGTTAGTTAGTGTGCAGGGTTGGCAGTCATT  
GCACTTAGGTCGGAGAACCCATTATGCTTACCTGATGGCACATTGTCACATTACAGA  
TGTTGCATTGGCGTGGTCCAGCCTGGACATCACTGCCACAATTGCTATGGCTGTCA  
ATATGCATTGGCGCAATGTTGCTATTCTGCTTGCCTGGTATGGCTGTACTAGCTGGT  
CTGTTCTTAATGATGCAGAATATGCTATAATGGTGAAGCACATTATGTTCTGGCACATGCA  
CATCACATGTTGAGATCCTCATTGCCATTCTGGCAGTTGCCTCTGCCTGTCACCTATCGGCT  
GTACCGCTCTTTTACCCAGGTGAAAGGTATGGTGCCTGGCACGGAAAATTCTTAC  
ACGGTCTCATCTGCCAAACTGGCTTGCAGGGTTCAAGATTGCCAACCTTAGGCAAAGGATAC  
GGACTAGTGGTGCACAGCACGAATAATACCAATGCTCTAGTCACAGTTGAGTCAAAGGAAGGCTC  
TGGAACTGGTTCCGTGTCAGTCATTGGTACAGCTGGTATGTGGTGCAGGCGACGAACAGGTT  
AAGGTACACTGGGCCATGTTGTCATGCCAAAGTTGTATAGACACCAACAAAGACTGGCCT  
TCCTAACACTACCTGCTGAGTGCAACAGCTGCCTGCCTACAAGTTGCTAAGAACCTGCTGACGGCC  
TGTGTTTGACCGCCTTGATGAAGCCTCACTCCCTGGTAGCAGTCAGTGAACTGTCTGGTGGAT  
AACCATGGACTTATGCTGTTGCTACTCGTAACGGCATGTCTGGTGCCTGGCAACTCACCAACGTGGATGG  
GGCTCTAGGGTTCACCTAACACTGGATTCACTGGTGGTGTATAGTTAGTGCCTGGGATGACCT  
GCCTGATACTAGGAAACCAACTGCACGTGAGCTGAACCTGAGGCTAGGATTAAGGAGTTGGAAGCCAAA  
TCATGTGGCGATAAACCCCTCCTCAGTCAGTCAGAGTTGATGCAGATGCCGTTGCGAGTTGATACGTGTT  
CCTTACAACGTGAGATGTCCATCCTCCGAAGGGAGATAGATGACTCACTGCTGGCTACTCCCAGAAGAA  
GAAAGGCAAGAAAACAGGAAGAAGCGCGTGTGGACCGAGGAAGAGTATCGAGCTTGCTGAGAAAGGT  
TTTACACGCGACCAACTCAGGGAAATGGCTGATGCACCGACTCTCACGGTATGAAGATG  
ATGATGAAGCTGAGGTTGAGGTTGGTACCCCTGAATGGTCAGATCCAGACAGGATTCTGACATTGATG  
TGAGTGGTTCGGCTCCTATGAACAATCCTGGCGTTATATTGAGCCACAACAGTCTGAGGAACATTGCAAT  
ACCCTACCATCACACCTACTCTGAAGTATAGCTGGATAATTATCCTATTCTAAAAGTGCACATCCAAG  
CAGTTGCCAAGGAGATGAAACAATATGAAGAGAAGGTGTCCAGCCTAATCTGAAAGTGGTATGATT  
GGCAACTGGAAGAGGGATGTTGATGGTAAGAAAATTCTACAGGAGCTGCGCTCTGGTTGGTATA

AACCATACTCTGTGGGACCATGGTTGATGCCTTCACGCAGAGGAGGAAGCGTGTACCAAGCCAAAAA  
ACTCCAAAGGGGCCAGAAGAACCGGGCCCCGAGAATGCACGCTAACGCTACTGGCAGACTTGCTCGAG  
CCAACCGAGCCTTTGATACCTTCTGGGTATCCTGTTGGCAAAGTCTCTGGATAGACCTATTT  
CAGATAGGGCGAACCTATTGACGATCTTGTATTGCTGCCAATTATGACGAGGATTGACGGCTTT  
TTCACCGCAACTTGGGTCTGCAGCCTATGAAAAATCTTGAGAAGTTCACATATAAGAGCCCACC  
CAGAATATTGCCATAAGTATCCACGTGAGTGGCGTTCGCTACTAGAGTCTTAGGCCGAGAATTGATT  
TCTGGCTGACTCAGTAGTCAGACATAACTGCTTTCTAAAATTCTGAGTCCACTCCGCCTATCC  
CAAAACCTTGTGGTGAAGACTGAAGCCGATTATTGGCTGAAAGGGCTATTCTGATTATATTCTGAG  
TGGAACCGCCTAGTTAATGATTCCAGTTATCGGCCAGACGTTCTGGTATCTCTTAAGAAGGAAA  
TCCTTAAGACAGATAAAGATTCTGGATGATGATATAAGGAAACCTGTGCTGATCCTATTTGCACG  
CATAGGATGCTGTTGAGGAGGACAAAACGACCGCATGAAGCGCGTACACGTACTGATGCCGCAA  
TGTGGTTGGCTCCTTCTTGTTCCACGAGAGGGTATCTGGCTGCTGCTAAGGTAACCCCC  
ATTGGTAGAATTGATTGGACCCGCTATGATGGCACCTCCTGAGGAGGTCTTAGGCACATAAGGAA  
TTTAGGTTAATCCCTGGCCTCAAGGTTCAAGACCCCAGAGTTGAGGTCGGTCTATGAGTGGTATGTT  
GATAATATCATTCTAGAAAGGTCTGCCTGCCTACGGGGAAAGTTACTGAACAACATCGGGGAATCCCT  
CTGGTCAAGTCTGACAACAATGGACAATAACATGTTAATGCTTCTTCCAGGCCCTTGAATATGCCTA  
TTTGAGACCCCACCTCACAGATGATGAGCTGTGCCAGCACTGGACAAGTATGATTGCTTATACGGG  
GACGACAGGTTGAACACCTGTCTGACCTACCCCTGATTACGTTGAGGTTATTGACATGTATGCCA  
CCATTTTGGCATGTGGTTAAGCCGATAAGGTCAAGGTCTCCGCTGCTCCACAAGGTTATCTTCTG  
TGGTTTACCATCACGCAAGGATACACAAGGGTTTATGTTCCAGTCCACTGAGACAAAGAAATTGGCC  
GCTGCTTATTGAAACCAACTAAGAAACTGGATGAAATTGCTCACTCTATGGAAACTCCTTGCTATC  
GCATCCTGAGCCATAATTGCCATTGATAACAAGTTAAAATTATACCTTGCGCTGGAGGTTT  
GGCTCGTCACTTGTGGCTAGGGGGAGGAACGCCCTCTACGTCACCGAGGAGATGTTGATAAGCTT  
TGGAGGGAGGTCAAAGCGTGAATTGCTGAATCTGCTCACATAAGAGTCAGGTTACTGCT  
AAGCAGATTGCCAAGGAGGTTAAACTTGAGAAGAAAACAAAGAACCAACAACAGGCCAGCGCA  
CGACCAAGCGAAGAACTGGGTCGCGTGAAGTGGAAACCAGGCAAGTAAAGCGAGAGTTCAAATAG  
AGTTAAAACAGAGCTCAAGAACAGCAAGGCTTGGAGGCTAACCTAGGTTAGGTTACTGTTCTGCT  
ACTATTGGTAAGGTGGCTTAACAAGTCCCAGGCCCTGAGCTACAGATAGCTACCTCTTACATCCAA  
GCTTAATTAGGAGCCTGGAGATGGCTCAATTGGACCCCTCAAGCCGCGCAGCGCAATATGCC  
GTGGCGATAAAAGTTCTAGAGGTCCGTTCACCCCTTGTGGCTCGTCAGCGTTCCGGCTCTGTT  
ACTCGAGCTTCACTTAACCAAGGGCGCTGGAGCTACCTCTGGGGTGGCTTGGCGCACCGAAC  
ACATTGATGTGCCAATAGGTGCTTCAAGCACTGGAAGCTAAAAGGGTGATCTAACGGACCTAGAAG  
TACATACTGGGTCACTAACCCAATGAGGAGGGGGCAATCATGTGCCCTATGCTTGAGATGCATGG  
CTGGGAAACTACCTCAACCTATAAGGATGCAGCTGGAGGCGATCTCTTATTGTTGAGATTGATG  
GTACACTGGGAATTCTCAACTACAATGCCAACCGCTTGGGTATGCTGACCGCCTTCCGATGATG  
ACAGGTTGAAATTGGAGGTTGAGTCTGAGGGCAAATAACCATGACTGTTCCAGAGAACTCTCCATGCC  
CGCCACATGGGAGAAAAGTATGAAAGGAGTTCTGCCTCAAATGCAACTCTGTTGGGGAGACCATA  
AGGTTGTTGATGAAGGCGCTGGATTGTTATCTGCAGTAGCGCCTCAACCTTTGGCTTATTAAAGG

TGGCTGGTGGTTGTTAAGAAGATCCTGGCCGTAGTGGCGCAATGCTGGTCCACTTACCTGTGTAT  
 CCTTCCCTTGCCGATGCACAGAATGGCAAGCCTGCTATTCAACATCACGTGGTTGCAAGGCAGGTTG  
 TCCAAACCACCCCTACGTCAACACAGATTAACGCCCAAATACCGGCCGGCGTTCACAGCCAGCACT  
 TGTCTCTTATGAGTTCTTCCTACTACCCCTAGGGACGAACCCCAGGTTGGCTGCCTTTATTGGCC  
 TCATGTTATGAGCCTGGTCTCTCCAAAATTCCATGCCTATTGGGTTATGGTTCTAGCTCAGCCTTA  
 ATGGCGCCCTTTGAGGTTCAGGTGGCTCCAAAGCTTACCAATCGCAGACTTATTCTATTGATTAA  
 GCCTGCTGCTTTCCGCCGACATTCTTATGAGGCAACTTCAGATCCAGTTCTTGAAACGGTGGTAC  
 ACGATAGATACTTGCCCCCTATTGGGAGTCAGAGCCTCTTGCAATCCTATTAGCAAGCAGAAGT  
 ATGGAGATGTTGTGGCGGCATCCAACCTCTTGTCTCCAAACCTCATGCTGGTTCATTATTGGTTAG  
 GGTTACTCAAGATTCCCCGCCCTTCAGGGGATGAGTGGGTAGTGGCGACACCATTGCTACTTCACA  
 CCAATGCTTACAGCCTGTCTGCCAACAGACCAAAGTAACCCATCAATTGTTCCAACAGGATTG  
 TTTCCAACAACCCAGAAAAGCACTGTTGGTGTGCCAACCTGTTAGGGCCGTGGTTCTACAT  
 CATTCCACAGTTGGTAGGGGCACGGGTTCTGCTGGTTATTACAGGGTATGGCTTTGAAC  
 CAGACTGGCTTAATCTTGAGAGTGATATTGCGCTCTGATTCCAATGGGTGCTTCCCTGATAACCC  
 GTGTCAGCCCTACCTGGGCTGGCATAGTCAGGATGACGCGTGGCGTCCCCCAGTGTGAAAGATGA  
 TTTGGTCGCCCGCTGTGCAGCAACTTCAGACTCGCTACAGATTGCCAGCGATTCTGGTCGGACACC  
 TCCGATGAGGAGTCCGATGAGTTGAATGCCTGCGTAGCACTCCCTGCAGCAAGTCTATGAGGGCGTGC  
 GTGGTGTGCAACCCACGCAGAACGAGCTGCTGTAGTCAGTAAGCTTAAATCCGAGGCCACGCCGAGTA  
 GGATCGAGGGTACAGGATTGGTACTTCAGTGATCATTAAATCAATAGATTGTTGATTCTGCAATT  
 AAATTAAATAATTGGCAAAA

> Astrovirus genome in feline. Num. access in GenBank : NC\_022249.1

GGGCCAACGGTTGAAGAGGTACCAAAGTATGTTCTACTACAACGACGCAGACCGCGGCATCTGCTCTGG  
 CAGTATGCGTGCCTGGAGGAAATAACCCCTCGCGTCAAGAACAAATGCCCTGGCTTCATCCAGAGCTA  
 CCACTTCATTTGAGTGGAGGTGCAGGGGTTGGCTTCCAACCGCTGGAGCAAGTACTTCAATCGTA  
 TTATCATCGTAACGGTGAGTGTGATGGCTCCATGCGTACCTTGCAACCAACCCGTGATGATGATTCCGA  
 CTGGCGTGAATACCGGCACCGCAAGCAGCTGCTGTAGTCAGTAAGCTTAAATCCGAGGCCACGCCGAGTA  
 TCCACCACGAAACGACTACGGATTGCCAACAGGAGAAAGCGACTCTGGCACTTGATAATCAGCTCATGC  
 GTCACGAAATTGCTAGGTACCAAGCCAACAAACAGTCATGTCGACTGTTAACATGAAATATAT  
 ACTAGTGGCTGCTGTCAATGGCTTCCTGCCCTTGCCTAGTAGTGATGCACAAATCTACTTCCCTGAA  
 AATAGGACCATCTTACTGACATTGGAGGTGTGCCACTGCGACTGAAACCCGTGAAATGAAAACCTGA  
 ACCTCAGGATTAAGATGGCTCTTCAATGTCTCGTTATGATCAGTACGAGGCATCAAGAACATCTT  
 GACAATGCAATTGTTCTCAGGTTCACTGGCTCCGTGTTACTCGAAGCCCTAGGTATTACCAAGTA  
 TGGAACCTCTTCCGTGGCCCTCACGGTACTCACGCTCCTTAAGAGCAATAAGTAGGCACAGACCTTA  
 CAGTTATTGTGTTGGCCCACTTTCAGGCTGGCGCATGGCTGCCTACCTACCATAACCTTCAGACAAC

CTTGTGCCCCCTGGGTTATGAATCTTGTAACTGCTTGCTTCGCTTGATAAGTTCTGCGCACTAACCATG  
GCAATTACCGCGCCCGTCCTGGAGCAGTACTACTCTCCTTCATGGATGATGTCAACTCCTGGGCATA  
TGC CGGGCTCCTAGTGACTTCCCTCTTGGCAGTTCTTGTACCTGCCTACATGCTCAATGGGAGCAC  
CACCACAATCTTCATCGTAACTTGCCATCCGCACCCCTACGCTTAACATCAAACATGCTCAATGGGAGCAC  
CTAGAGCTCCGTGATGAAAATGGCAGGGTGGTCGCCACCTGCCATCACGGTCCGGAGCTGCATTAA  
ACTTCTTCAGAGGTTCAAGCAAGGTGTGCGCAGTAGCATCAATGAGTTCACAGTGATCAAACAGATGC  
ATTGTGCATCATCGAACACCTGAAGGCAAGGAACTGGCTTCTTGTGGCAATGATATCATAACAGCA  
GGACATGTTGTGACCAACCATTAGGATTGTCAACGTATCCTATAAAGGCCTCAACTATGAGGCAAGGTT  
GCTACACCCAACAAAGGATGTGGCCTTCATCACATGCCCTGGAGACCTGCACCCACAGGCACGGCTCAA  
GTTAGCCAAGAACCCAGACTATAGCCTTGTACAGTGACAGCCTTGTCAATGAGGATGTCGTTGTTCC  
ACCGCTAATGCTGTGGTCATGGTAAACGTTATCGTATGCCATGAAAACACAGGATGGTATGTCGGAG  
CACCGTCACCGATAGGTACGGACGTGTCGGTTGCCATCAAACCAACACCGGCTATACAGGTTGTC  
TGTTATCATAACATCAAGATGATTCCACCCCTCATAGCCACAGGGCTTGAAGCCGAAGTTGAGAGGCTT  
AAGGCGGAACCTGAACCTGAGCGGAAGAAACATGCAACCATGAATCAATCTTTAACCCAAATGAAATCG  
TTGATTTGGTCGGCTGCCGTTGAGCGGAGATGCAAGTCCTAAGAGACGAAATCAACAGGAAATTGG  
CTTCAACCAAAAAAAGAAAGGTAAGACAAAGCATGGACGTTCAGGACGTAGAACCAACCTCAGGAGAGGC  
GCTCGCATGCTAACCGAGGAGGAATACAACGAACTCCTGGAACGTGGCCTTGATCGTGAACCCCTCCTAG  
ACCTCATTGACAAATCATTGGGAACGTGTCGGTTACCCCTGAGTATGAGGAGGACGATGACTATGAATA  
TGAGCGCAATGAAGAAGAGCGTGAAGTAGACTATAATCTACGGATCGACTTCGACCAGAGGCGCGAGAAG  
CAGGAGGATGTCAAACAAACGCCAACCTGCACCACGTTCCAAGAAGATGCCCGCCAAAGATTGAGG  
AGGTGAGGCCATCAAGTGCGCCAGGTCCAAGCAACGGTGGTGACCCCTCAGGAAATTACATCAGAAAA  
AGCCAGGATCACTGTCGTTGCTCTGAAAAGCCTAGACCACAGCCCCAAAGGCCTCTCCCAGACGTAT  
GGTAAGGCCCCATCTGGAGTCCTACGACTTGAGTGGATGAGGAATCGCGAATGACATCCTCCTC  
CCCCACACAAGCTCACAAAGCTGATGAGATAATACTTGGAGCAAATTCAAGCTTAGAACTATTAT  
CAACACAGCAATACAAACTCAAACCTATTGCCATCCGCTTGGCTGAGCTTGAGCTGATACCTGTGCC  
TTTCAGCATGGCCTTGAGAAGTTCTTCAGCGTGTAAAATCAAGGAAGCCAAAAACTCCAAGGGCCCC  
AGAACACCAAGGGGCCAAGAACAGAACATCCATTAGGGCATGGAAATCCATGCTACAGCCT  
CCCGTGGAACGGAAGTGTGTACCTGATAACTTCCGCTATTGGACATCTTAAGATTGATAGGCCATCT  
ACGACTCAAAGAAACCACGGACGATCTCTGGCCTATTACCGAACCTGGCTGGAAGGAATTGAAAA  
GTTCCGGACCCACGGTGTGGGCCCAAGGCCTCGCTAAGTCCTTGACAGTTGCGGATTGGCATGGTCA  
TCTAACTTCTTGAGGACAATCCAGACCTCTGCAGATTGCGGATTGGCATGGTCAAGAGAGTCTCGT  
ACTTGGAGGACACTCGTGTAAATTACACATAACAGCAACGGAAAAAACACCGAACCTGCCTATCC  
AAAGATGATATACTATCAGACAGAGGAAGATTACCTGGACGCGTACGGCTGGCGCGTATGTCGTGAA  
TTTACCAAGATCCTCAAAGGGAGAGACCGATGTCTTATGGTACCTATTCTAAAAAGAGATAATAA  
AGGAAGAAAAGATCCGGACAGTGACATCCGGCAGATAGTCTGCGCGGACCCGATTTTACCAAGGATTGG  
GGCTTCACTTGAAGCACACCAGAACAGCTCATGAAGTCGAGAACCCGGACGGCAGTGGCCAATGTGG  
TGGACACCTATGCAGGGAGGATTCAAGGCAACCAGCAGAGACTCGTGTCAAAGGGCAATAACTCTTG  
TGGAAATGGACTGGACACGTTACGATGGTACGATACCAACAGCACTTTCAAGGCATATTAAAGAACTCCG

CTGGAAGATGATCAACAAAGAGCAGCGTGAGAAGTATGCAGGGGTCCACAAGTGGTATGTTGACAACCTG  
TTAACAGGCACGTTCTCCTCCCATCTGGAGAGGTGACGATCAAACACTAGGGTAACCCCTCCGGGCAGT  
TCTCTACCACTATGGACAACAATATGGTTAACCTCTGGTTACAAGCCTTGAGTTGCATAACATCAATGG  
CCCAGATAAGGAGCTCTGGAAGAGCTATGACACCATACTGAGATGTACCGTAAGATCTTCGGTATGTGGGTCAAGC  
TTTGTACCTGAGAACTATGAGGAGATGATCATCGAGATGTACCGTAAGATCTTCGGTATGTGGGTCAAGC  
CTGGTAAAGTCAAAGTGCAGAATACCATCGTTGGTCTTCTTTGCCGCTTACAGTAAATGAAGATCT  
GGAACCAGTACCAACGCAACCAGAGAAATTGATGCCGCACTGCTCAAACCCCTACAAAGCTTGCCTGAT  
TTAGAACATCCATGGGAAACTCCTGTGTTATCAGTTGCTCTGCATTGACAGAACCATCCTT  
TTAAGTGCTATATAGAGCACTGTCTGCCAGGACAGCTAACAGCTTCGTGATTCTGGCTACCCCCAG  
GTTCACAGAAGAGCAACTCCATTACATTGGAGGGAGGACAAAAGACTGTAATGGCTAGCAAGTCTGG  
CAAAGAAGTGACTGTGGAGGTCAATAACACCAATGCCGAAGCAGGAGTAAGTCCCACCCGTTCCAA  
TCTAGGGTCGAGGCAAAGCAGTTAACAGATTACAGTTAACCTCAGAACAGTAGCAAAGGAAGACAGAAC  
GACGGGCAAACGTCATCTGCTAACGTCAGATTGCAATAAACAACTCAGGAAACAGGTGT  
CACAGGACCTAACACAGCAATATGTCAGAAGGCAACAGCTACCCCTCGGACAGTTGATCAAACACCAAGT  
GGAACAACCGAGATTGAAGCGTCATACTCCTCAACCCTGTCTGTTAACAGGATGCTACTGGAAGCACTC  
AGTTGGCCTGTGCAAGCGCTAGGAGCCAGTACTCCATGTGAAATTGAAGTACCTCAATGTTAAATT  
GACTTCCATGGTGGGTGCTCCCGGTTAATGGCACAGTTGAGAGTATCCCTGAACCCACGTCAACA  
CCCTCTCAACTAGCTGGCTGGCTCGGAGCTCGAAAGCATCTGACGTAACGTGCGCAAGAACGCG  
TGTTCAAACTCAGACCAGCACGACCTAGGGGGGCTAGGGACGGCTGGTGGTACCAACACCAACGACAA  
TGCCTCTGACACACTTGGCCCTCCATTGAGATCCACACGTTGGACAGACCATGTTCTCATACAAGAAT  
GAACAATTACAGGTGGACTCTTCTTGTGAACCTGGCATCCGAGTGGTGGTACCGGTTATGCAGCG  
ACCCAAATCTGTCAACTTGGAAAAATCTACGGACAAGAATGTTACGGTAACATTGAGGGTTCTGCCGG  
AACGCCCTCATCATGAACTGCTGCCATGCCAGCCACTTGGCCGACAGCTGTAGCTAGGTCTGCACAG  
CCCACCACTCTGCACGTGCGGTGAACGCACAACATCGGACACTGTTGGCAGGTGCTCAATACCGCAG  
TCTCCGCGCTGAACTTGTGACCCCCCCCACCCCTCAATTGGCTGGTAAAGGGGGTTGGTGGTTGTCAA  
GCTGATTGCCGGAGGACTAGAAACTGGTACAGAGCTTCTATGTCTATCCAGCTACCAAGATGCCCTC  
TCAAACAAACCAGCCATCTGCACAGGTGGCTTCCATCCAGCGCTGACTGCGACTGCCACACCAACCA  
CCTTACAGTTACAAATGAATCAGCCAGCCTGGCCATGGGAAACACCTACGACCTCGGTGCTAGC  
TATTCCAGAACGACACGATCTGGCAGTTGTGTCATCCCACAAATGTTGGCCAATCCGCCCAAT  
CATGGCGTCTACCTCACGGGAAACTACACGTCTGACACTCTCAGGATAGGGCCCTCATTGCCGGAAACA  
ACCACTCCCTCGTGCACATGATTGTGCGGGTTGAGAATCCAAACTTTCAACCGGAAATGGGAGCCCT  
ACCCACCCGGAGCCATGCCAAATCTCAGGCTGTATGGGGGACGACACATATTGGTGACATACTGCTC  
AAATCCCAAGTCCAGGGCCATCCGGTGCAGCAACGCAGTTACTGCCACTGCGTACGTTGTGGTCA  
GGAACACGACTACACCTAGGACCAGCAACGGCTGGCACACAACCAAGGCCGACAGTACTCATATATGCA  
GGTGGCACAATCCACCGATGCAGCAGAGTGGAGGTTGTTCCAAGGTGTGGTACATAATGTTGAGCTT  
GGAAATGGGCAAGCAACACCTGGTACTGGTCCATTCCCAATTACATCCTCAATGAAGATCTACACTA  
CAGTCTCAGCCAATTCTCAACCCAGTGCCTAGACCCCTATACGACCATGTTGGAGTTGGATGACATCGC  
GATACCAGCCCTCCATGATGGAGACGGTGGTGGAGGTGGACGAACTGGACGCTAGGGACCTAGTGCATGAG

TACGAGCTATCATGCAGGCATGCTGGATGGACTGAAGAAGAACACTGTGGCACCTTGATGCCGCTGAAC  
CTCCTCCTTGAGGGGGAGGATGTAAGCGATGAAGAGACAGCTACTGAAACCGAGAGTGACGAGGACGA  
GGATGATGAAGTGGACAGGTTGACCTCACGACTCCTCTGGCTCTGAACTGAGGATGACGATGTTGAG  
AACGATCGCGTAACTCTCCTCAATACTCTCATTAAATCAAGGAATTGAGATCACACCGCTGCTAAGATCA  
GCAAGCGTGCCTACCCACCCTAGCCGAAAAGGTTAGCGTGTGTACATGGACCTGCTACCACGGG  
GGTCACCCCCAGTGCAGCATGGCCGAGGCCTGCAAGCAAGCAGCAAAGCAAGCAGGAGAGTGAATCGA  
AACTCCCTGCCTGCTCCCACCTCTGAGAGCCGAGGCCACGCCAGTAGGATCGAGGGTACAGCTCTCCCT  
CTTTCTGTCTGTTAGATTATTTAACATTAAATCAGAAGCAAAAAAA  
AAAAA

> Astrovirus genome in porcine. Num. access in GenBank : JX556691.1

CCAAATAGAGCTGCCCGTTGGTCCGGCCTATGGCGTTGCCTTGACGACACTCTAGGTTGGTCAG  
CCGCGGCCGTGTGAAAGGCCGTAGGCTAGATTCGTTGCACGTACTAAAGCTAAAGGATTGCTTGGTAA  
TGGACCTTATTCTACGATTGGTCCTTAGAAGTCGTTGACTCTCATCAAAGCAGTTGACTGTGAAA  
ATGACTTCTGTGCAAACCGTCTATGTGTCGTTGAGGACAACCTTATGTTACCTATAAGTTG  
TGCCTGGCGTCAATGAATGGGTGAAACAGAGCCTGTCGCATAAAACCCACAGCTTGGTGGTCT  
CTGGCGTGAATATAATCGCTATAAGGACAAAAGTCTCTCCCAAGAGCTCTCCAACTTAGGCTT  
GAACACTCACTGTTGCCATGATTATGAACGTGTACGTCTCAGCAACCGCAACCCCTAGGTGCCGGT  
TAGGGTTATCACAAAGTTACTTATTGGCTGCTTATTGGCTTTAATGGCACACTCCACCCCTGCATA  
CAAAACACCTGGACTGGTTGGTGAGTGCTGGATACCGATGTTACGCGTAAACAAGTTG  
GTGAACTTCTCCCTGGATGAGACTGAGACCAATCCCAGTGTGGCATAAGACTACTATTAGCT  
GGGATCATGAAGGTCTTCTTGACTTGTAGTCTGATAGCTCCTATCTGGTCTCCTGGCCTATGATAGC  
AACATGGTGGCTCTTCTATGTTGCCACAGCTGAACAACCTGCTTACATGCTGGTTCCCTACTCTG  
GCAACATATTCAAAGGCCAAGTTCTGGCCTTGCTGGCCTACCATTCATGGATATGCCATCAGTTGTTA  
CGCTTGGTTCAATGCTGTCCATTGATGCTGCTTCAATTGTGGGTGGCTCTTCTGGC  
CGCATTACCTTATCAGCAGGTGTCTCATGCCGATGTACGCTACTCTGACCTGGCGTGGCAGTTA  
GTGGTTTCTGTCTCGTCTTAACTATCTGTTATGATGTTACCTAACTGGCTTGTCTTCT  
CCCTGTCGTTGGTTAGGGCCTGCGTGTCTGACTTTCTGTCGCTGAGAAGGTTGAGGTCCGCG  
CCCTGACGGTAAGGGTTAGAAAACCTGTAACCTCCATGCCGCTGGATTAAAGGCATCTAACTTTTG  
CAAACAAATTCCATCAGAAGATAAGAACAGGTATTCACCCACAGCACGGTAATCCAAATGGGTTA  
TCGTCGTGAGACCCAGGATGGCTCAGGAACACAGGTTTAGGTGCCGTAACACTACTGTCAGGACA  
TGGTGTGACGGGCACGGAAACACCCAAAGATCCAGTGGCTGGTCCCTGCCTACTCTAAAGTTGTCAT  
CGTGTGCCGATAAGGACATAGCTTCTGCCATCCCTCAAGAGCTACAGGATCTGCCCTCCTACCGTC  
TGGCAAAGAAGGTTGAGGATGCCCTGTAGTTACATCACATCTTGGAAAGATTGAGGTGGTCTCAGTTG  
TGTCACTGAAGGTGTTAGTGACTGATTCCATAACTTATGCCGTTCAAACCTCGGAATGGTATGAGTGGT  
TCACCTGTTACTAACTGGATGGTAGGATCCTGCAGTACACAAACTAAACCGGCTTACTGGGGCG

CCGTCATATTGACTGATGAGGACTTCCACAACCTAAGAAGTCAGCCGTGAACAGCAACTGAAGCTG  
TATCAAAGAGCTTGAGGCAGCAATGAATCAGTCATCTAATCATGAAGACATTGTGGAGCTTGTCAAGAGCT  
GCAGTGGCCCGAGAATTAAAGTGCCTCGCACTGAGCTTCTGCCACCACCTTACCCAGGCAGAAGGTA  
AAAACAAGAACATCATCGTCGTGGTGGGAAGAAGCGCCGTGCTGGTCAGAAGAAGAGTACAA  
GGAACCTCTAGAGAAGGGTTCTCAAATCACAACTACGTGACATGGCCGAGGTTCTAGGTCTCATGAG  
GAAGATCCGTTGGTCTGACACTGAATCGGAAGGGGTTTCCCTGAATGGTCCGATGTTAGTGATGCTG  
AATCAATTGAACGGGAGTGGTTGGTCAGTCCTGGGAAGACTGTAAGCCTGTTAAGGAAGAGCCTCAAGA  
CACACTTCCTGTGCATCTCAAAGAGAAGTACACCTGGATGCCTATGTCATTAGCAAAGAAGAATTGAGA  
TCTTTGCTAAGGAGTTCAAAGACTATGTTGACAAAGTTGAAGCACTAATTGATAAAACTGTTAACAGG  
GTAAGTGGTACCATCAGTTAACCCCACAGCTATAATTGAGGAACCTAACGATCTATGGTTGCCCTCAA  
CATGCTGATGTGGAGAAAGGCTGGTCTTTACTCAAAGGAAGAAATCAAGCGTAGGGTCAAAAAA  
AACTCCAAGGGGCCCAAGAGGGCCATTACCTACTCCATGATGGACCTCAAAGCTTGGCAGCCTC  
CCTGTATGAGGTTGAGCGTCGCTTAGTGCCAGAGGACTACCCGCTTATTGGTGGGTGCCCTGGACAGG  
CCTATCTCTGACTGGATGAACCTATTGATGACTTACTCTTAATGTTGCCAGCATTAAAGAAGATCTTA  
ATTACACTCCTGCTGTTGGGACCTGAGGCCTATACTAAATCTTTGAAAATTAACCTATAAGAGAGCC  
TTGCCCTAATATAGCCGCCACGTACCCACGTGAGTGGTCTTGCAACAAAAGCTCTGAGGAGGGAGTAC  
TCTTTCTGCTGATTCTGTTGACTGACATTGCTGCTACATCTAAGAATGCTGACTCGACCCAGCTT  
ACCTAAAGTCTCTTATTGGAAAAGTGAAGCAGACTATCTGGTGGAGGATATCAGGATTACATTAG  
GCAATTGGATGCCATTACTCCGGAGAACGTCCAGATGTCCTATGGTACCTTCTAAAGAAGAGATC  
CTGAAAGTGGAGAAAGTTGTGCAATCTGATATAAGACAAATCGTTGTTGACCCCTATATTGCACGTA  
TAGGATGTCACTTGAAGAAGATCAAATGTCAAGGATGAAAACCACACTAACGACACGCTCTGCCAATG  
TGGTTGGTCGCCCTCTTGGCTTCATGACAGGATCAAGCGGTATGTGCTTGACCCCTGACTGT  
TACATAGAATTGATTGGACACGCTTGATGGTACTTACCCATGAGGTGTTATGCACATCAAGAGAG  
TCCGCTACTCCTCTTGCAGGAGTTAGGACGAAGCGTGTCAAAGAAGCTTACCAATGGTACTGCGA  
ACAACCTTACACAGGCACGTTGTGCTCCCTCGGGCAGGTGACATTGCAGACCCGTGAAATCCTCT  
GGACAAATCTCCACTACCATGGACAATAATATGGTAATGTGTTCTCAAGCATTGAGTACGCCATC  
TGCACCCAGACTGTACAGATGATGAGCTGAGGCAAATGGTCTCGTATGGACACCCAGTCTATGGTGA  
CGATAGACTATCAGCATATGTGGCTACCCGCCATTATGTGGAGAGGGTTGTACAATGTATTCAGAT  
GTCTTGTTGATGTGGTGAACCCAGAAAAGGTTATGTCTCCCCAGTATCATAGGTCTCACTTTG  
GTCTTAGAATTATTAGTGTGAGTGGTACCGCCTCTTACCTGTTCCAGCTGAGACCAATAAGCTTATCT  
TCTCATTAAGCCAACCAAGAAATTACAAGATGTGATGACCCCTATGGAAACTCCTTGCTATCGCATC  
CTTGGCCATAACCTCCCTGATGACAACAAGTTAAGGCCTACATTGGTGGCCTGGAGGTTGTGCTA  
GGCACATCAGGACACGTTGTGGTATGGCTGGTATAAGCTCAACGCATCTGCCAAAGCGCACCTTC  
GGCGGACCAAGGTCGGATATGGCTGGTATAAGCTCAACGCATCTGCCAAAGCGCACCTTC  
GGAGGTTGCCAAGGAAGTTGTTAAGGAGGAGAAAAAAACTCAGGCACGTAGGCGAAATGGTATAAGCCC  
CGTCGACAACAAAATCAGCCCCAACAACTAACGCAACGGACTACTGTGAGCAAAACAGTTGCAAAGA  
AATTAAAGCAGGAAGGCTTGGAGGACCAACGGCCCCGCTTCTCAGTGCAGTCTCGGCAACTATTGGAA  
GATAGGGCCAATAAGAACAGGGACCTGAACATTCAAATTCTCATCCCTCCCTATGAAG

GAACCAAATGATGGCACCAACTTGGCCTCTACAGGCCGCTTCAGCGCAGTGGGCTTGTGGCGCTTG  
 CAGGCTTAAAGATACTGCTGTACGCCCTGGTGGCCGTCAGCGGTGACAGGCTCAGTTATAGGTTTC  
 CTTGAATCTTACACAATACCCCGTAACACTTCCTGGGTGGTGCACGTAAACATATTGACGTG  
 CCAGTTGGAAAGCAGTCAACTTGGAACCTTCATAGGGTGACTTGGCCGCCGACAGACGTGGTGA  
 TGACTGACACTAATGAGGAGGGCGGTCAATCTTGTGGACCTATGGTGAGATCCATGGCTTAGGGAAA  
 TTCTTCTACTTATAAAGACGCCGACTGGGTGGTGAATTGTAGAGGTGGTGGACGCTGGAG  
 TTCACCAACTACAATGCCAACACCAGCCCTGGAACACTAGATCGTGACCGAGGACGTTCAAGCCGTA  
 TTGAGGTTGGCTGGACGGATCATGACTATGACTCTCCCCAGCGTTCAATTAGTTAACGATATGTC  
 CACAGCTTATGAAAAGCTACCACTGAATGCCCTACGGTGGTGAAACCATCTGGCAGATAGTTGAA  
 GGTGCCGCCCTCATTCATCTGGTGCCTTGGCTGGCTCATAAAAGGGGGTGGTGGTT  
 TTAAGAAAGCTATTGGTAGGTCTAACACGGATGGACTTACTATGTCTACGCTCTTGCAGACGCTCA  
 AAATAACAAACCTGTTGAGGCAACTCCTTTCACGTATACTGCCAGACCATTGCATCCACCCAG  
 ATTAATGCACCTAACACTGGGCATCTCTCTGGTTATCTCTACCCCTGGGTTGTTACAGGAG  
 ATCTTCCATCCACGCCACACCTTGAGGTTGGTTATGTGTCAGGCATGTTCTGTTAACAGAA  
 TACAACACATTCCCAGTTATAATAATGTGTTCCAGTAAAGGGCCAAGATGCTAGTGATTACGCATT  
 TCCATTATGCAGAACCTACCCAGGTAGCTGGTAAAGGCATGGGTGTCATCTTCAGTCTGAGCCGG  
 TATTCTTAGGTTAACCTAGACACGTCAGCGCACAGTAGATAATATCTTGTGATGACACACC  
 TGGTATCGGCTGGACTGTTATTCAATCTCCATCTAACCAATTGCCACTGTGCAAGATGTTGGCG  
 TATAAGCATGAGAAGTGGGAGACGACCTCAAGTTCTCATCCTGGCTTGCGCTTACGAAGGAAATCC  
 CTGAGTCATCTGGCAACTTCTACTGCCTGTTCTGCTCCAGTCATTCCAATGTGGACCAGGCCAGT  
 CACCATAGTTTAAAGTGGCAACTCCTAAGTGTCCACTTCTCCTGTTGTCACATATGCCGGTT  
 TCTGTCTCCTCTGTGCAACCTGGTACCTATGGTGTCAATTACACCCTGGCAACTATAATGTGACTGACG  
 CGACTGGAGTGGCCTCTGCACCAACCTAACGGGCTCTGTTAATGATAGGGTAGTACCTGGCCCTTC  
 TGCAGTAACCTGGGATTACACCTATTGCTCACGACTCAGCTCCAAATTACTTCCTGTGGCGAAC  
 TTCTTCGGCCGGCATCCGTCGACCATGATTGACACTCTGATGGAGCAAATTGCAAAAGATTGGTC  
 TGAAGCCGTTGAGGCCAGACTATAATTCTGATGATGAGAGTGATGTAGAGCCTACTGCTGCTTCAAATT  
 TGCCAAGCACAGCATGTATGCTCCGTGATTCTGATTGGGATCACGGTATGCCGATGCTCTCATC  
 CATTATTTCGAAGGCATCTAACGCCCGAGGCCACGCCAGTAGGAACGAGGGTACAGGGGCCAG  
 ATCTTAATTGATTCTTCAGATTCTTAAATTGATTCTTTCTTAAAGGGAAAA  
 AAAAAAAAAAAAAAAA

> Astrovirus genome in dog. Num. access in GenBank : JQ081297.1

AGCTCGGTACCCGGGATCCTCTAGAGTGAGATGAAACCTAAAGCGCGCTATAAGATAGCGCAACACCT  
 GACTACTCCACTGTGGTTGTGTTAGCATACAGCTCTAATGGACTTGTGTCACAAGCGCAAGGCCAAT  
 GTCACGGGGATACCATCTCCTACACTGTCCAACTCAGGATGGTATGTCAGGGCACCTGTCAGTCACT  
 ACATGGCCGTGTGCTTGGTGTGCATCAAACCAACACTGGCTTCACTGGTGGTGCCTAGTTATAAAACA

TCAGATGTAACACCTCCAACACGCCAACTGAGGATGACATGCGTAAACAAATTGAAGACCTACGTAAGC  
AACTTGAGGAAGTTAACAAACCCAACCTCAAGAGACATTGGAACAGTCAGGCTGAGGTGGT  
TTCTCTCGTGAGAGAACCGTGAGGCAGGACATACTACGGCAAGAGATAAACCAAGCAGCTAATG  
TTGCAAAGAAGAAGGTAAAAACAAGGGTGGTGGTGGTACAGTCAGAAAACATGTTGGTAAGGTTA  
AGGGCAGGAAATACCTAACTGAGAAAGAATACAAAGAAACTCTGGAGAAAGGTCTTGACAGAGAAGAGCT  
CCTCGACCTAATTGATGACATCATAGACAAGAGGATAGGATTCCCTGAATGGAGTGACCCAGGGCTAAGT  
GATGATGATGATTCAAACCTGGGACACATATGGTATGAAATTGACCATCGTATGTTGGGTTACAATCAA  
AACCCAAACAGAAAATTAAAGGAAGCAACCCATGTGTCATACAGGTTAGGAAGTTGCCCCATTGATGA  
GGTTACAATTCAAAGCAACTGAGTCTAAAGACTTTACTCAACATTGGGTAAGGAACCTGTGTTGAA  
TCATACGACTTTGACTGGACTGCTGAGGATGCAAAGAACATACTACCTGAAAACCTCTGTTAACTAAAT  
GTGACTACATAGTCCTGGTAGTCACATCCTCAAGCCTAGGCACATAATAACAACAGCACTTGAAACCAA  
CAACTTCAGTGAGTTGCCTAACGGCAGTCTATGCACTTGATCATTGCTGGGCCATGGTAGAGGGC  
TTCCCTACACGGATTAAATCCAAGAACGCAAAACAGTGAAAGGGCTCCAAGGGAGCCCCGAAAATG  
GCAACTAGACTACTGGCAAAACTCCTTGAGGAACCACGGTCAAGACGTTGTACCGAAAGCTACCCA  
TTATTAGGCCATTAAAATTAGATAGACCAATTATGATGACAAAATACCAAAGATGATCCGCTCAAAT  
CCCTACCAGTTCTGATTGGCACGAATTGAAAAATTGGACCAACTGTGTGGGACCGCAAGCTTCAC  
CAAGTCTTGAAAAATTGACTATGCACCACCTCAAATTCTTGAGCAGTATCCAGAATTGTAAA  
TTTGCTAATTGGCATTAAACAAATATGGTTCTGAGGATTCCTGAGGATTATGTCCGGAGCAAAGCTAAGGTC  
CTGAGAAGAATCAAGACTCCACGCCCTGCTATCCAAAGATGCTGACTATGACACCGAAGCCGACTTCTT  
GGAAGCAAATGGTGGTCACCTTATGTTCTGAGGATTATGTCCGGAGCAAAGCTAAGGTC  
CTCTGGTACTTGCTCCTCAAGAAAGAAGTCATTAAGTTGACAAAATTGCTGACTCAGACATAAGACAAA  
TTCTATGCAGTGACCCATTATGTTAGGATAGGTGTGGTACTTGAGGACATCAAACAGCTTATGAA  
AAACAACACTGAAAAACCCATGGACAATGTGGTGGACACCAATGGAAGGTGGCTCGCTCGCATG  
AAACGCCATTCTCAAAGGTAAACGCACATTCTCGAGTTGATTGGACCAAGATTGATGGTACTATAC  
CATCTGATTGATTGACATATCAAGAAACTCCGCTGGAGTTGGTTATGCCAACAAAGGAGGAAATA  
CCAAAAACTTCATGATTGGTATGTTGACAATCTGTCAATGCCACTGTGCTACTCCATCTGGTGGAGGTT  
ACAGAACACATCGTGGTAATCCATCTGCCAATTCTCCACTACCATGGATAATAACATGATCAACACAT  
GGCTCCAGGCTTTGAATTGCTATTCCATGGACCTAACAAACAGCTATGGATGAACTATGACACCTT  
GGTCTATGGTATGACAGGCTGTCAACAACCCACTCATTGACAACATGTTGAGAGAGTTGACTA  
ATGTACAAAGATGTTTGGGATGTGGTTAAGCCTGAAAAGTCAAAATCTAACACACCATTGTTGGTC  
TCAGTTTGTGGCTTACTGTAGATGAGAATCTTGAGGCAATACCCACACAACCTGACAAATTGATGGC  
CTCACTTCTCAAACCAAGCATCCAAACTTCCGGATCTGAAATCACTCCATGGAAACTCCTGTGCTATCAG  
CTCCTCTCGGCTTCTACCTGAGGAACACCCCTTAAGGTGTATGTCGAGAGTTGCTGGCTGCCACTA  
GCAGGCAGCTCGTGATTCTGGTTACCTACCGATTACAGAAAGAGCAATGCGATCGCATATGGAGGG  
AGGACCAAAATTGCGATGGCTAGCAAGCCAGGCAAAGATGTTACCGTCGAGGTTAAATCCTCCGGGAC  
AAAATCAACATCCTCCAGGAGCAAATCCGGGGCGAAGCCGAATGTCAAATCACTGTCAACTCACA  
CCAAGGGCAAACCGAAGGAGACGAAACAGACCTAACAAATCGTGGTCGCAAGAGAGTTGAGGCTGCGTTA  
AACGACAGCTCGATAAGGCTGGAGTCACAGGACCAAGACCAGCGATACCCAAACTGCTACATCTACTCT

GGGGACTATTGGCCGAATACTCGGGTGCAGTAGAGCTGGAACCTTATGAACCCATGCTTA  
 GTCAAAGAATCAACAGCTTCAACTCTTTGGACCACATCCAAGCCTCTGCAGCCCAATACAATCTCTGGC  
 GGGTAACTAAAGCGGATGTACGGCTTACACCTATGGTAGGCCGCTGCTATTCTGGCACTGTTATCG  
 AGTATCCCTTAATACAGCGGGGACCCCTCATCAACAGGATGGTCTGGCTAGGCCAGAAAACACAAA  
 GATGTTAGGGTGGGTGCTATGTCAACTTCAGAGTTACTGCGCGAGATATGGCGGGCCACGTGAGGGTT  
 GGTTTGTACCAACACAAATGAATCAGGGGTGAATCAGTAGGACCTACAATAGAGCTACATTCACTTGG  
 TCAAACACAGTCCACCTACCAGAACATGCTCCATTCTGCCCTGTATTCTGTTGAGCTTCACTGCACT  
 TGGCAATTGCCAACATAGTCCAATCCAGCACTTGCACTCCCTGAGAAAGGAGAGGATAAGGATGCTG  
 AGATCAAATTGAGGGTGAAGCAGGACAACCAACTAACATGACTATTCAACACATTCCAACCTGGCTAG  
 GGCTCTTGAACAAACAAATCAGCGATGCCCTATGCCCTAGGTGCGCGAGCTGCTGGTGAATCAACATCTGAC  
 ACCATATGGCAGATCGCTCAACTGCAGTAGATGCAGCCTCAGTCATTGTTCCCCGCCCTTCAACTGGC  
 TTGTTAAAGGCGGCTGGTGGTTGTCAAGAAACTTGCAGGGCGACCCGAACGGTGAGCTCAAGTCCA  
 AGTCTTGCAGCTATGAAGATGCACAGAACACAGGCCGCAATTGTCAGGAGCTGCTCAAGGCAAT  
 ATGTACCAAGACTTCATAATGTGAAGTTGTCAGATGAATGCACCATCGACTGGTATGCCACCTGAGT  
 CTGCAGTAGGTGCTTCAGTGTACCCCTGCCAGATGCCAGCTGTTATTGGGACAACCTCAAACATTG  
 AACAGGTGTGTTCCAACAATACCAACAGAACCCACCATGCCAACCTATTGTCACCACAACAAACAAA  
 GTGGTTTAAAGGTGAGCACTATGATGAAATCAATTGTTGTCAGGGCAACAAACACCCACATCT  
 GGCTTGAGGTACTCAACCCAATTCCAGGTCTCCAGCAACACTAGTGCGTTGGACTTCATGGAAGTGG  
 TCAGAAGAGTAACAGTCAATACTAACCTAACCCGGGAGAAATTGGGCTATTCAACACAAAGTCTCTAGC  
 ACTAATGCCAAAGTGTCTAACATTCTATGTTGCCAGCTTAGCCCAAATACGCTACTCCAACATACA  
 ACAAGTTAGGTATGCTTCTGGTAACGGGTCAACAACTTCACTCAATCCAATTGCCACTGAATATGA  
 TCTGCAGTTCTGAACCTCAATCCAGGCCCTGGTCATTGTCATGCCATGCACTTGTCAACAGTTCA  
 ATCCAAGGCTTGTGCTACTGAGAATCCATCAAGACCAACAATTGTCAGGCCCTCTGCAGCACAAAC  
 TGCTTGTGTCAGGAAACAATGTCGCAGCACATGGTAATTGATTCCCTCAGAACACACCACCAACTT  
 TACACAACAAGCAGAACACAGCCTGTTGATTGCCACAGCCATTGAAGATGGTTTCTTCAGATTCT  
 GAAGATGAAGAGATTCTGATGATGATTCTCTTGATGATGATGATTGTTCCCTGTTCTGATCAGC  
 AGGTTTCCAGTCGCCAGGTCTTCAAGAGCAATGGCAACGAGGGTGGCAGAGGACCAGGCTGA  
 GCCCTTGCAACACGCCCTCCACACTAACAGTGGAAAGAAACTTAGGGATGAATTAGTCGGACTC  
 GCTGACGGCTTTCGCCACGTCAAGCAGCGAAATGCTCGTAAAAGTGTCCCAGGCCACGCCAGT  
 AGGATCGAGGGATCTCTAGAGGATCCCCGGTACCGAGGC

>Astrovirus genome in porcupine. Num. access in GenBank : KJ571486.1

GTCAACCACATACCGGACCACCAACCAACGGTTCTCACCGCCGCCCTCATGCACGACAGATCTAGAAAGG  
 CTAGGGAGATTGAGCCTGCGAATGGATAACGAGATCCTTAGAGGCCAGGTGGCATTCTGCGGAATGA  
 GACTACCACAACACCCGCTTGATTGAGCTGGCCGACCATCTCGCGCTCATCTCCTGGCTCTCG  
 CTTTCTGGCACACGGCAAACGGCTCACAAACATCCACGACTAACCTGGGACCCATCAGAACATGC

TGGAACTAACAAATGGCTAGAGGATTATCAACAGGGCGAAGAATAACAATCCATACACACCACACTAC  
TGTTGTTAACGCTATTGTTACCTGCCATCATGGATCCTCGCTAGTGCCTCATCCCCATCTGTGGCAT  
GTAGTCGCAGTTGTTCTTAGTATCATCAGTCTACAGGGCTCAGCACGTGCTTATCAATACTCTACG  
TTGCTGCTGCGACTATCAGTGGTGGGACTGGATATTCTGGCGAGTGCATCCATGCAAACGGCAGTGAG  
TTCTATCATCCAGATTGTGTGTTGTCATCTCCCATTGACCCCATGGGAGCGATCTGTGCTCTACC  
CTCGCCATGTTCTCACATTCTAGTCAGCATGTGTTAACAAACACTGAATTATCCAGCATTCAAGGG  
CAGCATCAGCCAACACCATCATACTAGTGGCCTCGCTGTCTGAGGACGCTTAATCTACCATCTATGCC  
ACTTGCCCTCGGCCTTGCTTAGTCAGCGTACACCCACTAACAGCCACCACGGGTGCTACAGTTGAA  
ATACGTAGTGTGATGGAAAGGTCAATTCCAAGGAGAACCTGAAACCTGGGCTCCTTTGCTCAAAC  
AAAGCTTGCAGGAAAGTCGCTCAACTGCGCTCCACTATGCCACCTTGGTGCAGGGTGAATCCAACAGCAGT  
GTTACGCATTGAGACACCTGATGGCATTGGGACCGGCTCCTGTGCAAACACTACATTGTAACAGCTGGG  
CATGTTGTTGGCAACACAAGGTTGTTAGCATGTGTTGGTAATGCAAAGTACCAAGCCCTGTAGCCC  
GTCACGTTGATAATAAGGACATCGTACTCCTCAAGATAACGCAACCTCTACAAAGCTACCCCTGCTCAA  
ATTGCTAGCAAAATTGAGACTGACTGGTTGTTGTTACTCACCTGACGGTGAGGGTGCATCGTTCA  
TCAGTCACCCCTGGCACCAAGTTGAGGAATGCCTGACTATGCAACACCAACCCGTGACGGCATGTCAG  
GAGCTCCAGTGGTTAATATTGGCGGCCGGTGATGGGTGTTCACCTGACTAACACTGGTTTACAGGTGG  
GGCTCAGATCATCACCCAGGCTGATGTCACAGATCCACCCAAGTCCACACCCACCGAAGATAAGCTCCGT  
GCTGAACCTGAAGATCTCAAGAACGCAACTGGCAACCTACACCCAGTCTAGCACACATGATGACGTCATTG  
GCCTCATTAGGGAGGCTATGGCTCGGGAGATGAAAATCTAACAGAGCTGAGCTGAACAAAGAGCTTGC  
TATCACCCAAGACCAGGACGACTTTTACAGACTAACAGAAAGGTAAGACCAAGAAGGGTGTGGTGTATC  
AAGCTCCGACTTGCTGGTGCAACGAGGCGCAAACAAACGAGGCCGGTCTCACAGAGCAGGAGTATCAAG  
AACTTCTGACCAAGGTTAACGTTGATGACATACGCGACATGGTGGCCAGCTCTATGAGGATGAAGT  
TGCTGGTTCCCTGAATGGGAGGAAATGAGTGATGGCTACGATCCAGATCAGGACTGGGAGTTGAATCT  
GATTCCGACTTGGACAAAAAAATCACTGTCAGTCCTCAAACAATACCTGAGAGGGACTATGATC  
CAAAGGACGTGGAGAGCATGTTGAACTCCCTACCATGGCTGATGTTGAAGCTATTGGACCACTCTATCC  
CATGGTCGCCAAGTGCACAGAACACCCTGCTCGCGCTTGTGTTAGTGACCGCTACGCTGTG  
TCCAGTGGCTATCACCAACCCCTCAAGGTATGCGCTACACCCAGCGTGGGTTCCAAAAACGAGAAGC  
GGGCCAGAACCAACGGGCCGGAAATCCACAAACTAGATGCTGGAAAGCCCTGCCCTACCACCGCGC  
AGGAGCTAGTGCAGACAACCTACCCGGTTGTCGCAACCTTCAATCGATAGGCCATTGGATACCA  
AGTTAGCTGATGACCCCTACTTGGCTGTTACCAACATGTGACCCAGACCTCCCTGGACCGAGCCGT  
TTGGGGCCTGAGGCGTACACCAATCCTCCAAAATTCTACTACGAGAACATCAAATTTGGAA  
CTCTACCCGAGGAATGCGCTTGCAGACAAGCAGTGGCTATGCACTATAACTCCTTGAGGATTCCC  
GCGTCATCCATATAACCTCAACCGATAAAACATGGATTCAACACCAACAGGATACCCAAAGTGCAGGAGTGA  
TGAAAGTGAAGCGGGACTACCTGAGGATAATGGTGGGACCTACATCAAGGAGTCAAACGTGTAGAC  
GCTGGTGAGAAACCTAACGCCCTGTGGTACTGCTTCTCAAGAAAGAACAGCTCAAGAAGGAAAGATCA  
AAGACGGGGACATACGACAAATAGTCTGCCCGACACAATCTACTCTAGGATTGGAGCTGCTCTCGAAC

GCATCAAAACAACCTTATGAAGAAGCATACTGAGGATAGCAGTGGCAATGTGGCTGGACTCCCTCTT  
GGGGTTTGAGAGGAGGATGCGCAAGCTGACCATGGCTACATCATCGAGTCGACTGGACCCGGTTG  
ATGGAACAATTCCAAGGGCACTCTGAAGCACATAAAAGACCTGCGGTGGGAGAAAATGAATAAACACA  
CAGAGAAAGATAACAAGCATGTCCACGACTGGTACGTGGAGAACCTCTAACCCGCTATGTGCTCATGCC  
TCTGGTGAGGTGACCCTCAACGCCGAGGTAATCCGTCAAGCACAAATCTCAACAACATCAGACAACGTG  
TGGTGAACTAUTGGCTCCAGGCCTTGAGTTGCCTACCTCAACAAGGGAGGATATCAATAACCTCTG  
GAAAGAGTATGAAACCATCGTCTACGGTGACGATCGTCTTACCTCCACCCCTGCATCCCTGACAACACTAC  
GTCGACCGCGTGGTCAAAATGTACAAACAGTCTTGGAAATGTGGGTTAAGCCAGAAAAGGTCAAAGTC  
CAGATACCATCAAGGGAGCATCATTCTGTGGCTCACAGTCGGGAGAACTATCAGCCAATTCCAACCAA  
TCCTGACAAACTCTGGTCAAGCCTTGTACACCCCTGCCAAAGTGCCTGATGAATTAGCCCTATGGG  
AAACTCCTAGCTTAAATCTGATGCACAACAGTGAGGAACACCCATTAAGGAATACATTGAAAAAT  
GCCTGCCGCCCTAGAATCCGGGTGTACCTGCCTAAATTACTGATGAGCAGCTGGATCGTCTTGGAG  
GGGAGGACCAAAGACAGCATCTAATGGCTAACGCCAGCAGAGGCGTCCACGCACACTACGACTAACAT  
CGTGGTGCAGCAATGGAACAGCTGCGAACCAGGGCAGGGCATCTGGTGCAGCAACAAGTAATAGAAGAAGA  
AGGAATAGGGCGAGGAGACAACCCCAGGTCAACGTGCGGTGTTACCCCTCAAAATAAGGGTGCAGGCC  
GGTTTCCTAGGCAGCCGGGTGTCGGTGGTGCCTGGTACGGTACGGTACGGTACGGTACGGTACGGT  
CGGCTCGAATGGGAGTGAACAGATAGAATGTGAGCTGACATGTCTGATGAATCCAGCCACCATGAAGGAG  
GCCACTGGTAGCAACAGCTTGGCCACTCGGATCTATGCGTCCACATATTCCCTTTAAGATGACGC  
GTTGCGTCGTACGTTAAACCAACTCGTGGGGACAGTGCTGTATCCGGACAGTGTGTCGGTCTTGG  
GAACCCGACATCGTCTCCATCCAAACATCCTGGAGTGCCTGGTGCACGTAAGCACGTGGATGTGACG  
CCTGGAAAGACCGTAGGTTATCCTACCACCAAGGACCTGGTAGGTCCGAAGGGGGCTGGTATAAGA  
CAAACACTAAGGGGACCCATGATGTCGTTGCAGGTACACTGAGGTACATACCTGGGAAAACAAT  
GTCCACCTATCAAACAAATGCCTCACAGGAGCATTTCCTGGCTGAACCTGAGACCGAATGGCAGTT  
AAGGACTATGCCAGCAACCAGGTATGCTTAATCTTAAAGGGAAAGATAACGCGCAGGCTCAAATAA  
CCACTGATGGCTGGGAAATACAGCTTGTGGTCCACGGACACAGTCATTGAGCAGGGTCTAGCCTATTGCCAC  
CGCCGCCAGTGAATCATCTGGTTAGTCACGGACACAGTCATTGAGCAGGGTCTAGCCTATTGCCAC  
CCGTTGGTGGTTAACCGGGTGGCTGGTGGTTAAAAGAGCAGCGGGTGCCTGTTAGGGCCG  
GCAACACCCTTGATGTATATGCATCAATTCTGACGCCCGCGAGCATGCCATGTATTGCCACAG  
TGCTAACATTGAGCTATAGTAGTGGCGCCTTCATTTCAGCAAGTCAGCCTGAAATACGGGATA  
AGTACAGACATGCCCTCTACCCGGCGATCACCGAGCCACTCCACACCGACCCAGTGCTATGTCACAA  
CTGCCTCTCATCAACATAGGCACCACCCGGCACTACTGTCAACTATGTTCCAGCATTGCGCATG  
GAGATCTTGGGAACTAGCCAGAATGACATCAATGGCGCTGGTTATCGTTGGCTCCAAAGGGTAGCG  
ACGTATAACCTCTATAAGTGAACAGTCTCAACTGACATAGGTGCAATTGATCCGGCATGTTGACAACC  
GAGTGCCTCTATTGCTAACCGGAATGAGAGTAGGCAAGCCGGTTGCTGCTGCGCAATA  
TGACCATATGGACTACTCCCCATCCCTCCGGTTCTCAGTACTCGTCTATGCCACGTCAAGTGAAGCT  
TTCAACTTCATCGAAACTGGCGCACACGACTGTCACGTACCCGTTACCTACAACACGATGAGTGTG  
CTGCTAACGATCAGCACTCCAGAGGCTACCAACCGAAAGATAACCTCCGGCTCAAGTTGAGCCTGGCAACTG  
GTACGTGGCTCAGTTGTTGCTGGAGTTGAGTGTGGACAGGTACTATAAGGTTGGCAATATCATCGTTGCA

TCCAACGCCACGTCTCAGATCTCCAGTGAGGATAATTACTTCTACCCCAGTCGATGACGCTCATACAG  
GGCTCTTACCTGTCTATATCTCCGGCTTGCCTGCAGGTCTCACAAACGAACCAGGTGGTGAGTGACAC  
TGAGACTCGTAACATCACCAAGACTTGACCCACCCCTCTGGCGTGTGATTACCGGGGGGACCTAC  
TATAACCTGAAAGAAGAAGTTGATGAGGATGACTTCCTGAGCCCCCTGCCACTTGACTCAGACCTAG  
ATGATGATCAGGACCTGAAATGGGGCCAGAACGACACTATTCCGATCCACCAATATCCCAGGGTTGGTGGT  
TCGTGATGATGCGTTGCCTTGTATGAACAGCTTCGCGACGCACACAGAACGGCAGCCCCTGGCA  
GTAAATCAGCTGTATCCAAGCGATGAGTACACCGAATTACCGAGGTGTACCATGACCGTTAGCTGACG  
GCCTATCACCTAACGGAGGCTAGAGCTCAAGCTCTGGGCTTAGGATGGCACTCGTGTATGCAAATTCT  
TAATCATTTCAGTTCAATTGTGATTGATTAGCATAGGTGAAGGGAAAAAAA

> Astrovirus genome in fox. Num. access in GenBank : KC692365.

AAGGTCTTATGATGCCGTCTTATCTTCGGCTCGCCTGGTGCAGACGTAGAGGTATGCAGCTCAATC  
TTCTTGCAGGATAAAACTGGAAGACATTCTGCATGGGGCCATTGTGTTGAGTCCATGATA  
TTAGTGTGTTGACTCTTCTACTGGTACAGTCACCCGACAGCCAAGAACGTTAACACATGGTGTGAGATC  
TGGTGTATCTGGCAGTCAGTATGTCAGTTATGCTTTGCTCCGGAGCTAACACATGGTGTGAGATC  
GACCCCTAAATGCACAAACCTACTGCTTAGTTGGTGTCTTGCCTGCGAACACTCCAGACTCAGGGATG  
AGAATCTGGAACTAAAGCGTCAGATTACAGTTAACAGTTAACAGCTAGAACAGTCAAGACGATTGCTGTATC  
ACGCCTTCAGGAGCGGATTACACCAACTATGAAGAACAGTCAGTTGAAATGGCTCTTATTCAATG  
CTGTTGGAAACTCCTGATTTCATCGTGTAAAGCTGAGGGAGATATGGTAGATGCCCTGGATGTGGACT  
TGACGGAAACAGCGTCACCCAAACTGCACGCAGCTGGTCTGGAGCGACCTGAAGAACCCATATCACA  
ATCAGACACGATTGTGATTGGCTACAAGAAGTGAATTACAGCTGATTAATGCATGGCATGCATCTGGA  
GCTCCATCAGTGTAAAGAAATGCATGGATTATGCCATAGATTGGCACGTGTTGGCACGGCATAGGCT  
TGGCTATGTGATGTATGCCAACATCCAGGTTATGTTGACAACCTTAGTTAGCAACGCTATCTAG  
GGTACAACCTTTGCCTTGTCAAGCAATACCTAGCCTTGATATAGTATCCACGATTCTTGTGGATATCC  
ATGCTAGTCTACATGCTTGATCAACCTATGGCAATCCTAGCTTCTGGAGTTGCAGCAGCTG  
TGGTCTGTGATGTTACCAGATCAAAACTATAGCCAAGTTACAGAGGATCAGGTGTTATTAAAC  
GATAATAGCATCTCATGTGGCTCATATTACACATTCAACATGGCTTGTATTGCATTAATAGTCTTA  
TATAGGTATATAGAGTCACAGCCTTGTCCAGAACGTGTCGAAATTAAAGGCCAGATGGAAAG  
TTCAAGAGGTAAATGCCAGCCATCATGGCTAACTAAGGTTAGCAAAGTTCTTAATCCTTGTCA  
GAAAGTCAGAACTGGCATAGCCCCTACTGCTAGGGTTGTTCCAATGGGTAGTTATTGTTGACACAAAA  
GAGGGTACAGGTACGGCTTGGATGCGAACATTACAGCTGCACATGTCGTTGGTAACGAGG  
ACACTGTGCGCATTGTCTGGGGGGTGTCCAGGCCTTGCTAAAGTTAGACATCCTACAAAGGA  
CATCGCATTCTTATCCTGCCAACAGAACATGTCAGGAACATACCTACCTATAAGCTGCCAACAGATAGAG  
GATGGTACAGTTGTTATAACCTCGTTAGATGATGGAGGAGTACTAGCAGTATCAGTATCTGAAGGTGTT  
TTGTCAATAATAACATGACATATGCTGTGCATACTAAAATGGAATGAGTGGTTCTCCGGTTACAAATGT  
GGATGGTCGTATACTAGGTGTTCATCAAACAAACACTGGTTCACAGGTGGTGCAGGTGATCCTAACTAGT

GAAGATTTCACAGCAAAAAACCACAACGTGAAATTGACCTAGAAGCTAAGGTAGAGAACTTGAAG  
CCGTTGGCAGCACCAAACAAAGTCAAATATTGATGATGTTGACTGGTCTGCCGTGCG  
TAGAGAAATGCAGGTCTTACGGCAGGAACGGTCAACTCCTCTTGGTCAAGCAAAAGGTAAA  
GCAAAAGACGTCTCATGGGGGCCCTGGCAAGAAACTAAGGAAAGCATTACGGAGGAAGAATATAAG  
ACCTTTGGAGAAGGGTTTCACCAAGGAACAGCTTCGTAATATGGCGGATGCTATACGCGAAGCTATGGA  
CTATGCTGAGGAAGAAAATGAGTATTGAGTATTGCTTACCTGATTGGTCTGACCATGATTCTGATGAGGAG  
ATTGAGCGTGAATGGTTGCCAGTCGGCTGGAAAGACTGTGAACCAGTCATGGAAGCGGTTAGAGA  
CTTACCCATTCACCTAGAGATAAATTGGGCTTGACTACTACCTCATTACTGAATTGAGGCCGTCA  
ATTGCTAAGGAGTTGCAGGACTACAAAGAACATTAGAGTCGTTATTAGAACATGTTGAAAGAAC  
AAGTGGGTCAGAACGATACCAAAAGCAGTTAGAAGACCTGAACACCATGTGGTATAACTTAA  
ATCTTTGGAGAATGGCTTAATTCCATTACACAAAGGAAGCAGAAGCCAAAAGTGAAGAG  
GGGCCCAAGGGCCCCAATAACTTATGAAGAGATGCGCTGCGATGGAGAGGTTTGAAGAAC  
CATGTGAACGCTATTAGCACCTCCAATGCGAATTAGTGGTACATCCAATTGACAGACCAATATC  
TGATTGGATGAACCAATTGATGATCTCTGAACTTATTACCAACATTGATGATGATATTAAATTATGGT  
CCATCTGTTGGGTCCAGAGGCCTATTGAAATCATTGAAAAGTTTCTATGCGGAGGCCATGTTCAA  
TGATAAAGGAGACATACCCAGGGAGTGGTACTTGCAAATAAGGTGCTGCACCGTAGTTAATT  
AGAAAACTCAGTTATTGACATAACAGCTACATCAAAGAACCTACAGACTCTACACCAGCTTCAAAG  
ACAAATTATTGAAAGACTGAAATGGACTACCTAAAGAGAGGGCTACCAAGATTATATCAAGAACATATG  
AGGCTATCTGAATGGGAGAGACCACGTGCTATGGTACTTGTGCTGAAGAAGGAAATCCTCAAACA  
GCGGAAATTGATGAATCTGATATAAGACAAATTGCTGTTGACACCAATATTGCCGAATTGGGTG  
TGCTTGAGGAACATCAAATTATTGATGAAGACACATAAAGGACACGTATGGTCAATGTGGTGG  
CCCCTTCTTGAGGTTTAAGAAGAGAATCCAGCGCTTAATGCTAGATCCAATCGATTCTATAGA  
GTTGATTGGACCGTTATGATGGTACCTCAATGGAAGTTTCTGACATAAGCGCTTAGATTC  
TCAATGTTGACCCCCAATATCATGGTGAACCCCTCAATCTGTTACAACCTGGTACTGTCACAGATT  
ATTGTAGGCATGTCCTATGCCATCAGGTGAGGTAGTCATTCAAGACAGAGGGAACCTCTGCCAGAT  
CTCTACAACATGGATAATAACTTAGTTAATGTCTTACAAGCATTGAGTATGCATACATCTGCC  
GATAAGTCTGAGAAGACCTTTGAAGAGTGGCAAAGTGTGACTCTTGGTGTATGGTATGGYAGGC  
TCACTACATTCCAAATGTCCTGATAATTATGTTGATTTAGTGTGGAGATGTATAAACAGTGGTGG  
CATGTGGTCAAACATGAAAAGTGGAGGTTACGACACACCCGTGGATTGTCTTCTGTGGTTACT  
ATTAATGATGATTGGACCTATACCAACAGATTGTGATAAGCTCTAGCAGCTTGTAAAACCTTGTA  
AGAAGTTATCAGATATAGATTCTCTATGGAAACTCCTATGCTACAAGATCCTTGCCATAACCTTG  
AGATGAACATCGTTAAAAATATATTGTTGTCGGACTTGAGGTTTGGCGCGCCATATTGCTATAAGG  
GTGGTGAAGAGCCATTCTTATTAGTGTAGGATGCTTGATGCGCTCTGGAGGGAGGACCAAGAGCG  
GCTATGGCGTCAACGCCAAGCAGCCAAGACCAAGGCCACCATTAAGAGGTGGCTAAGGAAGTAGCTA  
AGGAAGCTATAAAAGAGACAAAAATGCCAAGGGCCCCGGAAGTGGCATCGTCCGGGCCAAGAAAA  
CAATCAGAACAAAGGCCAATGAATCAAAACCAAGACACAAACAGACTGTGAGAAGGCTGTAACAA  
AAACTCAAGAAGGAGGGATTAGAGGGTCCACGTTCTCGTTTCTGTCCTGTTCTGCAACTATAGGTA  
AAATCGGGCCTAACACCAGTCAAGGACCAGAACTTCAAGTCTGACCTTCTCATCCCAGTTAATGAA

GGAGCCAAATGATGGTACTAATTGGTCCATTACAAGCTGCCTCAGCCCAGTGGGCTTGTGGCGTTG  
 ACTGATTGAAAGTGGTACCACTGGTGGGTCATCAGCAGTCACAGGGTCAGTCTACCGCACTT  
 CACTCAATTGACACAATCACCAGGATCTACTCCTGGGGGTCTGGTGCAGAAAGCACCTGGACAT  
 ACCCGTGGTCGCCAAATGGTGTGGACTTGACCCGAGGCGACCTCGCTGGACCCAGGCAAACCTGGTGG  
 TTAACTGACACAAATGAGGAAGGTGGCAGTCTGTGGACCCATGGTGAATTGAGATCAATGGTAGATGGGA  
 CTACATCGACATATAAAGATGAAGCTTGAATGGGACCTCTCATAGTTGAGATCAATGGTAGATGGGA  
 GTTCACAAATTATAATGCTAACGCCCCTTGGTACATTGGACCGTGTACTGAGGATACTAATGCATCC  
 ATTGAGGTGAACCTCGAGGGTATGGTATGTCCATTCCAAAGGGACACAGTGGCATTGCACATGGGTG  
 AGCGCTATGAGCGTATTGGTACTATGCCCTAGCGTTGGTGGACCATCTGGCAAGTGGTGGATGAAGG  
 TGCTGGTTGGTCGCTAACGTGCTCCACCGCCTTACTTGCTAATCAAGGGTGGTGGTGGTTGTTGTT  
 AAAAAACTACTGGTAGAGCCAATGCATCTGAGGAACAACACTAGTTATGCATCGTGGCGATGCAC  
 AGAATAACAAACCAGTTGAGGCACCAACCTCCAAAACAAACACATGCTACCACTTGACTGTCACCCA  
 AATAAACGCCCTAATACAGGCCATCTGGAGGAGTGTGAGAAGTTCATGCCGACCAATTATCCAATT  
 GCTCCTATACCATCAATACCAACACAACCATTAGAGTTATGGCCAGGCAGTGAGGCTATTAACTTGG  
 GCGATAATTCCCTCAAAGGTGGTGTGGCTGTGCTATTGCTAGATTAGTTCTGGCAGTCAGGCTA  
 CAGGTTCCCTTACTTTGAAGGGATCAGAAATCTGGACAAGCCTCAATGGTTAGTTTACT  
 AAACCACCTATTATAATCACTGAGAGTCTCTCAAAAATTACTGGTGTATGACCCGGCTCGATACCAT  
 CCATTGGCTGGACAGTAAAATTAAATTCCTGACTCTGGCTGTGCTATTGCTAGTTAGGTTCTGAAATCT  
 TCATGAACAGTGGTTTCAGGCTCAACTCGCCTGACTCTTCATTGTACTTGTAGGTTCTGAAATCT  
 GTGGATGCATGCCAATACATATGATATACATGTGCTTCATGTGTTTGGCGCTCTGCTGAGTTAG  
 CACCAACTACTTCAATATTGGAAAATTGCGTTCCACGCATCAATAATGATGGACTAAAGTTGGCT  
 GACGGGCACCAATTGGCAGTACGGAGTTCTCTACTGTGGCAATCAGGTACCTAGCCTACGACA  
 ATGAAAGCTACCATACCTACATTGGCTGGGAATGTTAATGATTATAATCTCCTCAGCAAACATCTG  
 CTTCAAGGCATGACGCCACCGCAACAAACATCTGGCTGAGAAGCCTCTGCATATATAACATCA  
 AAGACCAACAGTCCATGATGATGTTGAGGACATCATGGAGAAAATTAGGTTAGGTTGGCTCACTCCT  
 AGGGTTGATTCCCTCGAGTGAAGACAGTGATTGAGATTGTGGGAAGAACCTCCGTATATGACCCGA  
 TGCTACGACTTGCCAAGCCCCGTGTTATGACGCCCTGCGTGTGCGATTGGATCAAGTAGATGCTAC  
 CCAGTTGGCAGAAGCGATAAGGGCTCCCGCTCCCCAACCGCCGCGGCCCCGCGAGTAGGATCGAGGG  
 TACAGTGGTGTGAAATCTTTGTGATGATTACTAACCTAAATAATAATAATTCAATT  
 TGGCAAAAAAAAAAA

> Astrovirus genome in rat. Num. access in GenBank : NC\_018701.1.

CCAAGAAAGAGGCACTAGTGGCACTCCTGCTGCTAGTAAGTCTGACATGCCCTGCGTAAGGAGTATACT  
 TCCCTTGTGGACCAAGCGGTCAGCAGCTGGATTACCTGGCCGCTGCCAGTTGCCAACTACGGCAATT  
 TGCTGCTGCGCAATATGCCTGACCACTATCCTAACCGGCCTGGTGTGTCATTGACCCCCCGCCATT  
 GGTCTATCCCTCAACAAACGGATGATCCAAAGACGCGGGTTATAACAGCCTCCGTCACAGTGGAGGAT

GAATGGGTGACCTATGTCTGGACCAGCGCGCTGGCAGCAGGTGGCAACGGCCCTGACTGTGGAAAAA  
CGATCCTGGTCTGTGCCCTCTGAACGAACATAAGCGCTCAAGGATGAGAATGCAAGCCTAAACTTGC  
CAAGGCGAATTGGAGGTTGATAAACACCAACTGCGGGTGGCGTCAGCGCCATTACCAACTCGGCCCCT  
CGCGTTCGCGCTCCCTGGATCCTGGACTCTGGCTGTGCTTTCTCCCTCCTCACGACCTCGGCTG  
CCTTGAAACCAGCTCTACCTCACGGAGCTATGCCCTGAGGATATTGCTAGGCACCTGAGGATTGAA  
CACCTTATTGAGAACGCTTGAGGGTGAACCACACAGCTCCTACACAGAGTACACACTACCAACTGTAC  
GCCACACATGCTCAGACTTCTGGACCAGCATGGCCTGACATTAAACACCTGGCAAGCTTATGATCCGC  
ACTTCTTGCAAAACACCCTGCAAAGTGCCTCTGAGTGCCTCCAGTATGTAACACCTGGACGTG  
GGAGATAGCCCTAACGGCTTGGTATTGGCGCTATGCTAGCGAAAACACTCTAGCCCTGGTCGCTGCTC  
TACCTGGCCTGTGCTACTCTCACAGGACCCGCTTGCCTCTGGCGTGGCGCCCTCCAGACACGCT  
ACACGACGGCTGTACCAGTTGCCGCCTCGGTGCTTACGCACTCGACCCCTGGTCGAGTGGCGTGCCT  
GGTGTACACCTTTCTCCTGGCAGTGGTGGGCTTTCATGGAGGATACCTCTATGTCCAAAACATTG  
AAGGGCGCTTCCTGCTGCTATGCGCTTCTCGGCCATGCCCTGTGCCCTTCGGAGTGAGCTCGG  
CGCCAGTCACAACACTAGCTGTTGCCTGGGATCTGGCGCTACTCTCGTGGCGAACAAACAGGCAC  
CGTGGAGGTGCGCAATGAAGAAGGCAAGGTGGTCTAAAACAGACCACGCAACCCAACCTCCTTCCG  
TTCAAGCAGCGTTGAGGAGGATGAGACAACTCAGAACGACCCAGACCCCCCTAGCGCGTCAATCCTG  
ATGCGCTTGCCACATCAGCGTGGCGGGCGAAAGGCAGTGGCTTGTGGTAACACTACGCTGTGAC  
ATGTGCACACGTAGTCGGAGTGAGACAGTCGTCACCTGTGCTATAAGGCCGTAACATCAGGCC  
GTGAAGAAAATCCTGGAGCAAAGGATGTGGCACTCATTCCATACCTGCGGGATAACACCAACCCGCT  
TGAAGATCTCCAAGAAGCACTGCTGCGACTGGCTGTGCTGTGCCCTGACGGTATGGTGCCTACCT  
AACTGCTGTGACTGAGGTTGCGAGCATGATGGTCACTACTCCTATGCCTGCCGACGCGGGATGGGATG  
TCTGGCGCTCCTGTAGACATAGATGCCATGTTGGATAACACACTAACACACTGGCTACACTG  
GTGGTGCCAACGCCCTGACCTTGAGGACATAGTTGAAGCCCCAAGCCAATCCAAAGCAGCTGCC  
CGAGAGGGAGATTGAAGAACTGAAAAGCAGCTTGCCTGCAGCCTGAACCACCTAGGCCTGAGGCC  
GTGGCTGCCCTCCCTACCCGTTAGCCGGCCCTAGTGGTCCAACACTACCTGCCCTCCAGGCC  
CACCGGCACCAACTGTGGCCCTGCTCTGTGGCCCCAGCCCTGTGGCGACTATGTGGTCAAACCCAC  
CCAAATTCCACCTATGCAACAAAGCCTAACACTAGTGTGGATCTTGCGTGCAGGCAATGGG  
CGTGAGATGCAAATCCTGCGGGACGAGCTGAACCTGTGAGACAGCTAAAGGGAGACCAAACGTGG  
GTGGGAAGGAGCATACCATGGGGCTCGTGTGGTGGCGTCAGACAGCGTGGGCTGCCTCACCGA  
GGAGGAGTACAAGGAGATGCTGGACCAAGGGATTGACCCGATGAGATCAAGCGCTAGCCGAAGACCTC  
TGGGAGGACGACTGGCTCCGGAGTGGAGTGACCTGAGTTCTGTGAGTGGAGCAGTGGTGGACAC  
CAAAGACCCATGACTGGTAGACTTGATTATGAGGATGATTGGAACAAACTACGTCCCTGGCC  
GGCCAGAAATGCAAGATACTCGTCAACTACGTCAAGAAGATCTTGACAAAGGCTCGTGTGAG  
ATGTTACAAATCTGCCCTCTGGAGAAGAAGCTGTAGGAAACAAACTTGAGGCCGTTGCGCAGGCAA  
AAACTGATATCGAGCTCTGTGACTTGGCCTTGGATCGTGTGCTGCCGATGTGGCATGCG  
CTTACACCAGGGCTAGAGTATAAACAGCTGTTCAAAAAACGCCAAGGGCCCCCGCAAGGGGGCAAAA  
GATCAGGGCTCGAAGACTGGAAAGAACTAACGGCAGCCCCCTTCGCCTCTGGTACCCAGCCTAACCC  
TGTGCTGCAGCTAACCCCTGGACCGGCCATCTATGACAACGATGAGCCTAAAGATCCACTCTGGGG

GTGTTGCCACATGTAGACTATGAGGGTAACCTTGACCAACAACCTGGGGAGGCGCAGCTTACCGAAGA  
GTTTCGAGAAGTTCACGTATGCTAACCTGTGGACTTCGAAAAGCACTATCCTGTAGAAACTCAGTCGC  
TGACTGGGCCTGGCGAGTCCACCACGCTTACCTGGAAGGCACTCGGGTATGCCACATCATGTCTACAGAG  
AAAAATACCGACTCAACCCCTGCCTACCCAAATGCCTGGACTACTCCACCGAGGCCGACTACCTAGAGG  
AACATGGCTGGGAGCCCTATGTCAACGCTTCCGTGCCATTGACTCCGGGGAGCGGGCCCAGGTTCTCTG  
GTTCTCTTCTTGAAGAAGGAGATTCTCAAACAAGAGAAGATTGCGATTAGACATTGTCAGATTGTC  
TGTTAGATCCCATCTATGCGGGATCGGAGCTTGCTTCGAACAAACATCAAACCATCTCATGAAGCAAA  
AAACAGAGACCCATTCCGGCAATGTGGCTGGTCCCCCTGAAGGGGGCTTGAGGCAATGTGCCACCG  
TCTTGCCTCTAAGCAGGGTGTCTTGTGAATTGACTGGACACGCTTGATGGAACAATCCCCGTACAA  
CTCTTCCGCAGGATAAAAGAAGCTCCGCTGGTCCATGATTGCCCCAACATCAGCAGCGCTACGGGCACA  
TGTACCAGTGGTATGTTAACATCTTGCACCGCTACACCGTGTGCCCTCAGGTGAGGTGACCATCCA  
AACTCGTGGCAACCCCTCAGGGCAAATCTAACAAACAATGGATAACAAACATGGTTAACTACTGGCTTCAG  
GCATTGAGTTCTGCTACTTCTTGGCCCTGATAAAAGATCTCTGGCGCAGTATGATACTGTCTGCTATG  
GTGATGACCGGCTTACCGCTACCCCTGTGCTACCAACCCATTACATCGAGCGGGTGGTGTGCCATGTACAA  
GGACATCTTGGCATGTGGTTAAACCTGAAAAGGTGCGCGTAGTGACACCCTGGTTGGTCTCACCTT  
TGTGGCTTTAGAATAGGGGAGCACTATTGCCCTATCCTGCACAGGAAGACAAACTTTGCCGGCTCG  
TCCGGCCAGTGAGGAAATTGGCTGACTTTAACACTCCATGGAAACTCTTGAGCCTGCAGCTCTGAT  
GCACCTCCACCCCTCCGAGTCCCTTAAGGACTACTGGAGATGTGCTGGCAAACACCGCCAAGTACTGC  
CCGGAACTTCCGGCGCGGTTTCAGAGCGTCAGATGGACAAGCTTGGAGGGAGGACAAAGCTGTT  
ATGGCTAAGGCCAAACAACACAGAAAATGCCACGACCGTCACTACTACAACGTCACTGGTGCAGTA  
GTCGGCGGTCTCGCAGGCCTGTACGGCGCCGCTGCAGGCCCTTAACCCCCAACAAAGACAAAC  
AACTGTTGGACTGTTTCCGGCACTGCCGGCTCGCGGTATGCCGCAGGAGTAGGAATGCTCAG  
CGGCAGGCTCCTCGCAGGTTGTCAGACGGTTACGGCAGCCCTCGGAACGGTTGGCGCAACCGG  
ATCAGGTCGAGCTTGAGATGGCAGCGCTCCTCAACCCAGCGCTAATTAAAGAAACAATGGCTAACGC  
CTTCGGACCACCTCAGATGTATGCCCTCACGCATGCCATGTGAAAGTGGATAGGCTCACACTCAAGCTC  
ACCCCTCTGGTGGCGCCCTGCTGTTCCGGTACAGCGGTCCGTGCCTACTGAATATGACATCTGGG  
CCGCCGCGCCGCCCTGGTCAGCCTGGCGCGGAAGCATGTGGACACCAATCTGGTGGCGCCGCTTC  
CTTCACCCCTCACAGCCGCCGATGTACCTGGCCCCAAGCAGGGTGGTTTTACTAATAACTAGCAGGAG  
GCCGGCTTACAGTCGGCGGGCATTGAGATCCATACCCCTGGCAAGACGATGTCAACCTACCGAAACT  
CAGCCTATACGGGCCACTCTTCTTGCAGGTCACAGGTACCTGGAGGTTAAGAAACTACGAGCCCCA  
GCCCGGCTTGTCAACCTCCTCAAGACCGAGGTTAAAGAGCCTGCGGGACTGTGAAGGTACACTCCAA  
CCTGGAGAACCTGTCACGCTCTCCATCCCTCAAGCAGGGACCTTGCTGGCTAGAGAGGCTAAATCCAA  
CAGCCTCGGCCACACCAGGTGAGATCATCTGGGAGGTAGTGGATTCCGCTGCGAATGCGGTCTCCGGCTT  
GCTTCCCTCAACCTGGCAGTGGCTTTAAAGCGGCTGGTCTTCTGAAAAGAATTGCCAACCGGAA  
CCTGTTGGTGGCGCCAGTGTGGCGGGTGAACCTGATGGAGGTGAAGTGACTTCCCGTGTACGCCAGTA  
TCGCGGATGCCAGGATGATGTGCCCTGTATTGCCAGCTCGCGGCCCTCAACTCAATCCATACAGACGGA  
GGGTCTCAAGATCTCCAGGTGACTCCTGGACCATTGGTATGCCTGAAACTGCAGTAGCCACACACAAC  
ATGGCTCACCACCCGAGTCCGGACCCCTATACCTATCAAGGGCCACCTGGAGGCTGCTGCTCCTTGC

ACGCCCCAAGTATAACACAGTGGACTATTGTAGATGCTGGTACCTCCCAGGAGCAGGCCGCCTGCGCTC  
 CGGGGTGGTCCCAGCAGAGCAGACCTCAGCCTGGTCAGCTGTACTCTGGAGCTCCAGGCACCTTCCTC  
 CAGAATATGTATGAGATTGATCCCCGTGATATTGCAGCCGGTACCTTCCATCAATCACTGGAACGTGA  
 GCACCTCGGGCTCACGCCGTTGGCACCCCTACGGTGCAATCAGGCCGGTCCGCACCTATGGGA  
 GGGAGTCCCGCATGTGGTTATCTCTACCACCTCTGCCTCTGGATGGCCGACGTTCCACAGGGTGGAAAC  
 TATGACAACCTCTCGCTGCCATCTGGATCCCAGTGGTAGCTGGCCAAACGTCCATGGACTGAAC  
 AGGGCATTCCCTCACCCGGGAACCCCTCAACTGGCCGGGGCGATAGGAATCGCTGGCCCTACCGCAA  
 CCAGATTGAGAAGGGTCACTGGTATGTGACCTCTGGACTCAGTACGATCCTGATGAGTGGGTCTGGTTG  
 ATGAGTTCCATCTCAGTTCACCTGCAACCGGGCACGCACACCCCCACTGAAAACCATTACTGGGATG  
 TAACAGCAGACAGCTTAGGTACTGGCCTCTGGGCCTCCGGGACCTTGTGTTCTACCAATAGGTACCCA  
 GCCCAGGGATAGTGATACCAAAACTGGCCTACCAGCTCCATGTGACCTTCGACCTCCCCCGGGTGAG  
 GGCAGAAGATTACTCTACAGATGAGGAAGGCAGTCCGATGAGGGAGCTGAGGATGATGAAGGAATCCCC  
 TTGAATTGACCACCCATTAGACGGCGATCTCGCAACCCCCCGCCGCGTCCTGAAAGATCTGACCTA  
 CAAGGGCGTAATCTGCCAATGAATTGTGGAGTACGGGGTGCCAGATGCGAAGGCCTGGCTGGCGGG  
 CAGACCATCGACCGTCGCCATCCTTCGCGCTGGCGAGAGACTTTCAAAAGCGCTCCAGCGTGGTG  
 TAGCACCCCTGGAAGCGATGAGCTCGCTACTAGCGAGTTCTGCTCAAAGAGAAAGCCGCGGCCACGC  
 CGAGTAGGATCGAGGGTACAGCTTCTCCCCTGCTTCTGCTTCTGTGCTTGGTGTACTTTAG  
 GGTGATATAATTGGCATAAAAAATTGGCAAAAAAAAAAAAAAA

> Astrovirus genome in mouse. Num. access in GenBank : NC\_015935.1.

CCAAGTAAGACGTATGCCGTCCCCCTGGTGGTCTGTTGGTTGCAATGCCCTGACGCTGGTTAGC  
 GTTAGGGACAACATCTGCTAGAAATAAGGGAGTTATGTTAAATTACACCATCAATAAGTATCAAGAC  
 CTGATAGATGCCAATAGTGTGGTTGAATGGTTAATATACAGGTTAATGAAATGATGAACCCGCACTTA  
 CAGGCATAAAAGATGGTATGCGAGTTACCTATGTGCATTCCACTAAGGATAATGCCTGGATGTTGAATCC  
 TACCAATTATGCACGACTCCATTATTATTCTCAGCTTGCACAAACAGAACCGAGAACGGTTAACAGAG  
 TTGAATGAGCTAAACGTGAACCTTCACAGCTCAAAATGGAGTACGAAGTTGAAACATGACGCCGTGC  
 GCTACCAGAAGTTGATTGAAGAACAGAAAAGCGTACGAACCTCATGGTCACAAAGACACAATGGTTCT  
 GCTATGTTGGATTATTAATTGGCTCTCAATGTTACCATCAGCAAATGCTCAAGTTACTGGAACA  
 AGAGATGTGATACCTTACTTGGCAGAAACTCAAGATTACCTCAGAGACATGTTAAAGGATGCATTAGAC  
 AAGCTCGTAACAAATTGAAGACATTGATTATACACAAATAATTAAATTGCTCTTCATTGACAGGT  
 GCATGTGATAGCAACACTAGTTTCTATAGTGCCTTATAAAATATAACACCAACATTATGTACCATC  
 TTGTTATCAATATGGAGTGGATTGGTACTTACAGGTATACCGTTGGGATTTCAGACACACTGAAA  
 CCATTTCATATGCAATTCTCTAATTCTATTCCTTGAATAAGTTCTTAGGATTGATTGATGGTAG  
 TGCAGCAATATTAGTTATTATTCACGCCAAACAAATGGAGTTTGACCTTGACCCCTCCTGGTTAGC  
 TTTTTAGTGTGTTATCCCCCTATTGTACATAGTTACAGATAACCTAAAATACCTAAAGGGTATG  
 TTATTTGTTATTGTGACATAGGATTGTTAGTTAAACAACCTGAACATGTGTTAATAAA

AAATGAAGAAGGAAAAGTGGTGAAACCAAGCCTTGACCCAAAAAGAGTCATTGCTCGATTCTCT  
CAAGCACTAAAAATTGTGCAAAAACCGTACGAACCTGGTACCTAGCTTCAAATTCTGCCG  
CAACCACCTCAAAATTAAAACAACGTGAAGGTTATGGAACACTGCATTAGGTTACAAATTATAGAAC  
AGCTAACCATGTTGTGCAAGTGATGATCGGTGAGGTGCATTGAAGGAAAGAAGTTGGCTGTCAA  
TTGAAATGGAGGCATCCAACTAAGGACGTTGCATATTCACATTACCAACAGAGATGCAGTGTGTTAAC  
CCTTAAATTGGGAACTTCACTGATGGAGACTACTTGGCCATAGTACATAGGGACAATGATTATGTTAA  
ATTTGCTGTCGCTAAAGCGTTGTGGTGACGATCAAATCACATACGCAGTACAGACAGCTGATGGTTCT  
AGTGGCTCTCTGTCTTACATACATCCGGTAAAGTCTGTGGTACATGTTATTAAATACTGGATTGCTG  
CCGGGTGTGTAATGTTAGAGCAACATGATCTACCTGATAGTGTCAACCAACTCCAAAGGAAGTTAATAT  
GGAACAAAATATGCTAGTACCAAGATGTTGCGCTGGTCGAGCAATAAAGAGAGAGATGGAAATC  
TTGCGGAAAGAATTGGCTATGCAAGAACACTCGAGAAAACGAAAGGAGCTAATAAATCATATAGAAGGA  
AAGGCAAAAGAAGCGCAAAGTCTGGACAGAACAAATATAGGGCTTGATGAAGGTTCACACA  
CGACGAGCTGTGAAGATGGCAGAACAGCTACGTAATGAGGAGGATGAAGATATCGACTCTGGTGAAGAT  
GAAAATTACAATCCTTATGCTTATGATGGTTGATGGCCTAATTGAGGAAGTTGATGAAGATGAGATCA  
ATGAAATCTGGTTCAAAAAGACGGTGTCAAAACTAAATTAAAGCAGCTTGGTATGAATTAAAGGCACC  
AACACCTTACACTCATCCAGAGCATATAAGGATTGTTACATGGTAATGTTGATGGTGGCCCTATTCA  
CTTAAGAGTGAATCTACTGTTGATTGCGAAGCGTACAGAACAGATCTTAGAATTGCCTTAATGAAA  
ATAAAATGGAATCCAAACGTTGACAAAGAAAATGTTGGACGAGTTACAGGCATTATATTGATATAAA  
TTATGATCTCTACTTGCGCGACCGAATAACATTGTTCCAAGCTAACGACAGCAGCGTAAACAACAA  
CAACATCAACAACAAACAGAACAGAACATCAACAAACAGCAGAACAAACCATCAACGTCAAAAACGTGA  
AACCCCCCAAAACCATCAGGGGGGGAAAGAGTACCAACAGAACATAGATGGTGGAAAAGTTGGAGCCT  
CCAATACCTAGATGGTTTACCAAGATTCTCATCCTAGTATAGCTTGTGGATATTGATAGACCAGTTA  
AAGATTTCACCATTCTAAAGATCCATTAGTGGCTCTTACCAAGTATAAAGGAGAATTAAATTATGG  
TCCTACCATTGGAATGTTGATGCCTATTAAATCATTGATAATTGATTATGCAAAGAAGTTGAG  
AGAATTGATATTGAATATTCTAAAGAATTAAAGTGGCAATGTGGCTCTAAACGTGAATATGGTTTT  
TACAAGACACTGTTATGATACCTATGGTGCACAGATAAAACCTGATTCAACACCAGCTTTCCAAA  
AGCATTAAAGTGGCAACCGAATTAGAATATGAGAAGAATTGGCTTACCAATATATTGAAAACCTT  
GAAAGAATTAAAGCTGGAGATAGACCAATACCGTTGTTATGTTCTAAAGAAGAAACATTAAAAA  
CCCAAAAGATTGAAATGGTATACGTCAAATATTGACAGATACTCATATAATAGAATTGGTT  
AATGTTGAACAACATCAAACCAACTTATGAAAGACCGAATGAGTCACAGTTGCCAGTGTGGTTGG  
TGTCTTTGAAGGTGGATGGAATCAACGAATGCAAAGGTTACAAAATCTGGAACAAATATAGAAA  
TGGATTGGTCAAGGTATGACCGAACATAACCGTCCAAGTTCAAATTAAATAAAACAATTAGTTCTC  
AATGTTGTCACCAGAACATAAAAACTGAGTTAAATAGATCCATATATAATTGGTATTGCCATCATCTTATT  
AATAGGTATGTTGTTACCATCTGGTCAAATTACTAAACAAATTAAAGGAAACCCATCAGGACAAGTGT  
CTACAACTATGGATAATAATGGTAAACACCTCCTCAAGCGTTGAATTATGATACTTAAATATGGAGATGACCGGCTAAC  
GAGTTACACCGAACGAAAGAAAAATGGCGTAATTATGATACTTAAATATGGAGATGACCGGCTAAC  
AGCACTCCTGTTCCAACGTGATTACAAAGAGAACGTAATAAAATGTATAAGATATCTTGGTATGT  
GGGTTAAGCCAGAAAATGTTAAAGTGCAGACAGTCTGAGGGATTGTCAATTGTTGGTTACTAACGA

ACTTATTAGGGTATTATTCCTGTACCAACTAGTGCAAATAAAATTAAAGTAGCTGGTAAACCA  
CATAAAAAGTTACCCTGCTGAAGCCTTATGAAAGATAATCTCTATTAAAATTCTGCCACAATT  
TGCCAGATAGTGACCCCTGCTAACATATATACTTCAATGTGAGCTGCCATGAGGAAGCATTGACGA  
CGGCCGTCCTCTAGTCATTAAGACAAGATGCTTGTATCTCTTGAGGGTGGACCAAGAGGAGAC  
AATGGCAGGCCCTCTGATAAGAAGGGTGAAGCTAACGGTCAAGAGAGAGGGTGGAGAAAGAAGTTAAGAAA  
GAGGTATCTAAAGAATTGGCGCAAAACAAACAAAGAATTGGCGTAGAAAAGCTTCAAACGCAAAG  
AGAAGAAGGAGGAGAAAGGATCAAAAGGATGTTAAGAAATTGCTGGGACCAAAACCAAATTG  
AGTTAAAGTAACATCAACATTGGCACAAATTGGACCAATGAAACCGATGGACCAGTTACAGCTTAGT  
TCATTTCTACACCCTAGCCTGTTAAAGGTAAAGGATGATGGCACTGCATTGGCCACTTCAAGCAGCAG  
CAGCACAAATTGGAATGTGGAGACTTCCAACTTGAAATTAGATTACACCACCTGTTGGTGGTCTG  
TGCAGCTGGCACTGTGACCGTGCCTCACTAACCTTCACAAACACCCTAATAACTGGTGGGTGGA  
CTTGGAGCCAGAAACATCATGATCTTCCATTGGACGTGGTCAAATTGAAATTAAATGGGAAGATC  
TAAATGGTCCACGAAATGGTGGTGGTGCACCGATACAAATTGAAAGGAAATCAGTCAGGTGGTCC  
TTTACTCGAAGTGCACTCATTGGTACAACAACTTCCACCTACAAGGATGCTGGATATAACAGGAAACCTT  
TTCATCGTTGAACTCTTGGTGGTGGAAATTACAAATTATAATGCAAATCCGCTCTGGTGTCTT  
CTAAAACACAGAGAAAGTGAATGCCAAATTATCAGCGATCCAGAAGGTGTTGCAAATGCAAATACA  
AACACCAGCAGGCTCCAAATGCGGTCCATCTTGCAGATCCAACAGTAAAGCTGAAGCAGGAGGTGTT  
GGTGAATCATCTACCAACTTGTAAATACAACACTGCAGACCTCGTTGCCATGTCACCGCCACCGTGG  
ATTGGCTGTGAGAGGTGGCTGGTCTTTGAAGAAAATAGCTCATCTAATGGTATTGATACTGTT  
TAATGTTATCCTTCACTTGGGATGCACAAACAATAAACCTGCAATCTCAACCCAGAAAACCACAAT  
GCTGAGTTACAAGAACAGGAGCTACTGTTACACAGTTAATGCACCTAATCTGGGGAGGTACTCAGG  
TTGTGCAAGTCAAAGCAGCTCTGGGAGATGTGTTCCATTAAACCAACTGGGTGCCAGGAATGA  
GTTCATACTCAATGCGTATGTAACACCAGTGTACATGCTCTAGTCCCTACAACCCCGATTGATAGAT  
TTTACATCTATTGGTAGGAAATAAGAAGTTGCAGCAATGCACTTCTATGCGAAAATGTGCACTTAG  
TCCAATTAAATCAGGACCAACAGGTAGGATTTACGATGAACTACCACTGACATGAGTTGA  
ACTTGACCAGAGATGCATCCAGAATGGAACACAAGTAATGCAGGTACTCGCAAGTGCACGGCCCCAATA  
GCAGCACTCAGTGGTGGTCAAATTGGAGTCATACAGTGCCTTGGAGCCAAAGAATGAAGGTCCAGACT  
GGCAGACCTTGATAATGCACAGGTTCTGGTGGAGACCAGGAAATAACCTGGTACAACCTGGACAAG  
GGCATGGAATACTGAAACTATACTACTCAGATTGATATGTTAGGAATTATTCCCTGACTAACTACCTG  
AGTAATGTAGCAAATCCTTCAACTGAAAGAGCTGAACCGAGTTACCCAAATTGTCCCTAATGGAG  
GGGGTAACCTTTGGTCAATTACAGGAGAGTCCATGGCTCGAGGAGATCATAAATTAGTATCTGGACA  
AATGGAGATCCATCCAAAAATTGACAAAATTGAAAAACTCTGCAAAAATTGGCATAGATCCATGT  
GACTTCGATGATGACAGCAGTCCACCACAGACAATGATCCAGACTCAAGTGTGATGATGATTTGAAA  
ATGTGACAACAACAGCACTCAGGAAAAATTGAGACCTGATGAGGATTGGATAACACCTGAGGAAGC  
AAAGAAAATTGGTGCAGCTGTTAGGGTACACGTAAAAGAGGCCCTACAGCGGTTAAGCTACCGCT  
ATATAAAATAGCTTAGGCCGGAGGACCGGCAGAACCATGCAAGTGGTGCATGAAAAGAGGACCACTG  
AGTTTGAGGTAACTCGATAAACATACCTAGTGGACGACACTATAATCACCAGGAATCACCTGGTCTG  
CCGCGGCCACGCCTAGTCGGAACGAGGGTACAGCAGGGTCCCTAGCCATTAAATCAGAATCAATTGG

CTAGGCAGTGGAGGAGATGCCACTGCCATTGATTGACCGCTCGCGGTCAATTGATCCGTAAGCAT  
CAAAATCAAAAAAAAAAAAAAAA

> Astrovirus genome in sea lion. Num. access in GenBank : JN420359.

TGATTGGCCACTGGCTGGTTAATAACTACTTGTTCACACTAGCTGTCAATAGATACTTAACCCATCATGA  
TTCCGTACCACCCCTCTACAGCTGCAAAGCTGATGAAGACATGGACTTGGTAGTACCATGGCTCGCAG  
GCACATGACTAAGAACATGATTGATAACATGCCTGACTTGAAACAGACACGCCACAATGCTATGACTGG  
GTCCTAAGAGGCCTATCTTCCCCACAGTGGGTAGCGCTACTTGAGCGTGGTGGTTGTAACTGGT  
GACTCAAGGATGGTACTATGCGAGCTACTGCTATGAGTCTGATGAGTGGATCAGGGTTAATGACTTTAA  
ACATGTGAACCTCTGAGAGTACTCCGACTTACATCAAGAAATAACGCTCTGAAGGAGCGTCTAGGATC  
TCCCAGGATGAAAAGCTACCCTGCTCTGATGTGCAGCTCCTCCAACATGAGAATGTGCGCCTCGGG  
AACTTGTCTGAGAAGAACCTAGGCTATCAAATGAAATGGATCATCTCAGGGCTGTACTAACATT  
CCTGTCGCTGATCCCTGGTGGTTATGCACAGGAATACTCAAACCGTACCATTTTACGGATATTGCCGAT  
GTTTGCAAACATTCTACTGAAACACTGGCTGAAAATTGAACTCCGATTAAACTTGCACGGCTAATA  
TCACTTTGCCGACAAGTACGATGCTGTCACAGTTGCTAGATCTGGCTTCATCCTAGAGTACATTG  
GATCAGAAGTGTCTTACTACGTGCGCTACTATGAACTTTGGAACATCTTATGTTCATCTGCAGTT  
AGTACTGTGATGAGGAGCACACGTCCTGGCACGGATCTGATAACCCCTGCAATATGCACCTTCTGGCT  
ATAGGATGGCTGTCTTACCAACAATACCCTCCACACTAGCTTACACTCTGGTGATGAACACACTAAT  
GTTTGTGTACTTCTTGATAACCTATTATCAACCACCCCTGGCAACTCTGGCACCTGCACTTGGAATTGTT  
TTCCTCTGCTTATGGAAGATTCAAACATGTTGACCATGTCACAGGGTGCTGGTAACAGCTATCCTGA  
TTATTGGGGACATGCATGCCTGTTCTAACAGGCCTACAACTTCACTTTGTGATAATCCTGTCTT  
CCGATTGTGCGATGGCAGCAGTATTGTCGGCACCAGATTGAAATTGCTGATGCTAATGGGAAGGTT  
GTAGCCACTGTGCCAACTAGGCTAAGAACGAGCAGCCTCGGCTTCCAGAACCTCAGGCAATCAGGTG  
TCCCGGTGGGTGTCAATGACTTGTATCATCAAACCAAGGTGCATTGTGCATTATTGACACTCCTGAAGG  
GAAGGGAACCTGGCTCTGTGGTAATGACATTGTAACGAGCAGCACATGTTATTGCAATAACACCTTC  
GTCAATGTCTGTTATGAGGGTCTCGTCTATGAGGCCAAAGTTAGATATAACCAGAGAACAGATATTGCAT  
TTCTAACTTGTCCAGGTGATCTCATCTAACAGGCTAAACTGCAAAAACCCAGACTACAGTT  
TGTCACTGTGATGCCATGTCAATGAGGATCTGTAGTATCCACTGCTAGTGCAATGGTACATGGCAAT  
ACTCTTCCTATGCCGTCCGTACACAGGATGGTATGTCGGGCACCTGTGTGACAGATATGGCAGAG  
TGCTTGCACTACACCAAACAAACTGAGGCTATACAGGTGGGCTGTTATTGTTGAAACCTAGTGACTTCA  
CCCAGTGAAGCACCCTCAGGTTGAAACTCTCAAGGAAGAGATTGAAAAACTCAAAGCCCAGCTTGAA  
GCTAAAAATGAAACAAAGCCAGAACAGAACAGCAACATGGACCAGAACGGTGTCCATGATAGTGAAAG  
TGGTTGAGCTTGTCAAGATGCAATGGAGCGCGAGATGAAATCTTGCCTGATGAGATCAACTCAATCCT  
CGAGCCCTTGTTCAGAAGAAAAAGGTAACAGCATGGCAGGGGGAAAGTTAGGCGCAATCTTACA  
AGAGGTGTGAAACTGCTCACTGAGGAAGAACACCGGAACTCCTGAGAAAGGACTTGACCGTGAAACTT  
TCCTTGATCTGATCGACCGGATCATCGGTGAACGTGCCGGTACCCGATTATGATGAGGACTTTGA

GGACGATGATGGCTGGACATGGCTGGAAATGATGTAGAATTGACTACACAGAAGTTATTGACTTCGGG  
CAGTCCAATGGTAAACAACTAGAGGACGGACGCACCTTCGCTGTGATCAGAAGAAGAAAGGAAAACCTG  
TCCCTGCCAACGGAAGCCAAAGCCTGAACCCAAGCCTGAGCCAGTGCCTGAGCCAGAACCTCAGCCACT  
TGATCTGACTCAGAAGAAAAGGCAGCCTGACCCAAAGCCAGAACCAACCAAAAAAAAAGAAGCCTCAGAAG  
CAGGAACCACAGGCCTACTCACAGACCTATGGTAAGGCACCAATCTGGGAATCTTATGACTTTGACTGGG  
ATGAGGATGATGCGAAGTATATCCTCCTGCACCACACCGGCTCACTAAAGCTGATGAGATCATCCTAGG  
CTCTAAGATTGTCAAACTCAGAACCATCATTGAGACTGCCATCAAGACCCAGAATTATAGTCACCCCT  
GAGGCTGTTGAACCTGACAAGGCAGCGTTGAAGCAGGTCTAGAAGGATTCCAGAGGGTCAAAT  
CCAAGAATAAGGCTCCAAAAACTACAAAGGGCCCCAGAACGACCAGGGGCCAAAACCTACCACTCACTA  
GATGCATGGCAGGGATGCTGGAACCACCAAGAGAACGCAAATGTGTTCCAGCTAACCTCCCTTGATAG  
GCCACTTACCAATAAATAGGCCTATCTATGATGCAAAAAACCAAGAGATGACCTATTAGGACTTCTCCC  
AGAACCTGAGTGGAAAGCTTGAGGAATATGGACCTACCACCTGGGGCCACAGGCTTTGTTAAATCT  
TTTGATAAGTTCTTCTATGCAAGAACGCAATTGGAGAATCATCCACGCCTCTGCGCCTCGCG  
ACTGGGCAACATACCGGAGTTCGATTCTGGAAGATAACAGGTGATCCATAATTACTGCTACAGAGAA  
GAACACTGACTCCACACCAGCCTATCCAAGATGAACCACCTAACACTGAAGAAGAGTATCTGATGTA  
CACGGCTGGCCTTATGTCAAGGAGTTACAAGAGTCTTCAAGGGCGAGAACCGAAGTCTGTGGT  
ACCTTTCTTAAAAAGAGATCATCAAGGAGGAGAAATCAAAACTCTGACATCCGGCAGATTGTGTG  
TGCAGACCCCATCTATACCAGAAATTGGGGCGTGTAGAAGCACATCAAAATAGTTGATGAAACAACAC  
ACTGAGACATCTGCCGGCAATGTGGTGGTCTCAAATGGAAGGTGGCTTAAGAAAACAATGCAACGCT  
TAGTCAACAAAGGCAACAAATACTTTATTGAGTTGATTGGACCCGCTATGATGGCACCATAACCACAGC  
ACTCTCAGACACATCAAGGAATCCGCTGGAACTTTATTAAACAAGGAACAGCGTGAGAAGTACCGTCAC  
GTCCACGAGTGGTACGTCACAATTGCTTAAACGCAATGTGCTTCTCCTCTGGTAGGTGACCGTAC  
AAACACGAGGAATCTTCAGGCCAATTCTCAACGACCATGGACAACAATATGGCAATGTCGGCTGCA  
AGCTTCGAGTTGCATACTTCAATGGACCCAAACAAAGAACTCTGGAAGAACTATGACACCATTGTATAT  
GGTGTGACAGACTCTGACCACCTCTGTTGGTCCCAGACAACACTACGAGGAAAGAGTCATTGAAATGTACA  
GAGAAATCTTGGAAATGTGGGTCAAGCCAGGAAGGTAGTCTGCAAAGACACCATTGTTGGCTTCT  
CTGTGGTTTACAGTCATGAGGACCTTGAGCCAGTACCAACATCACCTGAGAAACTATGGCATCACTT  
CTCAAACCTTACAAAGTTTACCTGATCTGAATCACTCCATGGAGCTCTGTGCTACCAGTTGCTTG  
CTCGTTATGGCAGAAGACCATCCCTTAAGGTATATGTAGAGCATTGCTTCAAGGACTGCTAAGCA  
GCTTCGTGACTCTGGCCTTCCGGCCAGACTCACAGAAGAGCAACTCCATCGCATCTGGAGGGAGGACCA  
AAAATATGCGATGGCTAGCAAGTCTGGCAAGCAGGTAACGTGAGGTTAAAATGAAAACCAACAGG  
AGCAATTCTCGCGGCCGCTACAATCCAGAGGCCAACAGACAGTCAGAACATCAGCTCAATTCAAAGA  
AGCCAAGAAGTGGAAACGGACCGCGTAAACGTGAATCTGGTCAGCGTGTCCGTGCAATTGTCAATAAAC  
ACTCAGGAAACAGGGTGTACAGGACCAAAAGTGTCAATTGAAACAGCGGGCAACAGCAACACTCGGAACC  
GTTGGAGCCAACACCTCTGGGAAGTCAGAGCTTGAGGCGTGTCTTTGTAACCCGGTTCTGTCAAGG  
ACAGTACAGGTTCTGGCCTTGGCCAGTCAGATGCTAGGGCACAGTACTCGCTCTGGAGTTGAA  
GTACATCAATCTCAAATTGACACCGCTGGTTGGTCTTCCGCAGTAACGGCACAGCAGTCAGAGTGAGC  
CTCAATGCCACAGGAACACCATCCAAACGGGGTGGTCAGGCTTGGCGCTAGGATGCATATAAGATGCCA

TAGTAGGGCGTCCTCGGGTGTCAAACCTCGAGCCAGCCAATAGGGGTCCTAGAGAAGGCTGGTGGCT  
CACCAACACCAATGAATCCGCAGATTCCACCACCGGCCCTCCATAGAGATTACACTCTGGCAAAACT  
GTATCTGCCTACAATAACAGTGAATTTCAGGGTGGACTGTTCCCTGGCTGAAATGCAGGCATTGTGGCAGT  
TTGCATCCTATGCTGCTAACCTGGCATCACTTGAGAAGGACACTGATGATGTTCAGCAGCTTCTT  
TACTGGCAATAACAGGAGAACCACTTGTGATGGAAGCCCCTGAATCTTCACACTTGCAAGAAAAGTAACA  
GAAAGGAGTATGATGCCTCTCTCCCGTGCAGCAGGAGATGACAAGCCTTCAGACACTGTGTGGCAAGTTG  
TCAATACAGCAGTCACAACAGCCGCCTCCATAGTCCCAGCCCCCTGGGCTGGTTGATTCAGGAGGCTG  
GTGGTTGTTAAAGCTATAACTGGGCATGCGATGCGAGATGGAGTGAGGACCTCAAGATTGATGGTCTAC  
GCAAGCTACCAGGACGCATTGAGCAACAAACCAGCCATTGTTACTGCCAACCTAACCAAGGGCGGTAC  
CACAAAGCAACACCCCTCAAAGCTTGCATTACACAGATGAATGAGCCATCAACTGGCTTCCAAACCAAT  
GGCTGTCACCAGAATTGCCCCAGAACCACCTGTGACTGATGAGGTTACCTCATTGCTCACTCCACAAT  
GAATCCCAGCGAGCTTATCTCTTAAAGAGTTCTGGTGGCCCTTAGGGCTGGTATCTCACTCACCA  
GAAAATGCACCATTCCGCTATGTGGCAAGAATTTCAGACCACAAGGGTGTAGCCCTACTGGCTGGACTC  
AAACCTTAACCCATTAAACCCACCAAGAGGGAACATGTCCATCTACTGGGAAATGACCGCTGGCCAAA  
GTGTTGCCCTCAGCTACACTAGGGCAGATAATTACATTACTGCCGCATTGCTTGTATGGAGGCTA  
ATCAGAGACTCACTCCCTCTAACAGCAGTTGCTCTTCCCTTGCTGAAGGACACACAAACTACACTGTAT  
AGATAGGGATAGACAGGGTGCAGCTTCCCTAACAGGGGTGTGGTACCTGGTGGTTCATCTAC  
CCAACAAACGGGCCAGGGATTAAATGGGAAGAACGGGATCTCGCTGCTGCACAAATGTAATACCATCAA  
CACATGAATTACTTACTTCCTCACTAACGTCTGGTCAGAGCTCGTACATACAAATGATGAAGACCCCACC  
CGAGGTGCGCGATGTAGCCGACATTGTCGAAGACTCCGCGATCTCGCAACAAATTGAGGAAGTACCTGAG  
ACAGATACTGAGACTGATGAAGATGATAACTCGTCTGATGAGGACGACCTCTTGAGTCTGATGCC  
CCTCAGATGATGAGGTTGAGCGCAGACGTGAGCTGTTCTATACACAGCTTACAGCTTCAAGGCATCCCCGA  
AGAGCAGGCCAACCATGCCGTAAACGTGCTTCCAACTGAGCGCGAACAGTATGAAAAGGGGTGTT  
CTTGCGCACTTGCGATGGGTTCAGCCCACGGCAGGCACGCCGACGCTCGTGAGGCGACTGACGAGC  
ATTCAAAAGCCGAGGCCACGCCGAGTAGGATCGAGGG

## 13.2 PRUEBAS DE ESPECIFICIDAD DE ASTROVIRUS EN COMPARACIÓN CON EL GENOMA DE CONEJO (*Oryctolagus cuniculus*), VIRUS RNA CADENA SENCILLA, BACTERIAS Y PROTOZOARIOS EN BLAST.

Input PCR template none  
Specificity of primers No target templates were found in selected database: Nucleotide collection (nt) (Organism limited to *Oryctolagus cuniculus*)  
Other reports ▶ [Search Summary](#)

### [Detailed primer reports](#)

#### Primer pair 1

	Sequence (5'→3')	Length	Tm	GC%	Self complementarity	Self 3' complementarity
Forward primer	GTGGTTGACGTCACATACAATGGCG	25	64.74	52.00	8.00	2.00
Reverse primer	CAGGAGCACTCCATTAGGGTAACC	25	64.85	56.00	6.00	5.00

Input PCR template none  
Specificity of primers No target templates were found in selected database: Nucleotide collection (nt) (Organism limited to *Oryctolagus cuniculus*)  
Other reports ▶ [Search Summary](#)

### [Detailed primer reports](#)

#### Primer pair 1

	Sequence (5'→3')	Length	Tm	GC%	Self complementarity	Self 3' complementarity
Forward primer	CCAAAGGTGGCGATGGCGGCTAGAG	25	69.49	64.00	4.00	2.00
Reverse primer	ACGCCTTCGGTTAGCACTAGAA	25	64.46	48.00	6.00	6.00

Muestra la especificidad de Astrovirus en comparación del genoma de conejo (*Oryctolagus cuniculus*) de la región ORF1aMex1 y ORF1aMex2 (NCBI, 2014).

**Input PCR template** none  
**Specificity of primers** No target templates were found in selected database: Nucleotide collection (nt) (Organism limited to Oryctolagus cuniculus)  
**Other reports** ▶ [Search Summary](#)

⊖ [Detailed primer reports](#)

**Primer pair 1**

	<b>Sequence (5'→3')</b>	<b>Length</b>	<b>Tm</b>	<b>GC%</b>	<b>Self complementarity</b>	<b>Self 3' complementarity</b>
<b>Forward primer</b>	GGAAAATGGCTCGAGCCATTGTA	25	61.60	44.00	14.00	10.00
<b>Reverse primer</b>	TCAAAGCCGCCATAAAGGGTGACC	25	65.75	52.00	5.00	5.00

**Input PCR template** none  
**Specificity of primers** No target templates were found in selected database: Nucleotide collection (nt) (Organism limited to Oryctolagus cuniculus)  
**Other reports** ▶ [Search Summary](#)

⊖ [Detailed primer reports](#)

**Primer pair 1**

	<b>Sequence (5'→3')</b>	<b>Length</b>	<b>Tm</b>	<b>GC%</b>	<b>Self complementarity</b>	<b>Self 3' complementarity</b>
<b>Forward primer</b>	GGAAAATGGCTCGAGCCATTGTA	25	61.60	44.00	14.00	10.00
<b>Reverse primer</b>	TCAAAGCCGCCATAAAGGGTGACC	25	65.75	52.00	5.00	5.00

Muestra la especificidad de Astrovirus en comparación del genoma de conejo (Oryctolagus cuniculus) de la región ORF1bMex1 y ORF1bMex2 (NCBI, 2014).

Input PCR template none  
Specificity of primers No target templates were found in selected database: Nucleotide collection (nt) (Organism limited to Oryctolagus cuniculus)  
Other reports > [Search Summary](#)

 [Detailed primer reports](#)

**Primer pair 1**

	Sequence (5'>3')	Length	Tm	GC%	Self complementarity	Self 3' complementarity
Forward primer	AGATCCTGAAACAGGAGAAGATCGA	25	61.10	44.00	7.00	4.00
Reverse primer	CATAGCTCTGTTTGGTCCTCCCT	25	64.10	52.00	6.00	0.00

Input PCR template none  
Specificity of primers No target templates were found in selected database: Nucleotide collection (nt) (Organism limited to Oryctolagus cuniculus)  
Other reports > [Search Summary](#)

 [Detailed primer reports](#)

**Primer pair 1**

	Sequence (5'>3')	Length	Tm	GC%	Self complementarity	Self 3' complementarity
Forward primer	AGATCCTGAAACAGGAGAAGATCGA	25	61.10	44.00	7.00	4.00
Reverse primer	CATAGCTCTGTTTGGTCCTCCCT	25	64.10	52.00	6.00	0.00

Muestra la especificidad de Astrovirus en comparación del genoma de conejo (Oryctolagus cuniculus) de la región ORF2Mex1 y ORF2Mex2 (NCBI, 2014).

**Input PCR template** none  
**Specificity of primers** No target templates were found in selected database: Nucleotide collection (nt) (Organism limited to Oryctolagus cuniculus)  
Other reports > [Search Summary](#)

 [Detailed primer reports](#)

**Primer pair 1**

	<b>Sequence (5'→3')</b>	<b>Length</b>	<b>Tm</b>	<b>GC%</b>	<b>Self complementarity</b>	<b>Self 3' complementarity</b>
<b>Forward primer</b>	CCTTGGACCACAAATTGAAATCCAT	25	61.81	44.00	6.00	4.00
<b>Reverse primer</b>	TCACCAATGCAGACAGTCAACAAGT	25	63.12	44.00	5.00	2.00

Muestra la especificidad de Astrovirus en comparación del genoma de conejo (Oryctolagus cuniculus) de la región ORF2Mex3 y ORF1aMex1 (NCBI, 2014).

**Input PCR template** none  
**Specificity of primers** Target templates were found in selected database: Nucleotide collection (nt) (Organism limited to ssRNA viruses)  
Other reports > [Search Summary](#)

 [Detailed primer reports](#)

**Primer pair 1**

	<b>Sequence (5'→3')</b>	<b>Length</b>	<b>Tm</b>	<b>GC%</b>	<b>Self complementarity</b>	<b>Self 3' complementarity</b>
<b>Forward primer</b>	CCAAAGGTGGCGATGGCGGCTAGAG	25	69.49	64.00	4.00	2.00
<b>Reverse primer</b>	ACGCCCTCGGTTGTAGCAACTAGAA	25	64.46	48.00	6.00	6.00

**Products on target templates**

>JF729316\_1 Rabbit astrovirus TN/2208/2010, complete genome

product length = 1799  
Forward primer 1 CCAAAGGTGGCGATGGCGGCTAGAG 25  
Template 1 ..... 25  
  
Reverse primer 1 ACGCCCTCGGTTGTAGCAACTAGAA 25  
Template 1799 ..... 1775

Input PCR template none  
Specificity of primers Target templates were found in selected database: Nucleotide collection (nt) (Organism limited to ssRNA viruses)  
Other reports > [Search Summary](#)

[Detailed primer reports](#)

**Primer pair 1**

	Sequence (5'→3')	Length	Tm	GC%	Self complementarity	Self 3' complementarity
Forward primer	GGAAAATGGTCTCGAGCCATTGTA	25	61.60	44.00	14.00	10.00
Reverse primer	TCAAAGCCGCCATAAAAGGGTGACC	25	65.75	52.00	5.00	5.00

**Products on target templates**

>[JF729316.1](#) Rabbit astrovirus TN/2208/2010, complete genome

product length = 800  
Forward primer 1 GGAAAATGGTCTCGAGCCATTGTA 25  
Template 3096 ..... 3120  
  
Reverse primer 1 TCAAAGCCGCCATAAAAGGGTGACC 25  
Template 3895 ..... 3871

Muestra la especificidad de Astrovirus en comparación del genoma de virus tipo RNA cadena sencilla de la región ORF1aMex2 (NCBI, 2014).

**Input PCR template** none  
**Specificity of primers** Target templates were found in selected database: Nucleotide collection (nt) (Organism limited to ssRNA viruses)  
[Search Summary](#)

**Detailed primer reports**

<b>Primer pair 1</b>		<b>Sequence (5'&gt;3')</b>	<b>Length</b>	<b>Tm</b>	<b>GC%</b>	<b>Self complementarity</b>	<b>Self 3' complementarity</b>
<b>Forward primer</b>		GGATGTAAGTAGCCTCCATGGGAAG	25	62.49	52.00	6.00	4.00
<b>Reverse primer</b>		AGAAGAGGCCGGAGCCTCCTGCTT	25	69.60	60.00	9.00	7.00

**Products on target templates**

>[JF729316.1](#) Rabbit astrovirus TN/2208/2010, complete genome

```
product length = 1001
Forward primer 1 GGATGTAAGTAGCCTCCATGGGAAG 25
Template 4496 ..... 4520

Reverse primer 1 AGAAGAGGCCGGAGCCTCCTGCTT 25
Template 5496 ..... 5472
```

>[JN052023.1](#) Astrovirus rabbit/Nausica/2008/ITA RNA-dependent polymerase (ORF1b) gene, partial cds; and capsid protein (ORF2) gene, complete cds

```
product length = 1001
Forward primer 1 GGATGTAAGTAGCCTCCATGGGAAG 25
Template 555 ..... 579

Reverse primer 1 AGAAGAGGCCGGAGCCTCCTGCTT 25
Template 1555 T..G..A..... 1531
```

**Input PCR template** none  
**Specificity of primers** Target templates were found in selected database: Nucleotide collection (nt) (Organism limited to ssRNA viruses)  
[Search Summary](#)

**Detailed primer reports**

<b>Primer pair 1</b>		<b>Sequence (5'&gt;3')</b>	<b>Length</b>	<b>Tm</b>	<b>GC%</b>	<b>Self complementarity</b>	<b>Self 3' complementarity</b>
<b>Forward primer</b>		GGATGTAAGTAGCCTCCATGGGAAG	25	62.49	52.00	6.00	4.00
<b>Reverse primer</b>		AGAAGAGGCCGGAGCCTCCTGCTT	25	69.60	60.00	9.00	7.00

Muestra la especificidad de Astrovirus en comparación del genoma de virus tipo RNA cadena sencilla de la región ORF1bMex1 y ORF1bMex2 (NCBI, 2014).

**Input PCR template** none  
**Specificity of primers** Target templates were found in selected database: Nucleotide collection (nt) (Organism limited to ssRNA viruses)  
[► Search Summary](#)

**Detailed primer reports**

<b>Primer pair 1</b>		<b>Sequence (5'→3')</b>	<b>Length</b>	<b>Tm</b>	<b>GC%</b>	<b>Self complementarity</b>	<b>Self 3' complementarity</b>
<b>Forward primer</b>		CCTTGGACCAACAATTGAAATCCAT	25	61.81	44.00	6.00	4.00
<b>Reverse primer</b>		TCACCAATGCAGACAGTCACAAAGT	25	63.12	44.00	5.00	2.00

**Products on target templates**

>[JF729316.1](#) Rabbit astrovirus TN/2208/2010, complete genome

```

product length = 1170
Forward primer 1 CTTGGACCCACAATTGAAATCCAT 25
Template 5322 ..... 5346

Reverse primer 1 TCACCAATGCAGACAGTCACAAAGT 25
Template 6491 ..... 6467

```

>[JN052023.1](#) Astrovirus rabbit/Nausica/2008/ITA RNA-dependent polymerase (ORF1b) gene, partial cds; and capsid protein (ORF2) gene, complete cds

```

product length = 1170
Forward primer 1 CTTGGACCCACAATTGAAATCCAT 25
Template 1381 .....G..... 1405

Reverse primer 1 TCACCAATGCAGACAGTCACAAAGT 25
Template 2550 .....G.....A. 2526

```

ndo a [www.ncbi.nlm.nih.gov...](http://www.ncbi.nlm.nih.gov...)

**Input PCR template** none  
**Specificity of primers** No target templates were found in selected database: Nucleotide collection (nt) (Organism limited to *Bacteriastrum jadranum*)  
**Other reports** [► Search Summary](#)

**Detailed primer reports**

<b>Primer pair 1</b>		<b>Sequence (5'→3')</b>	<b>Length</b>	<b>Tm</b>	<b>GC%</b>	<b>Self complementarity</b>	<b>Self 3' complementarity</b>
<b>Forward primer</b>		CCAAAGGTGGCGATGGCGGTAGAG	25	69.49	64.00	4.00	2.00
<b>Reverse primer</b>		ACGCCTTCGGTTGTAGCACTAGAA	25	64.46	48.00	6.00	6.00

Muestra la especificidad de Astrovirus en comparación del genoma de virus tipo RNA cadena sencilla de la región ORF2Mex3 y bacterias de la región ORF1aMex (NCBI, 2014)

**Input PCR template** none  
**Specificity of primers** No target templates were found in selected database: Nucleotide collection (nt) (Organism limited to *Bacteriastrum jadranum*)  
**Other reports** ► [Search Summary](#)

 [Detailed primer reports](#)

**Primer pair 1**

	Sequence (5'>3')	Length	Tm	GC%	Self complementarity	Self 3' complementarity
Forward primer	GTGGTTGACGTACATACAATGGCG	25	64.74	52.00	8.00	2.00
Reverse primer	CAGGAGCACTCATTAGGGTAACC	25	64.85	56.00	6.00	5.00

**Input PCR template** none  
**Specificity of primers** No target templates were found in selected database: Nucleotide collection (nt) (Organism limited to *Bacteriastrum jadranum*)  
**Other reports** ► [Search Summary](#)

 [Detailed primer reports](#)

**Primer pair 1**

	Sequence (5'>3')	Length	Tm	GC%	Self complementarity	Self 3' complementarity
Forward primer	GGGTAGGGTCCAAGAAAAGCAGG	25	67.53	60.00	3.00	0.00
Reverse primer	ACCAGATGGTTGGTCCCCTCTGG	25	66.30	56.00	6.00	4.00

Muestra la especificidad de Astrovirus en comparación del genoma de bacterias de la región ORF1aMex2 y ORF1bMex1 (NCBI, 2014).

**Input PCR template** none

**Specificity of primers** No target templates were found in selected database: Nucleotide collection (nt) (Organism limited to *Bacteriastrum jadranum*)

**Other reports** > [Search Summary](#)

 [Detailed primer reports](#)

**Primer pair 1**

	Sequence (5'>3')	Length	Tm	GC%	Self complementarity	Self 3' complementarity
Forward primer	GGAAAATGGTCTCGAGCCATTGTAA	25	61.60	44.00	14.00	10.00
Reverse primer	TCAAAGCCGCCATAAAAGGGTGACC	25	65.75	52.00	5.00	

**Input PCR template** none

**Specificity of primers** No target templates were found in selected database: Nucleotide collection (nt) (Organism limited to *Bacteriastrum jadranum*)

**Other reports** > [Search Summary](#)

 [Detailed primer reports](#)

**Primer pair 1**

	Sequence (5'>3')	Length	Tm	GC%	Self complementarity	Self 3' complementarity
Forward primer	AGATCCTGAAACAGGAGAAGATCGA	25	61.10	44.00	7.00	4.00
Reverse primer	CATAGCTCTGTTGGTCTCCCT	25	64.10	52.00	6.00	0.00

Muestra la especificidad de Astrovirus en comparación del genoma de bacterias de la región ORF1bMex2 y ORF2Mex1 (NCBI, 2014).

Input PCR template none  
Specificity of primers No target templates were found in selected database: Nucleotide collection (nt) (Organism limited to *Bacteriastrum jadranum*)  
Other reports > [Search Summary](#)

 [Detailed primer reports](#)

**Primer pair 1**

	Sequence (5'->3')	Length	Tm	GC%	Self complementarity	Self 3' complementarity
Forward primer	GGATGTAAGTAGCCTCCATGGGAAG	25	62.49	52.00	6.00	4.00
Reverse primer	AGAAGAGGCCGGAGCTCTGCTT	25	69.60	60.00	9.00	7.00

Input PCR template none  
Specificity of primers No target templates were found in selected database: Nucleotide collection (nt) (Organism limited to *Bacteriastrum jadranum*)  
Other reports > [Search Summary](#)

 [Detailed primer reports](#)

**Primer pair 1**

	Sequence (5'->3')	Length	Tm	GC%	Self complementarity	Self 3' complementarity
Forward primer	CCTTGGACCCACAATTGAAATCCAT	25	61.81	44.00	6.00	4.00
Reverse primer	TCACCAATGCAGACAGTCACAAAGT	25	63.12	44.00	5.00	2.00

Muestra la especificidad de Astrovirus en comparación del genoma de bacterias de la región ORF2Mex2 y ORF2Mex3 (NCBI, 2014).

**Input PCR template** none  
**Specificity of primers** No target templates were found in selected database: Nucleotide collection (nt) (Organism limited to uncultured probi)  
**Other reports** > [Search Summary](#)

[Detailed primer reports](#)

**Primer pair 1**

	Sequence (5'>3')	Length	Tm	GC%	Self complementarity	Self 3' complementarity
Forward primer	CCAAAGGTGGCGATGGCGGCTAGAG	25	69.49	64.00	4.00	2.00
Reverse primer	ACGCCTTCGGTTGTAGCAACTAGAA	25	64.46	48.00	6.00	6.00

**Input PCR template** none  
**Specificity of primers** No target templates were found in selected database: Nucleotide collection (nt) (Organism limited to uncultured probi)  
**Other reports** > [Search Summary](#)

[Detailed primer reports](#)

**Primer pair 1**

	Sequence (5'>3')	Length	Tm	GC%	Self complementarity	Self 3' complementarity
Forward primer	GTTGTTGACGTACATACAATGGCG	25	64.74	52.00	8.00	2.00
Reverse primer	CAGGAGCACTCCATTAGGGTAACC	25	64.85	56.00	6.00	5.00

Muestra la especificidad de Astrovirus en comparación del genoma de protozoarios de la región ORF1aMex1 y ORF1aMex2 (NCBI, 2014).

**Input PCR template** none  
**Specificity of primers** No target templates were found in selected database: Nucleotide collection (nt) (Organism limited to uncultured protist)  
**Other reports** > [Search Summary](#)

 [Detailed primer reports](#)

**Primer pair 1**

	Sequence (5'>3')	Length	Tm	GC%	Self complementarity	Self 3' complementarity
<b>Forward primer</b>	GGGTAGGGGTGCGCAAGAAAAGCAGG	25	67.53	60.00	3.00	0.00
<b>Reverse primer</b>	ACCAGATGGTTGGTCCCCTCTGG	25	66.30	56.00	6.00	4.00

**Input PCR template** none  
**Specificity of primers** No target templates were found in selected database: Nucleotide collection (nt) (Organism limited to uncultured protist)  
**Other reports** > [Search Summary](#)

 [Detailed primer reports](#)

**Primer pair 1**

	Sequence (5'>3')	Length	Tm	GC%	Self complementarity	Self 3' complementarity
<b>Forward primer</b>	GGAAAATGGTCTCGAGCCATTGTA	25	61.60	44.00	14.00	10.00
<b>Reverse primer</b>	TCAAAGCCGCCATAAAAGGGTGAC	25	65.75	52.00	5.00	5.00

Muestra la especificidad de Astrovirus en comparación del genoma de protozoarios de la región ORF1bMex1 y ORF1bMex2 (NCBI, 2014).

**Input PCR template** none  
**Specificity of primers** No target templates were found in selected database: Nucleotide collection (nt) (Organism limited to uncultured protist)  
**Other reports** ▶ [Search Summary](#)

[Detailed primer reports](#)

**Primer pair 1**

	Sequence (5'>3')	Length	Tm	GC%	Self complementarity	Self 3' complementarity
<b>Forward primer</b>	AGATCCTGAAACAGGGAGAAGATCGA	25	61.10	44.00	7.00	4.00
<b>Reverse primer</b>	CATAGCTCTGTTTGGTCTCCCT	25	64.10	52.00	6.00	0.00

**Input PCR template** none  
**Specificity of primers** No target templates were found in selected database: Nucleotide collection (nt) (Organism limited to uncultured protist)  
**Other reports** ▶ [Search Summary](#)

[Detailed primer reports](#)

**Primer pair 1**

	Sequence (5'>3')	Length	Tm	GC%	Self complementarity	Self 3' complementarity
<b>Forward primer</b>	GGATGTAAGTAGCCTCCATGGGAAG	25	62.49	52.00	6.00	4.00
<b>Reverse primer</b>	AGAAGAGGCCGGAGCCTCTGCTT	25	69.60	60.00	9.00	7.00

Muestra la especificidad de Astrovirus en comparación del genoma de protozoarios de la región ORF2Mex1 y ORF2Mex2 (NCBI, 2014).

**Input PCR template** none  
**Specificity of primers** No target templates were found in selected database: Nucleotide collection (nt) (Organism limited to uncultured protist)  
**Other reports** ► [Search Summary](#)

 [Detailed primer reports](#)

**Primer pair 1**

	Sequence (5'>3')	Length	Tm	GC%	Self complementarity	Self 3' complementarity
<b>Forward primer</b>	CCTTGGACCCACAATTGAAATCCAT	25	61.81	44.00	6.00	4.00
<b>Reverse primer</b>	TCACCAATGCAGACAGTCAACAAAGT	25	63.12	44.00	5.00	2.00

Muestra la especificidad de Astrovirus en comparación del genoma de protozoarios de la región ORF2Mex3 (NCBI, 2014).